



CONCEPTION ET DIMENSIONNEMENT D'UN SYSTEME D'APPROVISIONNEMENT EN EAU POTABLE DANS LE CENTRE DE KOUBRI, CHEF-LIEU DE LA COMMUNE DE KOUBRI, REGION DU CENTRE AU BURKINA FASO.

MEMOIRE POUR L'OBTENTION DU DIPLÔME D'INGENIEUR 2IE AVEC GRADE DE **MASTER**

SPECIALITE GENIE DE L'EAU DE L'ASSAINISSEMENT ET DES AMENAGEMENTS HYDRO-AGRICOLES (GEAAH)

Présenté et soutenu publiquement le 22 Juillet 2025 par

Myriam Faustine Wendbénédo GUIRE (20190418)

Directeur de mémoire: Dr Anderson HARINAIVO, Maître de Conférences (CAMES), 2iE

Encadrant: M. Olivier COULIBALY, Enseignant, 2iE

Maître de stage : M. Kouassi Charles KOUADIO, Ingénieur du Génie Rural, IGIP Afrique

Structure d'accueil de la stagiaire : Bureau d'études IGIP Afrique

Jury d'évaluation du mémoire :

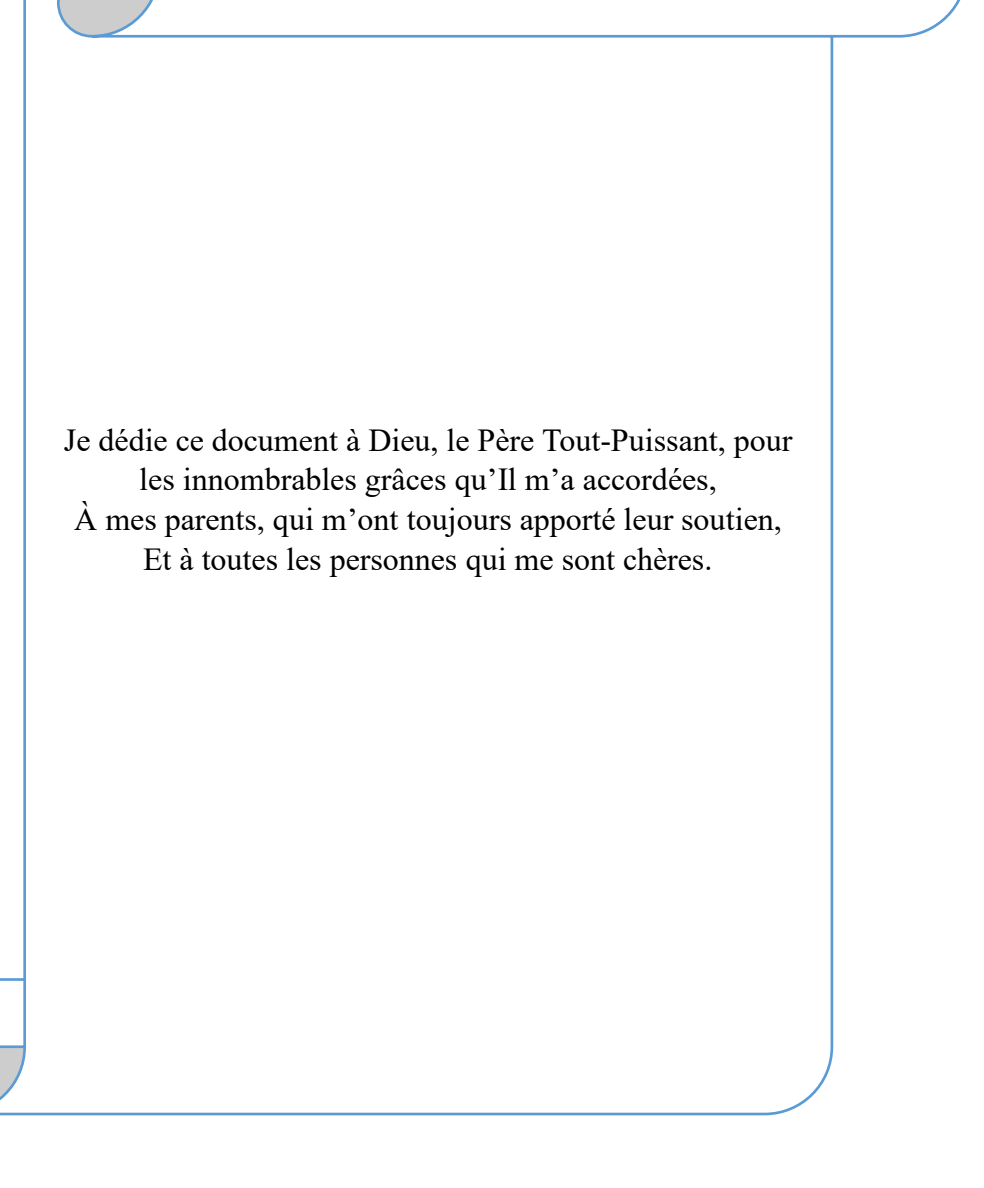
Président : Dr. Angelbert Chabi BIAOU

Membres et correcteurs : M. Souleymane **OUEDRAOGO**

M. Denis ZOUNGRANA

Promotion [2024/2025]

DEDICACES



REMERCIEMENTS

La rédaction de ce mémoire de fin d'études a été possible grâces à l'appui de plusieurs personnes qui mon accorder de leur temps et de leur disponibilité afin de produire un document acceptable. Je leur réitère ma plus profonde reconnaissance et je tiens particulièrement à témoigner toutes mes sincères remerciements à l'endroit :

- L'Institut International d'Ingénierie de l'Eau et de l'Environnement pour l'accompagnement et la qualité de l'enseignement que j'ai reçu ;
- Dr Harinaivo Anderson ANDRIANISA, Maitre de Conférences (CAMES), Enseignantchercheur en Eau et Assainissement Urbain, en tant que mon directeur de mémoire, pour avoir assuré la supervision de ce stage;
- M. Olivier COULIBALY, notre encadreur, pour l'encadrement reçu, les différentes directives communiquées et la disponibilité dont il a fait preuve malgré ses multiples occupations;
- Le Bureau d'étude IGIP AFRIQUE représenté par son gérant M. Mathieu TANKOANO,
 pour nous avoir intégrés dans sa structure en qualité de stagiaire
- M. Kouadio Charles KOUASSI, Ingénieur du Génie Rural à IGIP Afrique, notre maître de stage, pour la qualité de son enseignement, ses suivies, directives et conseils ;
- L'ensemble du personnel de IGIP AFRIQUE, pour l'accueil fort chaleureux, l'inclusion dans l'équipe, les différents conseils et la bonne atmosphère qui a toujours prévalu durant le stage;
- Mes camarades de classe de Master 2 en Génie de L'eau, de l'assainissement et des aménagements hydro agricoles pour la bonne ambiance et les bons moments passés ensemble;
- Pour terminer toutes les personnes qui, d'une manière ou d'une autre, ont contribué et apporté leur soutien pour le bon déroulement de ce travail.

RESUME

L'accès à l'eau potable demeure un défi majeur au Burkina Faso en raison de contraintes climatiques, de la croissance démographique et des infrastructures insuffisantes. Dans ce contexte, le pays a lancé le Programme National d'Approvisionnement en Eau Potable (PN-AEP) pour améliorer l'accès à l'eau sur tout le territoire. Le projet d'Adduction d'Eau Potable (AEP) pour la commune de Koubri vise à répondre à cette problématique. D'ici 2055, la population de Koubri, estimée à 26 336 habitants, aura une demande en eau potable de 696,5 m³ par jour. Le projet prévoit deux forages à haut débit de 10 m³/h chacun. Les conduites de refoulements sont en PEHD. La conduite de refoulement du premier forage a une longueur de 246,55 m avec un diamètre de 73,6 mm et une longueur de 3356,61 m un diamètre de 73,6 mm pour le deuxième forage. La conduite au point de raccordement jusqu'au château d'eau a une longueur de 317,85 m et conduira un débit de 19,70 m³/h avec un diamètre intérieur de 130, 8mm.Le réseau de distribution étant particulièrement maillé à une longueur totale de 27 241 m avec 95 tronçons et 20 mailles. Le plus petit diamètre est de 63 mm tandis que le plus gros diamètre est de 250 mm en PVC PN10. La plus petite pression est de 10 m et la plus grande est de 28,65 m sur Excel et est entre 12,81 m et 28,33 m sur Epanet. Un réservoir surélevé en béton armé de 200 m³ avec une hauteur sous radier de 12 m. Des modules solaires au nombres 50 ont été mis en disposition pour le pompage solaire. Le coût total des infrastructures s'élève à 732 515 120 FCFA TTC, avec un coût de revient estimé à 298 FCFA/m³. L'eau sera vendue à 400 FCFA/m³ pour couvrir les frais de renouvellement et d'extension du réseau. Le mode de gestion considéré sera l'affermage.

Mots Clés

- 1 **AEP**
- 2 Affermage
- 3 -Extension
- 4 Forage
- 5 Koubri

ABSTRACT

Access to drinking water remains a major challenge in Burkina Faso due to climatic constraints, population growth and insufficient infrastructure. In this context, the country has launched the National Drinking Water Supply Program (PN-AEP) to improve access to water throughout the country. The Drinking Water Supply Project (DWS) for the municipality of Koubri aims to address this issue. By 2055, the population of Koubri, estimated at 26,336 inhabitants, will have a drinking water demand of 696.5 m³ per day. The project includes two high-throughput boreholes of 10 m³/h each. The discharge pipe of the first borehole is 246.55 m long with a diameter of 73.6 mm and a length of 3356.61 m with a diameter of 73.6 mm for the second borehole. The rising mains are made of high-density polyethylene (HDPE). The pipe at the connection point to the water tower is 317.85 m long and will carry a flow of 19.70 m³/h with an internal diameter of 130.8 mm. The distribution network is particularly meshed at a total length of 27,241 m with 95 sections and 20 meshes. The smallest diameter is 63mm while the largest diameter is 250mm made of PVC PN10. The lowest pressure is 10 m and the largest is 28.65 m on Excel and is between 12.81 m and 28.33 m on Epanet. A 200 m³ reinforced concrete raised tank with a 12 m slab height. 50 solar modules have been made available for solar pumping. The total cost of the infrastructure amounts to 732,515,120 CFA francs including tax, with an estimated cost of 298 CFA francs/m³. The water will be sold at 400 CFA francs/m³ to cover the costs of renewing and extending the network. The management method considered will be leasing.

Keywords

- 1- Drinking Water Supply
- 2- Drilling
- 3 Extension
- 4 Koubri
- 5 Lease

LISTE DES ABREVIATIONS

2iE : Institut International d'Ingénierie de l'Eau et de l'Environnement

AEP : Adduction en Eau Potable

AEPS : Adduction en Eau Potable Simplifiée

AEPA : Alimentation en Eau Potable et Assainissement

BD : Base de Données

BF : Borne Fontaine

BP : Branchement Privé

CS : Consommation Spécifique

CVD : Conseils Villageois de Développement

DN : Diamètre Nominal

DGRE : Direction Générale des Ressources en Eau

DREA-C : Direction Régionale de l'Eau et de l'Assainissement du Centre

EIE : Etude d'Impact sur l'Environnement

EIES : Etude d'Impact Environnementale et Sociale

GPS : Global Positioning System

GIZ : Deutsche Gesellschaft für Internationale Zusammenarbeit

HMT : Hauteur Manométrique Totale

INO : Inventaire National des Ouvrages Hydrauliques

ODD : Objectifs du Développement Durable

MEA : Ministère de l'Eau et de l'Assainissement

MEEA : Ministère de l'Environnement de l'Eau et de l'Assainissement

ONEA : Office National de l'Eau et de l'Assainissement

ONU : Organisation des Nations unies

PCD : Plan Communal de Développement

PEHD : Polyéthylène haute densité

PFA : Pression de Fonctionnement Admissible

PMA : Pression Maximale Admissible

PMH : Pompe à Motricité Humaine

PN: Pression Nominale

PN-AEP: Programme National d'Approvisionnement en Eau Potable

PEHD : Polyéthylène Haute Densité

PVC : Polychlorure de Vinyle

UNICEF: United Nations International Children's Emergency Fund

RGPH : Recensement Général de la Population et de l'Habitat

SONABEL : Société Nationale d'Electricité du Burkina

TN : Terrain Naturel

SOMMAIRE

Table des matières

| DE | EDICACES | i |
|------------|--|---|
| RE | EMERCIEMENTSi | i |
| RE | ESUMEü | i |
| ΑĿ | SSTRACTi | V |
| LI | STE DES ABREVIATIONS | v |
| SO | OMMAIREvi | i |
| LI | STE DES TABLEAUX | r |
| LI | STE DES FIGURESx | i |
| FΙ | CHE SIGNALETIQUE DU PROJETxi | i |
| <i>I</i> . | INTRODUCTION | l |
| | II.2. Présentation de la zone d'étude | 1 |
| | II.2.1. Situation géographique | 1 |
| | II.2.2. Les caractéristiques physiques du milieu | 5 |
| | II.2.3 Caractéristiques du milieu humain | 7 |
| | II.2.4 Caractéristiques socio-économique du site | 7 |
| II. | PRESENTATION DU PROJET | 3 |
| | III.1. CONTEXTE ET JUSTIFICATION | 3 |
| | III.2. OBJECTIFS (global, spécifiques) de l'étude et résultat attendus |) |
| | III.2. DIAGNOSTIC/ETAT DES LIEUX |) |
| | III.3. DONNEES DE BASE | l |
| | III.3.1 Données démographiques | L |
| | III.3.2 Données topographiques | 2 |
| | III.3.3 Données géophysique | 2 |
| | III.3.4 Hypothèse de calcul | 3 |

| III. METHODOLOGIE | 18 |
|---|------|
| IV.1. SYNTHESE BIBLIOGRAPHIQUE ET COLLECTE DES DONNEES | . 18 |
| IV.2. TRAITEMENT DES DONNEES SUIVI DE LA CONCEPTION ET I | DU |
| DIMENSIONNEMENT DU RESEAU D'AEP | . 19 |
| IV.2.1 CONCEPTION DU RESEAU D'AEP | . 19 |
| IV.2.2 DIMMENSIONNEMENT DU RESEAU D'AEP | . 21 |
| IV.2.2.1 Evaluation de la population à l'horizon 2055 | . 21 |
| IV.2.2.2 Evaluation des besoins en eau | . 22 |
| IV.2.2.3 Détermination de la capacité du réservoir | . 24 |
| IV.2.2.4 Calcul des débits caractéristiques | . 26 |
| IV.2.2.5 Calcul des diamètres de conduite | . 27 |
| IV.2.2.8 Système de pompage | . 33 |
| IV.2.2.9 Source d'énergie pour le pompage | . 33 |
| IV.2.2.10 Prix de revient de l'eau | . 35 |
| V. RESULTAT DE L'ETUDE TECHNIQUE | 36 |
| V.1 BESOINS, DEMANDE EN EAU, DEBITS DE DIMENSIONNEMENT | |
| EMPLACEMENT DES FORAGES | .36 |
| V.1.1 Taux d'accroissement et Evaluation de la population à l'horizon du projet | .36 |
| V.1.2 Besoins en eau | . 37 |
| V.1.3 Ressource en eau | . 37 |
| V.2 DETERMINATION DE LA CAPACITE DU RESERVOIR | . 39 |
| V.2.1 Capacité utile du réservoir | . 39 |
| V.2.2Traitement De L'eau | . 40 |
| V.3 DIMENSIONNEMENT DU RESEAU AEP | .41 |
| V.3.1 Tracé du réseau | .41 |
| V.3.2 Dimensionnement du réseau de distribution | . 43 |
| V.3.3 Dimensionnement du réseau d'adduction | . 46 |

| V.3.4 Choix de la pompe immergée et point de fonctionnement | 47 |
|--|----|
| V.3.5 Simulation du réseau de refoulement sur Epanet | 49 |
| V.4 ETUDE DES COUPS DE BELIER ET MODE DE POSE DES CONDUITES | 51 |
| V.5 SIMULATION DU RESEAU SUR EPANET ET COMPARAISON DES RESUI | |
| | |
| V.5.1 Simulation du réseau sur EPANET | 52 |
| V.5.2 Comparaison Des Résultats | 54 |
| V.6 RESULTAT DU DIMENSIONNEMENT DE LA SOURCE D'ENERGIE | 56 |
| V.7 EQUIPEMENT ANNEXES | 58 |
| VI.ETUDE FINANCIERE | 59 |
| VI.1 Etude du coût du projet | 59 |
| VI.2 Estimation du prix de vente de l'eau | 61 |
| VI.3 Analyse de la rentabilité du projet | 63 |
| VI.4 Mode de gestion | 64 |
| VII.NOTICE D'IMPACT ENVIRONNEMENTAL ET SOCIAL | 65 |
| VII.1 Introduction et caractérisation du projet | 65 |
| VII.2 Rappel du cadre législatif régissant le projet (notice d'impact) | 66 |
| VII.3 Rappel des composantes et phases du projet | 66 |
| VII.4 Identification et évaluation des impacts | 66 |
| VII.5 Plan de gestion environnemental et social | 67 |
| VII.6 Conclusion partiel | 69 |
| VIII.CONCLUSION ET RECOMMENDATIONS | 70 |
| BIBLIOGRAPHIE | 71 |
| ANNEYES | 1 |

LISTE DES TABLEAUX

| Tableau 1: Localisation des points de sondage géophysique | 12 |
|---|----|
| Tableau 2: Taux de desserte projeté | 15 |
| Tableau 3 : Logiciels utilisés | 18 |
| Tableau 4 : Valeur forfaitaires des capacités des réservoir | 24 |
| Tableau 5 : Taux d'accroissement calculé de la population | 36 |
| Tableau 6 : Evaluation de la population à l'horizon du projet | 37 |
| Tableau 7 : Besoins en eau de la population | 37 |
| Tableau 8 : Evaluation de la ressource en eau | 38 |
| Tableau 9 : Localisation et caractéristiques des forages | 39 |
| Tableau 10 : Caractéristique du réservoir d'eau | 39 |
| Tableau 11 : Temps de contact et temps de séjour | 40 |
| Tableau 12 : Débit d'injection et volume du bac | 40 |
| Tableau 13 :Tableau récapitulatif des diamètres, vitesses et pressions obtenus | 43 |
| Tableau 14 : Localisation des bornes fontaines | 46 |
| Tableau 15 : Diamètre économique | 47 |
| Tableau 16 : Calcul de la Hauteur Manométrique Total | 47 |
| Tableau 17 : Caractéristique des pompes | 47 |
| Tableau 18 : Données de détermination du point de fonctionnement | 48 |
| Tableau 19 : Vérification du coup de bélier | 51 |
| Tableau 20: Mode de pose des conduites et Volumes des déblais | 51 |
| Tableau 21 : Caractéristiques et choix du groupe électrogène pour forage 1 | 56 |
| Tableau 22 : Caractéristiques et choix du groupe électrogène pour forage 2 | 56 |
| Tableau 23 : Caractéristiques du générateur solaire pour le forage 1 et de l'onduleur | 57 |
| Tableau 24: Caractéristiques du générateur solaire pour le forage 2 et de l'onduleur | 57 |
| Tableau 25 : Equipements annexes | 58 |
| Tableau 26 : Synthèse des investissements du projet | 59 |
| Tableau 27 : Amortissement et charge d'exploitation et Charges fixes | 61 |
| Tableau 28 : Volume d'eau vendue à l'échéance du projet | 62 |
| Tableau 29 : Prix de revient de l'eau | 62 |
| Tableau 30 : Identification et évaluation des impacts | 67 |

LISTE DES FIGURES

| Figure 1: Organigramme de IGIP Afrique | 3 |
|---|----|
| Figure 2 : Carte de situation géographique de la zone d'étude | 4 |
| Figure 3 : Carte hydrographique de la commune de Koubri | 6 |
| Figure 4 : Tracé du réseau | 42 |
| Figure 5 : Point de fonctionnement du système de pompage | 49 |
| Figure 6: Simulation du réseau de refoulement dans le logiciel Epanet | 50 |
| Figure 7: Rapports de simulation des pressions et vitesses du réseau sur Epanet | 53 |
| Figure 8 : Comparaison des pressions obtenu aux différent nœuds calculées et simulées | 54 |
| Figure 9 : Corrélation entre les pressions calculées et simulée | 54 |
| Figure 10 : Comparaison des vitesses calculées et simulées sur Epanet | 55 |
| Figure 11: Corrélation entre les vitesses calculées et simulée | 55 |

FICHE SIGNALETIQUE DU PROJET

| 1. Localisation | | | | | |
|---|---|--|--|--|--|
| Site | Koubri Centre | | | | |
| Nombre de secteurs | 5 | | | | |
| Commune | Koubri | | | | |
| Province | Kadiogo | | | | |
| Région | Centre | | | | |
| Horizon du projet | 2055 | | | | |
| 2. Données | socio-économiques | | | | |
| Population en 2019 | 10 713 habitants | | | | |
| Taux d'accroissement (%) | 2,53 | | | | |
| Consommations spécifique | 201/j/habitants pour BP151/j/habitants pour BF | | | | |
| Population en 2055 | 26 336 habitants | | | | |
| Taux de desserte à l'horizon 2055 | 90% dont :70% pour les BP 20% pour les BF | | | | |
| Population desservie | 18 435 habitants pour BP5267 habitants pour BF | | | | |
| Demande en eau du jour de pointe (m³/j) | 629,28 | | | | |
| Débit de pointe horaire (l/s) | 28,24 | | | | |
| 3. Cł | ıâteau d'eau | | | | |
| Туре | Béton armé de forme Cylindro-Tronconique | | | | |
| Volume (m ³) | 200 | | | | |
| Hauteur sous radier (m) | 12 | | | | |
| 4. Réseau | u de refoulement | | | | |
| | Tuyaux PEHD PN16 de longueur totale de 3921,01 m | | | | |
| Nature des conduites | DN 160 : 317,85 m | | | | |
| | DN 90 : 3603,16 m | | | | |
| 5. Résear | u de distribution | | | | |

| Type de réseau | Maillée (20 Mailles) | | |
|--|--|--|--|
| | Tuyaux PVC PN10 de longueur totale de 27241 m | | |
| | DN 250 : 959,6 m | | |
| Notice describites (05 tours) | DN 200 : 386,5 m | | |
| Nature des conduites (95 tronçons) | DN 140 : 3 462,5 m | | |
| | DN 110 : 5 380,1 m | | |
| | DN 90 : 1 977,6 m | | |
| | DN 63 : 15 074,6 m | | |
| | 6. Forage | | |
| Nombre de forages à l'horizon 2055 | 4 | | |
| Débit d'exploitation | 10 m ^{3/} h | | |
| Niveau statique | - | | |
| Niveau dynamique | 50 m | | |
| - | 7. Pompe | | |
| Débit | 10 m ³ /h | | |
| Hauteur manométrique totale (HMT) | 79,80 m pour F1111,09 m pour F2 | | |
| Marque /Type | GRUNDFOS / SPE 18-12 pour F1 GRUNDFOS / SPE 18-17 pour F2 | | |
| Puissance nominale | 3,59 kW/4,92 kW | | |
| 8. Bornes fontain | es et branchements particuliers | | |
| Nombre de BF | 11 BF de 03 robinets chacun | | |
| Nombre de BP démarrage / horizon | 351/ 1844 | | |
| 9. S | ource d'énergie | | |
| Туре | Solaire, SONABEL et Groupe électrogène | | |
| Puissance du champ solaire / type module | 5,12 kWc / modules monocristallins de 250 Wc 7,02 kWc / modules monocristallins de 250 Wc | | |
| Nombre de modules | 22 modules pour F128 modules pour F2 | | |

| Puissance du groupe / type | 22 KVA / 25 KVA | | |
|-----------------------------|----------------------------|--|--|
| 10. Aspects | financiers et gestion | | |
| Cout du projet | En H TVA : 620 775 525FCFA | | |
| Cout du projet | En TTC: 732 515 120FCFA | | |
| Prix de revient du m3 d'eau | 400 | | |
| Mode de gestion proposé | Affermage | | |

I. INTRODUCTION

L'accès à l'eau potable fait partie des axes stratégiques majeurs pour la réduction de la pauvreté. Ressource rare et limitée, l'eau est fragile, non substituable et indispensable à la vie. Antoine de Saint-Exupéry (1939) disait à ce propos que "l'eau n'est pas nécessaire à la vie, elle est la vie". Cependant les populations du Burkina Faso, comme celles d'autres pays d'Afrique subsaharienne, ont un accès limité à l'eau potable, ce qui pousse certains habitants à s'approvisionner dans des sources non potables. C'est pourquoi l'accès à l'eau potable des populations constitue un enjeu politique, économique et social majeur et est devenu une priorité pour l'Etat Burkinabè. Depuis les indépendances, le Burkina Faso a connu plusieurs orientations stratégiques et politiques dans le développement du secteur de l'approvisionnement en eau potable et de l'assainissement, notamment en milieu rural. Pour l'horizon 2030, l'Etat burkinabè s'est doté d'un nouveau cadre programmatique : le Programme National d'Approvisionnement en Eau Potable (PN-AEP). Le PN-AEP constitue l'instrument par lequel notre pays dans sa composante Eau et Assainissement, vise à atteindre les Objectifs de Développement Durable (ODD), à savoir « Garantir l'accès de tous à l'eau et à l'assainissement et assurer une gestion durable des ressources en eau ».C'est dans ce contexte que la Direction Régionale de l'Eau et de l'Assainissement du Centre (DREA-C), sur financement du budget de l'Etat gestion pour la mise en œuvre du PN-AEP, a prévu effectuer des paiements au titre des marchés de services pour la maîtrise d'œuvre technique et sociale des travaux de réhabilitation/extension de systèmes AEPS. À l'issue du processus de passation des marchés, le groupement de Bureau d'études IGIP Afrique SARL (Burkina Faso/Bénin) a été retenu pour l'étude d'adaptation du Système d'Alimentation en Eau Potable (AEP) dans les chefs-lieux des communes de la Région du Centre - Sites de Koubri et Komsilga au profit de la DREA-C. C'est dans ce cadre que nous avons travaillé au sein de ce bureau d'études et en qualité de stagiaire, en vue d'élaborer notre mémoire de fin de cycle de Master au 2iE en Génie de l'Eau de l'Assainissement et des aménagement hydro-agricole (GEAAH) ; sous le thème « Conception et dimensionnement d'un système d'approvisionnement en eau potable dans le centre de Koubri, chef-lieu de la commune de Koubri, Région du Centre au Burkina Faso. » Notre démarche consistera, après la présentation du site, à faire : un état des lieux/diagnostic de l'approvisionnement en eau potable, une évaluation des demandes en eau à l'horizon du projet, la conception d'un système d'AEP adapté que nous dimensionnerons, une proposition d'évaluation d'impact environnementale et une estimation des coûts d'investissements du projet.

• INFRASTRUCTURES ET AMÉNAGEMENTS

IGIP Afrique Burkina Faso intervient dans la conception et le dimensionnement d'ouvrages, la conception et le dimensionnement d'aménagements hydroagricoles, la réalisation d'études géotechniques et topographiques, ainsi que l'évaluation de projets.

• ANALYSE ET TRAITEMENT DE DONNÉES

IGIP Afrique Burkina Faso réalise également la collecte de données à travers des enquêtes de terrain et des diagnostics, l'élaboration de bases de données sous Access, ainsi que la cartographie SIG à l'aide de logiciels tels qu'ArcView et MapInfo.

L'organigramme de IGIP Afrique Burkina Faso, lors de notre séjour se présente comme suit

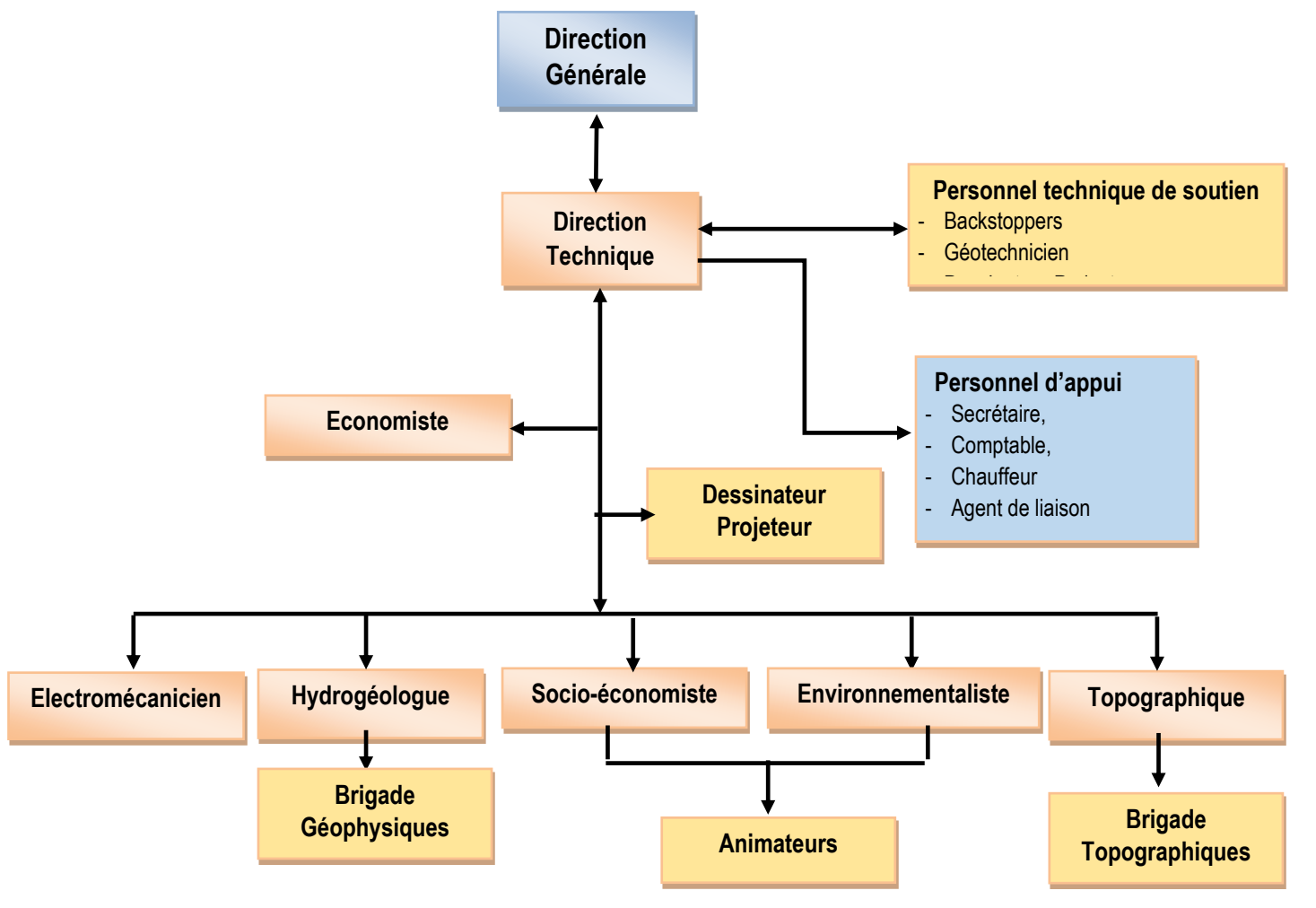


Figure 1: Organigramme de IGIP Afrique

II.2. PRESENTATION DE LA ZONE D'ETUDE

II.2.1. Situation géographique

Le site de Koubri relève de la commune de Koubri, province du Kadiogo dans la région du Centre. Il se trouve à environ 25 km au Sud de Ouagadougou sur l'axe Ouagadougou-Pô-frontière du Ghana (route nationale n°5). Ses coordonnées géographiques sont de 12°10' Nord de latitude et 1°24'Ouest de longitude. C'est une localité qui est séparée en deux blocs par la présence d'un barrage. Le site de Koubri se trouve à environ 25 km au Sud de Ouagadougou sur l'axe Ouagadougou-Pô frontière du Ghana (route nationale n°5). La voie est bitumée et en bon état. Le site est accessible en toutes saisons.(MAIRIE, 2022)

La carte ci-dessus permet de localiser la commune de KOUBRI

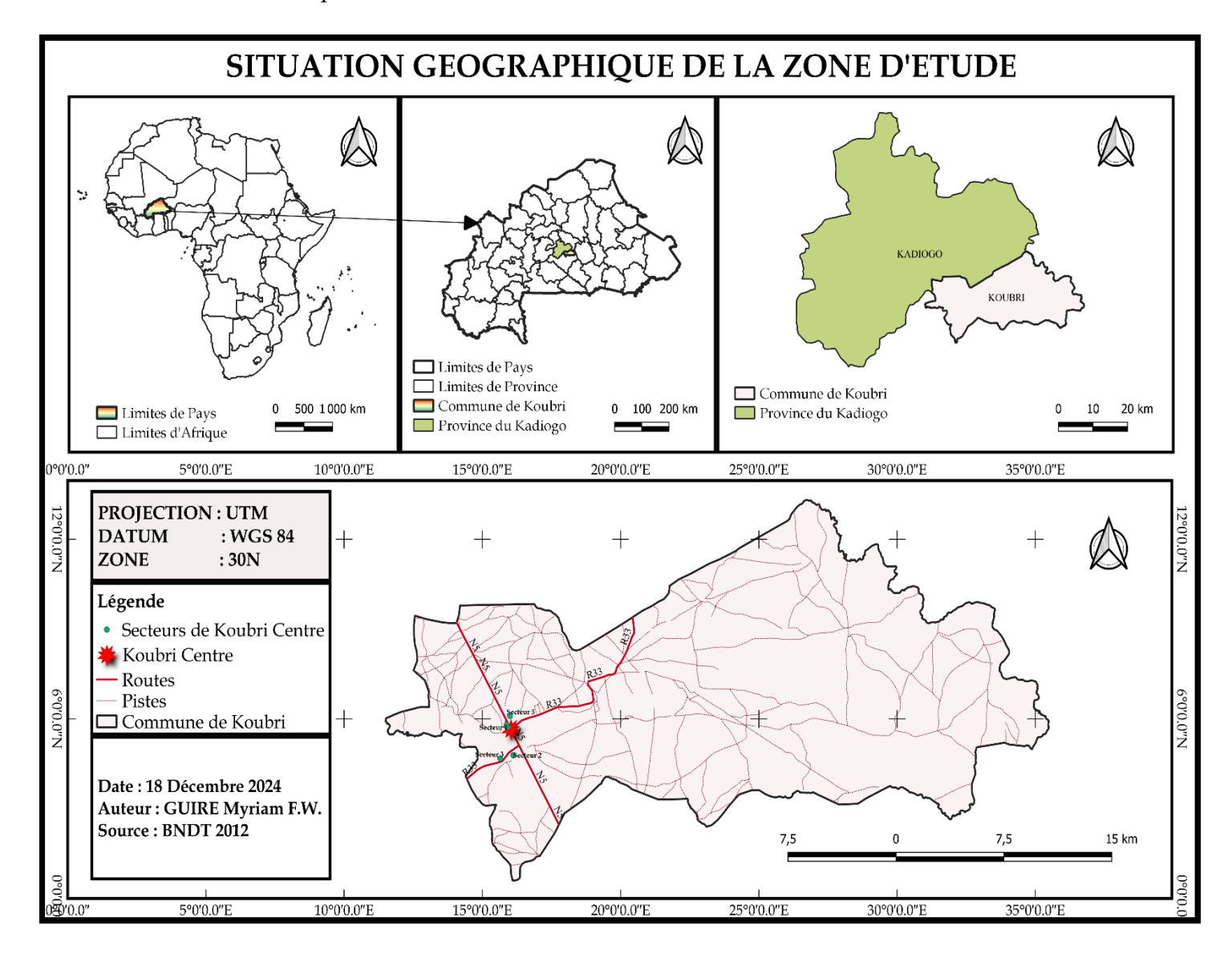


Figure 2 : Carte de situation géographique de la zone d'étude

II.2.2. Les caractéristiques physiques du milieu

II.2.2.a Relief

Le relief de la ville de Koubri est caractérisé par une pénéplaine arasée traversée par quelques cours d'eau semi permanents de laquelle émergent quelques rares plateaux culminant à 200 - 300 mètres.(MAIRIE, 2022)

II.2.2.b Climat et pluviométrie

La commune de Koubri, située dans la zone soudano-sahélienne (700 à 1000 mm d'isohyètes), connaît deux saisons : une saison pluvieuse de juin à octobre, marquée par les vents de mousson, et une saison sèche de novembre à mai, dominée par l'harmattan. Les températures varient de 17°C à 42°C. La pluviométrie, concentrée entre juillet et septembre avec un pic en août, est irrégulière et mal répartie dans le temps et l'espace, ce qui affecte la productivité agricole.(MAIRIE, 2022)

II.2.2.c Végétation et faune

La commune présente un couvert végétal varié, composé de savane arbustive, de savane-parc et de zones rizicoles alluviales, dominé par des espèces locales comme le karité, le néré, le baobab et le Lannea microcarpa. Ce couvert est fortement dégradé à cause de la pression humaine et animale. Des plantations exotiques (manguier, eucalyptus, neem) existent, mais manquent de suivi. La faune, peu diversifiée et en déclin, comprend principalement de petits gibiers, reptiles, oiseaux, amphibiens, poissons (tilapia, silures, Chrysichthys) et crustacés introduits, cette rareté étant due à la dégradation des habitats naturels. (MAIRIE, 2022)

II.2.2.d Sols et Hydrographie

> Sols

Les sols dominants dans la commune répertoriés dans le Plan Communal de Développement de Koubri échu sont les suivants : les sols hydro morphes localisés dans la quasi-totalité des villages ; les sols minéraux bruts ; les sols à mull se rencontrant à l'extrême Sud de la commune dans les environs du village de Tansablogo ; les vertisols et para vertisols situés au Nord-Est de la commune vers les villages de Moincé et Péelé; les sols peu évolués et les sols halomorphes localisés dans les extrémités Sud-est et Est de la commune.(MAIRIE, 2022)

> Hydrographie

La commune de Koubri est traversée par un cours d'eau, le Nialarle qui est un affluent important qui conflue avec le Massili avant de rejoindre le Nakambé en rive gauche une vingtaine de km en aval du Barrage de Ziga. La quasi-totalité des petits barrages ou retenues d'eau de la commune sont localisés dans le bassin versant crée par ce cours d'eau. Ce bassin versant occupe une superficie voisine de 1 000 Km² et regroupe plus de 50 réservoirs, soit une densité de l'ordre de 5 réservoirs par 100 km². Le réseau hydrographique relativement dense crée des zones inondables donnant lieu à des bas-fonds dont les superficies aménageables sont estimées à 517 ha.(MAIRIE, 2022)

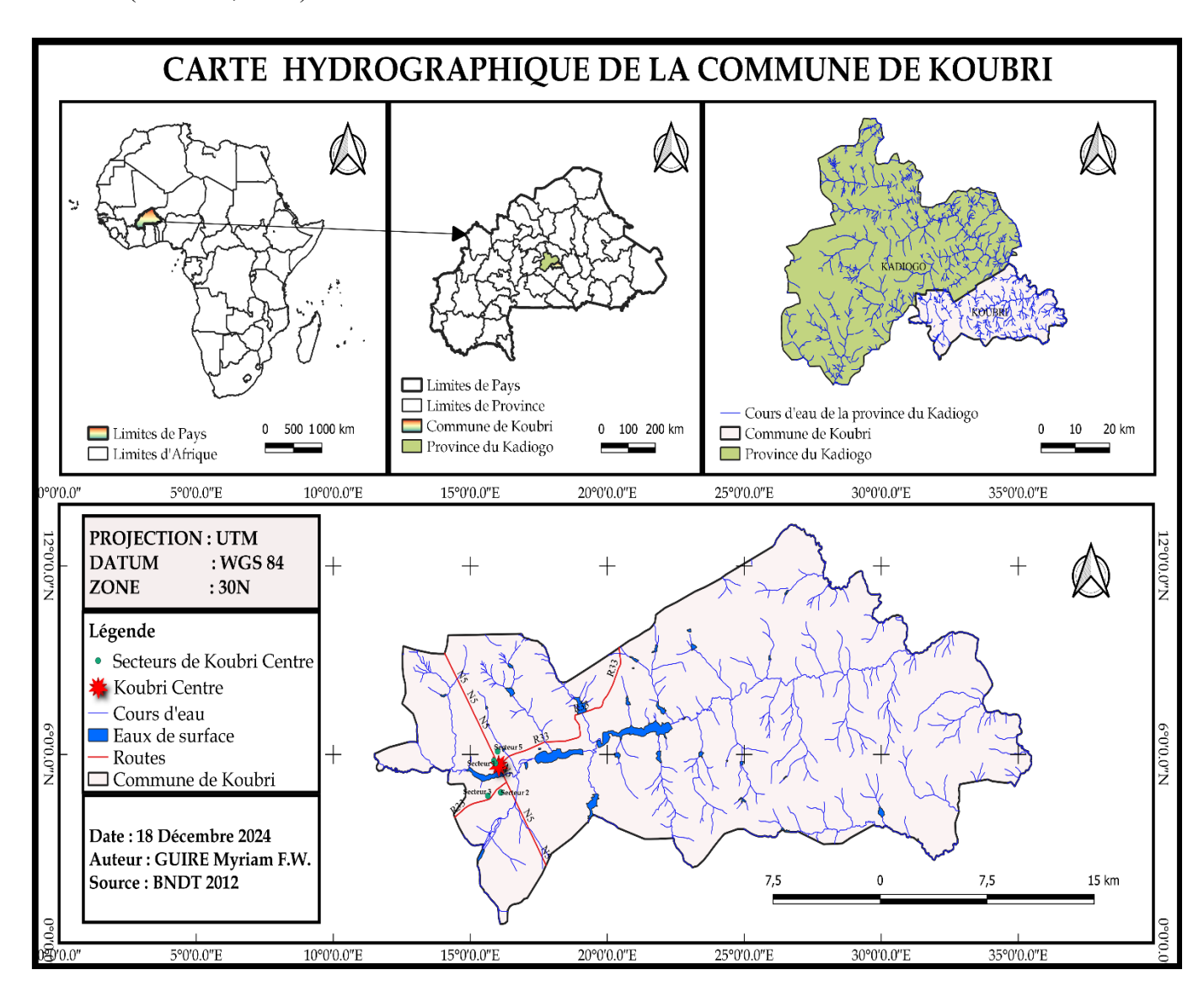


Figure 3 : Carte hydrographique de la commune de Koubri

II.2.2.d Géologie et hydrogéologie

La commune de Koubri repose sur un socle cristallin de granite (environ 2100 millions d'années), issu de l'orogenèse éburnéenne. Hydro géologiquement, la présence d'altérites et de fissures importantes est cruciale pour la circulation des eaux souterraines.(MAIRIE, 2022)

II.2.3 Caractéristiques du milieu humain

II.2.3.a Caractéristiques démographiques

Koubri connaît une forte croissance démographique. En 2019, la population du centre de Koubri était de 10 713 habitants (INSD, 2019), et devrait atteindre environ 12 446 habitants fin 2025, avec un taux d'accroissement communal de de 2,53%. La population est jeune, avec 37,15% ayant entre 0 et 14 ans et 58,62% de 15 à 64 ans.

II.2.3.b Organisation sociale et politique

La commune est principalement peuplée de Mossé et Peulhs, avec d'autres ethnies comme les Bissa et Gourounsis. Les religions pratiquées sont l'animisme, l'islam (majoritaire avec 55,9%) et le christianisme. L'organisation traditionnelle repose sur le village et le canton. L'organisation moderne est partagée entre le préfet (représentant de l'État) et le maire et conseil municipal (gestion de la commune). La participation des femmes aux instances de décision est faible, malgré leur forte présence (50,27% de la population). Elles font face à des difficultés d'accès à l'eau et à l'insécurité foncière.(MAIRIE, 2022)

II.2.4 Caractéristiques socio-économique du site

> Structure de l'habitat

L'habitat à Koubri est un mélange de types traditionnel (cases rondes), semi-moderne (murs en banco, toits en tôle) et moderne (matériaux définitifs). La proximité d'Ouagadougou favorise le développement d'habitats spontanés.

Principales activités de la population

Les principales activités socio-économiques de la zone de projet sont l'agriculture, l'élevage, le commerce et l'artisanat.

• L'agriculture est l'activité dominante, avec des cultures vivrières (mil, sorgho, maïs, riz), maraîchères (choux, oignons, tomates) et de rente (coton, arachide). Les rendements sont moyens en raison des outils traditionnels et des sols peu fertiles.

- L'élevage est la deuxième activité économique, une source importante de revenus et d'épargne (bovins, ovins, caprins, volaille, ânes, porcs, équins).
- Le commerce se concentre sur les produits agricoles, d'élevage, forestiers et artisanaux. La transformation de produits agricoles est limitée.
- L'artisanat comprend la production (menuiserie, forge, poterie) et les services (mécanique, maçonnerie). Les femmes sont très actives dans la transformation artisanale, mais manquent de financement.(MAIRIE, 2022)

> Infrastructures

La zone dispose de deux écoles primaires et un CSPS (Centre de Santé et de Promotion Sociale), deux mosquées, une chapelle, un temple protestant, et un marché. L'approvisionnement en eau potable est assuré par 274 forages (249 fonctionnels), 37 puits modernes (31 fonctionnels), des PEA (Points d'Eau Améliorés) et des AEPS (Adductions d'Eau Potable Simplifiées), y compris un AEPS multi-villages. L'AEPS multi village fait l'objet de contrat d'affermage avec SAWES.(MAIRIE, 2022)

II. PRESENTATION DU PROJET

III.1. CONTEXTE ET JUSTIFICATION

Face aux défis liés aux changements climatiques et à la croissance démographique, la gestion durable de l'eau devient essentielle pour satisfaire les besoins croissants d'une population en expansion. Le Burkina Faso, en adhérant aux Objectifs de Développement Durable (ODD), notamment l'ODD 6 sur l'accès à l'eau et l'assainissement, a mis en place plusieurs programmes, dont le Programme National d'Approvisionnement en Eau Potable (PN-AEP) pour 2030. Ce programme vise à garantir un approvisionnement en eau potable durable, tant en quantité qu'en qualité, et à soutenir les investissements dans le secteur de l'eau potable. Le PN-AEP s'inscrit dans la Stratégie Nationale de l'Eau, qui ambitionne, pour 2030, une gestion efficace de la ressource en eau et un accès universel à l'eau et à l'assainissement. Pour y parvenir, une gestion publique de l'eau potable est primordiale. Dans ce cadre, la Direction Régionale de l'Eau et de l'Assainissement du Centre (DREA-C) a prévu des paiements pour la maîtrise d'œuvre des travaux de réhabilitation et d'extension des systèmes d'Adduction en Eau Potable Simplifiée (AEPS), financés par l'État.

Le groupement IGIP Afrique SARL a été retenu pour réaliser une étude d'adaptation du système d'AEP dans les communes de Koubri et Komsilga. Le projet vise à améliorer l'accès à l'eau pour

la population de Koubri, qui, avec plus de 10 000 habitants, fait face à une demande croissante en raison de l'urbanisation rapide. Actuellement, les systèmes d'AEPS en place ne suffisent pas à couvrir les besoins en eau. L'étude cherchera à proposer des solutions concrètes pour répondre à cette problématique.

III.2. OBJECTIFS (GLOBAL, SPECIFIQUES) DE L'ETUDE ET RESULTAT ATTENDUS

• Objectifs de l'étude

L'objectif du stage est de réaliser une étude technique et financière d'un système d'approvisionnement en eau potable (AEP) dans le centre de Koubri.

Les objectifs spécifiques qui en résultent sont de :

- Réaliser une étude technique du système d'AEP,
- D'évaluer le coût et la rentabilité du projet, et
- D'analyser son impact environnemental tout en proposant des mesures d'atténuation adaptées.

• Résultats attendus

A l'issu de la présente étude, nous aurons :

- La conception technique du système d'AEP est réalisée ;
- Le coût et la rentabilité du projet sont évalués ;
- Une notice d'impact environnemental et social est proposée.

III.2. DIAGNOSTIC/ETAT DES LIEUX

III.2.a Diagnostic et états des lieux

L'AEPS de Koubri centre est composé de deux (02) réseaux indépendants. Le premier couvre la partie Sud, Le deuxième couvre la partie Nord. Le premier a été réalisé par les moines de Koubri vers les années 1976. Le deuxième a vu le jour en 2008 à travers un projet de la Direction Générale des Ressources en Eau (DGRE). Il faut noter aussi que l'AEPS de Koubri Nord et Koubri Sud a bénéficié d'un projet d'extension et de réhabilitation en 2014 réalisé par la DREA-C. La gestion de ces deux réseaux a été confiée à l'opérateur privé SAWES (Sahelian Agency for Water, Environment and Sanitation) à travers un contrat d'affermage signé avec la commune de Koubri (MEEA/DREA-C, 2024).

Un inventaire préliminaire des principaux équipements sur le terrain a été réalisé en collectant les coordonnées GPS (Global Positioning System) de toutes les bornes fontaines (BF), des forages et des châteaux d'eau. Le premier système desservant la partie sud est muni d'un forage fonctionnel de débit de 5m³/h avec l'absence de sonde pour le suivi de la piézométrie et une protection et automatisme défaillants., d'une conduite de refoulement de longueur 640 ml en PVC DN90, d'un château d'eau métallique de 30 m³ de volume. Le château est en mauvais état et présente de grosses fuites à plusieurs endroits. Un réseau de distribution de longueur totale de 1668 ml avec des conduites en PVC DN90 long de 763 ml et des conduites en PVC DN63 long de 905 ml. Ce réseau de distribution est muni de quatre (04) bornes fontaines dont une (01) non fonctionnelle et de branchements particuliers. Des dégradations diverses constatées sur chaque BF, notamment des robinets défectueux, des puits perdus bouchés, des hangars délabrés.

Le deuxième s'étend à la partie Nord est muni de d'un forage fonctionnel de débit de 5m³/h avec une protection et automatisme défaillants, d'un château métallique de 50 m³ de volume. Le château d'eau est en bon état. Une conduite refoulement avec une longueur de 551 ml en PVC DN90. D'un réseau de distribution de longueur totale de 3542 ml avec des conduites en PVC DN90 long de 1530 ml et des conduites en PVC DN63 long de 2012 ml muni de cinq (05) bornes fontaines dont deux non fonctionnelles et de branchements particuliers. Les branchements particuliers sont environ de cent (100) pour Koubri Nord et Sud.

Chaque forage possède une source d'alimentation électrique ; un équipement de pompage ; de coffret de commande et de protection ; de regards et local technique ; de robinetteries d'un système d'automatisme et d'un dispositif de suivi de la piézométrie. Des dégradations diverses constatées sur chaque BF, notamment des robinets défectueux, des puits perdus bouchés, des hangars délabrés.

D'un point de vue organisationnelle, d'après les études socio-économiques il s'avère que près de 60% des enquêtés font la queue pour se faire servir de l'eau potable, 39,6% des consommateurs affirment qu'il y a de la bousculade et des bagarres pour se faire servir, 50% des consommateurs estiment que la corvée d'eau les empêche de bien mener leurs diverses activités et 93,9% des ménages affirment qu'il y a une période où le service d'eau pose plus de problème. Il s'agit principalement de la période chaude. En dehors de la période chaude qui rencontre l'assentiment de la grande majorité des consommateurs, les autres aspects sont assez

mitigés. De plus, pour 61,6% des enquêtés, le temps mis pour être servi à la BF est de moins de 10 mn. Parmi eux, il y en a même (39%) qui disent y passer moins de 5 mn. Cependant, 38,4% reconnaissent y patienter plus de 10 mn avant d'être servis. De nos enquêtes, il ressort que 55,5% des consommateurs disent que les BF de Koubri ouvrent à 7h ;26% affirment même que les BF ouvrent à 9h. Près de 16% affirment que les BF ouvrent à 8 h, et 3% disent qu'elles ouvrent à 6h. En ce qui concerne les heures de fermeture, 69% des utilisateurs affirment qu'elles interviennent à 19h, 24% reconnaissent que les BF ferment à 18h, et près de 7% admettent que les BF ferment dès 17h.

D'un point de vue économique l'analyse des informations recueillies montre que 59,8% des ménages non abonnés au BP estiment que le prix est abordable contre 40,2% qui trouvent que les factures mensuelles sont non maitrisables. Concernant les ménages abonnés au BP les enquêtes révèlent que 68,3% des enquêtés sont satisfaits des tarifs pratiqués. Quant à l'appréciation faite des factures, il ressort que 41,5% des enquêtés estiment les factures acceptables, 51,2% estiment que les factures sont élevées et 7,3% pensent que les factures sont très élevées. Le système d'AEPS du centre de Koubri, mêmes s'il est viable, a souvent un bilan négatif, du fait du non-paiement des factures par certains usagers et certains grands clients tels que la mairie, le CSPS et le domicile du préfet.

III.2.b Proposition d'alternative

Après une analyse faite des différents dysfonctionnements, nous pouvons conclure que les deux systèmes AEPS sont défaillants. En plus de cela avec le manque de bornes fontaines dans certains quartiers il y'a manques d'eau. Pour y remédier, nous proposons une conception et un dimensionnement d'un nouveau système AEP. En effet selon le Recensement Générale de la Population et de l'Habitat (INSD, 2019), la population du centre de Koubri serait de 10713 habitants ce qui répond aux normes de passer d'une AEPS a une AEP. Cela, donnera la possibilité d'extension future du système pour répondre à l'extension du centre de Koubri.

III.3. DONNEES DE BASE

Les données de base de cette étude constituent les informations quantitatives essentielles pour réaliser une analyse de faisabilité technique et financière du projet.

III.3.1 Données démographiques

D'après le Recensement Général de la Population et de l'Habitat (RGPH), le centre de Koubri comptait 8060 habitants en 2006 (INSD, 2006) et 10713 habitants en 2019. Cela

permet de conclure à un **taux d'accroissement naturel de 2,21%**, qui est en dessous de celui de la région du **Centre**, évalué à **4,42%**. Notons que Koubri sud occupe 2/3 de la population et regroupe les secteurs 1, 2, 3 et Koubri Nord occupe 1/3 de la population et regroupe les secteurs 4 et 5.(IGIP Afrique, 2024c)

III.3.2 Données topographiques

Les levés topographiques ont pour principal objectif de déterminer le point le plus élevé pour l'implantation du château d'eau. Ces levés permettront également de réaliser le plan du réseau et son profil en long, afin de visualiser le tracé des canalisations et de mesurer les altitudes du tracé, des bornes fontaines, des différents nœuds, ainsi que de déterminer les coordonnées géographiques des bornes fontaines, des nœuds, du château d'eau. Étant donné que la distribution de l'eau repose sur la gravité, il est essentiel de positionner le château d'eau au point le plus haut afin de faciliter l'écoulement et permettre aux utilisateurs situés dans les zones les plus basses du réseau d'accéder à l'eau. Dans le cadre de cette étude, ces données ont été utilisées pour créer un schéma AutoCAD géo référencé en coordonnées UTM/WGS84.

III.3.3 Données géophysique

La mise en place d'une AEP nécessite d'abord la réalisation de forage destiné à alimenter le système. Les travaux de prospection géophysique ont abouti en la détermination de 3 points à forer dans chaque zones, classés par ordre de priorité selon la meilleure probabilité de succès.(IGIP Afrique, 2024b)

Tableau 1: Localisation des points de sondage géophysique

| Zone | Choix par ordre de priorit é | Sondage | Altérati on (m) | Profondeur conseillée (m) | Profondeur de désespoir (m) | Longitude | Latitude |
|--------|------------------------------|---------|--------------------|---------------------------------|--------------------------------|---------------|----------------|
| Koubri | 1 | SE1 | 25 | 70 | 90 | 672905.00 m E | 1349368.00 m N |
| Zone 1 | 2 | SE3 | 25 | 95 | 110 | 672863.00 m E | 1349440.00 m N |
| (Nord) | 3 | SE4 | 30 | 70 | 80 | 672891.00 m E | 1349444.00 m N |

| Koubri | 1 | SE2 | 17 | 115 | 120 | 674380.00 m E | 1346899.00 m N |
|--------|---|-----|----|-----|-----|---------------|----------------|
| Zone 2 | 2 | SE4 | 17 | 115 | 120 | 674445.00 m E | 1346764.00 m N |
| (Sud) | 3 | SE5 | 10 | 130 | 135 | 674471.00 m E | 1346708.00 m N |

III.3.4 Hypothèse de calcul

III.3.4.a Horizon du projet

L'eau, en tant que service public essentiel, doit être fournie sans interruption. Pour répondre aux besoins croissants de la population tout en assurant un service de qualité, le projet élaboré sera réalisé en deux phases : 2040 et 2055. Ce phasage répond à quatre facteurs clés dont l'accroissement du nombre des usagers car la population a augmenté de 8 060 habitants en 2006 à 10 713 habitants en 2019 avec installation de nouvelles populations entrainant une incertitude sur la démographie et l'installation de nouvelles industries et équipements sociaux; ensuite l'augmentation de la consommation spécifique avec le changement de mode d'alimentation : passage de la borne fontaine au branchement particulier, impactant la consommation ; de plus la durée de vie des installations car les canalisations existantes, datent de 16 à 48 ans ; Enfin, le cycle de vie du projet qui est élevé de 30 ans .

Par ailleurs, la qualité du service reste un enjeu important dans le contexte socio-économique du centre de Koubri. Le défi principal réside dans la conciliation des ressources financières limitées avec l'ampleur des besoins et les incertitudes économiques. Ce phasage permet ainsi de prioriser les investissements selon les besoins immédiats et futurs, tout en tenant compte des évolutions démographiques et économiques. Il s'agit d'une démarche stratégique visant à garantir un accès durable à l'eau potable pour tous. (ZOUNGRANA,2003)

III.3.4.b Consommation spécifique

Dans le cadre de la présente étude portant sur l'approvisionnement en eau potable dans la commune de Koubri à l'horizon 2055, il est indispensable de définir une consommation spécifique de référence, élément central pour le dimensionnement des infrastructures hydrauliques et la planification des services. Cette consommation, généralement exprimée en litres par jour et par habitant (l/j/hab), permet d'anticiper la demande future et de calibrer les investissements à long terme.

Plusieurs référentiels sont disponibles pour encadrer ce choix. Le **Programme National** d'Approvisionnement en Eau Potable (PN-AEP), qui constitue à ce jour le principal document de planification stratégique dans le secteur de l'eau au Burkina Faso, fixe les consommations spécifiques à 15 l/j/hab pour les bornes fontaines et à 20 l/j/hab pour les branchements privés(MEA/PN-AEP, 2016). Ce programme, bien que limité à l'horizon 2030, reste largement utilisé par les acteurs de terrain pour la conception et la mise en œuvre des projets. En parallèle, le décret n°2019-0204/PRES/PM/MEA/MINEFID/MATDC/MS, à portée normative, propose des seuils plus élevés : 25 l/j/hab pour les bornes fontaines et 40 l/j/hab pour les branchements particuliers(DGEP, 2019).

Malgré l'horizon temporel prolongé du projet jusqu'en 2055, le choix a été fait de retenir les valeurs du **PN-AEP** comme base de référence. En effet, le PN-AEP demeure, à ce jour, le cadre stratégique le plus structuré et le plus opérationnel pour le secteur de l'eau. Il a été élaboré sur la base d'analyses contextuelles approfondies et fait l'objet d'un consensus entre les institutions publiques, les partenaires techniques et financiers, et les collectivités territoriales.

Ensuite, bien que le décret de 2019 propose des niveaux de consommation plus ambitieux, ceuxci apparaissent peu adaptés aux réalités actuelles du centre de Koubri. En effet, les enquêtes socio-économiques menées dans la zone indiquent une consommation moyenne de 11,5 l/j/hab, bien en deçà des seuils du décret. Dans ce contexte, il serait irréaliste, voire contre-productif, de projeter directement une consommation de 25 à 40 l/j/hab, sans garanties concrètes sur l'évolution des usages, la disponibilité de la ressource et les capacités de gestion.

Par ailleurs, retenir les seuils plus modestes du PN-AEP permet de **maîtriser les coûts d'investissement et d'exploitation**. Des valeurs plus élevées impliqueraient un dimensionnement conséquent des ouvrages de production, de stockage et de distribution, avec un impact financier important, difficilement soutenable dans le contexte économique actuel. Ce choix permet donc d'engager un développement progressif du service d'eau, en cohérence avec les capacités techniques et budgétaires locales.

III.3.4.c Taux de desserte

Le principal défi du PN-AEP d'ici 2030 sera de garantir le droit d'accès à l'eau pour tous les citoyens burkinabè. L'approche recommandée doit être progressive, tant en termes de taux d'accès que de niveau de service (desserte par Point d'Eau Moderne (PEM), Borne Fontaine

(BF) ou Branchement Particulier (BP)). Pour cette étude, nous envisageons un taux de desserte global de 80% en 2030, 84,17% en 2040 et 90 % à l'horizon 2055, réparti en 70 % pour les branchements particuliers (BP) et 20 % pour les bornes fontaines (BF). La répartition est présentée dans le tableau ci-après.

Tableau 2: Taux de desserte projeté

| Années | Taux de desserte AEP (%) | Taux de desserte Bf(%) | Taux de desserte par les BP(%) |
|--------|-----------------------------|------------------------|--------------------------------|
| 2025 | 56,4 | 28,2 | 28,2 |
| 2030 | 80 | 24 | 56 |
| 2035 | 82,08 | 23,17 | 58,92 |
| 2040 | 84,17 | 22,33 | 61,83 |
| 2045 | 86,25 | 21,5 | 64,75 |
| 2050 | 88,33 | 20,67 | 67,67 |
| 2055 | 90 | 20 | 70 |

Source :PN-AEP et interpolation linéaire

III.3.4.d Coefficients de variations de la demande

Les demandes en eau présentent des variations quantitatives en fonction des saisons, des jours de la semaine et des heures de la journée. Ces fluctuations exercent une influence directe sur les ressources en eau à mobiliser ainsi que sur les dimensions des infrastructures requises. La taille du système de distribution est déterminée par le comportement des usagers, à qui il est crucial de garantir un service continu. La conception du réseau prendra en compte des coefficients représentant ces variations, permettant ainsi de faire des choix éclairés en adéquation avec les comportements des usagers tout en offrant un service proportionnel à leurs capacités financières.

Le coefficient de pointe journalier

Le coefficient de pointe journalier reflète de manière cyclique les comportements des usagers tout au long de la semaine. Les pics de demandes en eau se manifestent lors des jours de grande

lessive et durant les jours de repos hebdomadaires. Ce coefficient est indépendant des variations saisonnières et se situe entre 1,05 et 1,15. Dans le cadre de cette étude, nous adopterons un coefficient de pointe journalier de 1,15.

Le coefficient de pointe horaire

Le coefficient de pointe horaire reflète le pic de consommation durant la journée, illustrant ainsi les habitudes des consommateurs tout au long de celle-ci. Ce coefficient est indépendant des saisons et n'affecte pas les quantités d'eau à mobiliser. Son impact est d'autant plus réduit lorsque la ville présente une diversification de ses activités. Ce coefficient varie de 1,5 pour une grande ville de plus de 200 000 habitants, à 3 ou 2,5 pour une petite ville de moins de 10 000 habitants. Les variations du coefficient de pointe horaire en fonction de la taille de la population sont proposés ci-dessous.

Proportion des coefficients de pointe horaire

| Population (habts) | $C_{ m ph}$ |
|--------------------|-------------|
| < 10 000 | 2,5 à 3 |
| 10 000 à 50 000 | 2 à 2,5 |
| 50 000 à 200 000 | 1,5 à 2 |
| > 200 000 | 1,5 |

(Source: YONABA, 2015)

Pour une bonne approximation de ce coefficient, il peut être aussi estimé à l'aide de la formule dite du Génie Rural.

$$C_{ph}=1,5+\frac{2,5}{\sqrt{Q_{mh}}}$$
 Avec: $Q_{mh}=$ débit moyen horaire de distribution en m³/h. (1)

Dans notre étude, après avoir comparé les deux approches, nous avons choisi un coefficient de pointe horaire **Cph** = **2,5**. Cette valeurs est en corrélation avec la taille de la population à l'échéance du projet.

III.3.4.e Calcul des pertes de charges

Les pertes de charge correspondent à la perte d'énergie causée par les frottements de l'eau contre les parois de la conduite. Ces pertes de charge sont dues à divers facteurs, tels que la friction de l'eau contre les parois des tuyaux, les changements de direction du flux, la présence d'obstacles, ainsi que les variations de débit. Pour le calcul de nos pertes de charge, nous avons utilisés la formule de **Darcy et Weisbach (1775)**. La formule de Darcy-Weisbach est plus précise et polyvalente par rapport aux autres formules empiriques tels que la formule de de Chézy (1775) ; de Manning-Strickler, de Hazen et Williams, de Calmon et Lechapt pour estimer les pertes de charge. Elle s'applique à tous types de fluides et de régimes d'écoulement grâce à son coefficient de friction ajustable, prend en compte la rugosité K pris a 10^{-6} mm (SOTICI, 2023) ;des conduites de manière détaillée et repose sur des principes physiques solides. Le principal inconvénient de la formule de Darcy-Weisbach est sa complexité de calcul, notamment pour déterminer le facteur de friction λ dans le cas turbulent (nécessitant souvent des itérations avec la relation de Colebrook-White). Cependant, avec les outils modernes (calculatrices, logiciels), cette difficulté est devenue négligeable.

$$\Delta H_{L} = \frac{8 \times \lambda \times Q^{2} \times L}{g \times \pi^{2} \times D^{5}}$$

$$\bullet L : \text{Longueur de la conduite [m]}$$

$$\bullet D : \text{Diamètre de la conduite [m]}$$

$$\bullet V : \text{Vitesse d'écoulement [m/s]}$$

$$\bullet G : \text{Accélération gravitationnelle [m/s^{2}]}.$$
(2)

Le coefficient de frottement λ peut être déterminé à l'aide des formules de Poiseuille, de Colebrook-White, du diagramme de Moody, etc. Ce coefficient dépend du nombre de Reynolds, de la rugosité et du diamètre de la conduite. Dans ce cas, il sera calculé à l'aide de la formule de Colebrook.

$$\frac{1}{\sqrt{\lambda}} = -2 \log_{10} \left(\frac{K}{3,71D} + \frac{2.51}{Re\sqrt{\lambda}} \right)$$
• k: Rugosité de la conduite[mm];
• D: Diamètre de la conduite [m];
• Re: Nombre de Reynolds[U].

La valeur de λ qui satisfait cette équation est déterminée par des itérations successives. Les pertes de charge singulières (ΔH_s) sont généralement estimées à 10 % des pertes de charge

linéaires. Dans ce travail, elles seront considérées comme équivalentes à 10 % de ΔH_L . Les pertes totales sont ensuite calculées à l'aide de l'équation.

$$\Delta H_{\text{totale}} = \Delta H_{L} + \Delta H_{S} = 1, 1 \times \Delta H_{L}$$
 (4)

III.METHODOLOGIE

Pour atteindre les objectifs fixés par le projet, notamment la réalisation d'une conception et un dimensionnement de qualité pour le système, une méthodologie a été définie et mise en œuvre.

IV.1. SYNTHESE BIBLIOGRAPHIQUE ET COLLECTE DES DONNEES

La recherche documentaire et la collecte des données sur la zone d'étude a permis d'élaborer des Termes de Référence (TDR), facilitant ainsi une meilleure compréhension du contexte et des enjeux de l'étude. Les documents, études et informations recueillis lors de cette recherche bibliographique incluent notamment :

- Le Plan Communal de Développement (PCD) de la commune de Koubri;
- Le Programme National d'Approvisionnement en Eau Potable (PN-AEP, 2016-2030);
- L'étude socio-économique réalisée pour le centre de Koubri ;
- Les travaux antérieurs relatifs à l'approvisionnement en eau potable au Burkina Faso ;
- Des rapports, des mémoires, des articles ;
- Des résultats définitifs du Recensement Général de la Population et de l'Habitat (RGPH, 2006,2019);
- Les résultats de l'Inventaire National des Ouvrages Hydrauliques (INO) de 2023 de la Direction Générale de l'Eau Potable (DGEP).

***** Logiciels utilisés

L'analyse des données, leur exploitation et la rédaction du mémoire ont pu être réalisées grâce à l'utilisation d'outils essentiel tels que :

Tableau 3 : Logiciels utilisés

| Désignation | Version | Utilité |
|--------------|-------------|---|
| QGIS | 3.16 | Réalisation de la carte de localisation de la zone du projet . |
| AutoCAD | 2020 | Pour la conception du réseau dans plan de masse et l'élaboration des plans des différentes parties de l'ouvrage (tête de forage, château d'eau, borne fontaine, local technique, carnet des nœuds,etc.) |
| EpaCAD | - | Conversion des schémas AutoCAD en un format compatible avec EPANET. |
| EPANET | 2.0 | Simulation hydraulique du réseau d'AEP. |
| Google Earth | PRO | Obtention d'une vue réelle du tracé du réseau sur le terrain. |
| Excel | Office 2016 | Réalisation des calculs nécessaires au dimensionnement. |
| Word | Office 2016 | Rédaction du rapport de projet. |

IV.2. TRAITEMENT DES DONNEES SUIVI DE LA CONCEPTION ET DU DIMENSIONNEMENT DU RESEAU D'AEP

IV.2.1 CONCEPTION DU RESEAU D'AEP

IV.2.1.a Choix du système et types de réseau

A partir des états des lieux et du diagnostic, il est évident que les systèmes AEPS du centre de Koubri ne suffisent plus à répondre aux besoins d'une population en croissance. Pour garantir un approvisionnement en eau potable adéquat, il est essentiel d'envisager une adaptation vers un système d'alimentation en eau potable (AEP) plus vaste qui intègre les deux systèmes existants. Cela permettra de mieux gérer la demande croissante et d'assurer un service durable et efficace. Le réseau à installer sera de type maillé en raison de la nature de l'habitat (zone lotie), de la disposition actuelle (groupé) et de la possibilité d'extension pour permettre aux populations dans la zone non lotie de s'alimenter. Cela améliore également la sécurité dans la distribution et la qualité du service. Le refoulement adopté dans cette étude est direct, sans distribution en route, ce qui permet un fonctionnement régulier des pompes avec une consommation d'énergie réduite.

IV.2.1.b Choix de la source d'eau

Pour distribuer de l'eau à moindre coût tout en assurant la maintenance et la qualité de potabilité, le choix des eaux souterraines est judicieux. Les eaux souterraines sont souvent moins coûteuses à extraire et à traiter par rapport aux sources de surface. De plus, elles sont généralement moins exposées à la pollution, ce qui contribue à garantir leur qualité. L'analyse des données relatives à des ouvrages similaires dans la commune révéler par l'Inventaire National des Ouvrages Hydrauliques (INO) a révélé des débits de forage pouvant atteindre 22 m³/h(MEEA/DGEP, 2023). Sous réserve des travaux de forage et des essais de pompage, un débit de 10 m³/h par forage est retenu pour un pompage de 16h par jour. Si ce débit n'est pas atteint, les débits réels mesurés seront pris en compte, et le nombre de forages nécessaires sera ajusté en conséquence pour répondre à la demande. Le calcul du nombre de forages se base sur l'équation 5 :

$$N_{Forage} = \frac{D_{jp}}{T_p \times Q_{exp}}$$

- N_{Forage}: nombre de forages à réaliser
- D_{ip}: demande au jour de pointe [m3]
- T_p: temps de pompage journalier [m3]
- Q_{exp}: débit d'exploitation d'un forage

IV.2.1.c Branchements particuliers et les bornes fontaine

Les bornes fontaines seront placé à un rayon de 500m pour une population de 500 habitants soit 50 ménages et 10 personnes par ménages selon les recommandations du PN-AEP. Le nombre de bornes fontaine à installer sur le réseau a été déterminé à partir de la formule ci-dessous :

$$N_{BF} = \frac{P_{AEPS}}{P_{BF}}$$

- N_{BF} : le nombre théorique de bornes fontaines
- P_{AEPS}: population desservie par l'AEPS (hbts)
- P_{BF}: population desservie par une borne fontaine (hbts).

Lors de l'enquête sociale, il ressort que la quasi-totalité (98,8%) des ménages non abonnés ont manifesté le besoin en BP contre seulement 1,2% qui estiment n'avoir pas besoin de BP. Notons que l'échantillon de ménages à enquêter était de 282 soit 10% des ménages. Le réseau sera conçu pour permettre le raccordement de futurs branchements particulier afin de répondre aux besoins de la population, avec un total de 1844 branchements particulier prévus pour l'horizon 2055.

IV.2.1.d Rendement du réseau

Le rendement du réseau est un indicateur des pertes en eau survenant durant les phases de mobilisation et de distribution dans un système d'approvisionnement en eau potable(OUERMI,

(5)

(6)

2024). Ces pertes sont influencées par divers facteurs, notamment la qualité des conduites, leur ancienneté, l'entretien réalisé, le renouvellement des branchements privés, ainsi que l'efficacité de la surveillance et la rapidité d'intervention en cas de fuites ou de pannes signalées. En général, les pertes de distribution se chiffrent entre 10% et 20%. Dans le cadre de notre projet, et en tenant compte de la taille et de la configuration de notre réseau, nous estimons que les pertes de charges varient de 5% l'année de mise en service jusqu'à 2040 pour la première phase du projet et à 10% à l'échéance du projet, ce qui conduit à un rendement global de 90% pour la distribution.

IV.2.1.e Conditions de vitesse et de pression

Les conditions de vitesse requises pour les conduites d'adduction et de distribution sont comprises entre **0,3** [m/s] et **1,2** [m/s]. Ces conditions de vitesse doivent être respectées dans le but d'assurer un bon fonctionnement du réseau en permettant un écoulement sans dépôt et garantir l'auto-curage dans les conduites. Les conditions de pressions doivent être fixées pour permettre aux usagers d'assurer un prélèvement sans effort particulier. Les pressions de service varient de 5 [mCE] pour les AEPS (bornes fontaines) et de 10 [mCE] à 20 [mCE] pour les AEP classiques (intégrant des branchements particuliers).

Nous retiendrons alors une pression de service minimum de 10mCE pour les BP et pour les BF et une pression de service maximum de 30mCE.

IV.2.2 DIMMENSIONNEMENT DU RESEAU D'AEP

IV.2.2.1 Evaluation de la population à l'horizon 2055

Cette étape permet d'évaluer la population projetée pour le projet ainsi que les besoins en eau nécessaires pour répondre à la demande. En utilisant les données du RGPH 2019, le taux d'accroissement de la population (pour la période 2006-2019) à l'horizon du projet ont été estimés à l'aide des équations suivantes :

$$P_n = P_0 \times (1+\alpha)^n$$

$$\alpha {=} \left[\left(\sqrt[n-i]{\frac{Pn}{Pi}} \right) {-} 1 \right] {\times} 100$$

• P_n: Population après n années ;

• P₀ : Population de l'année de référence

n : Horizon du projet

• α : Taux de croissance de la population

(7)

| $P_d = P_n x t_d$ | P_d: Population desservie, P_n: Population à l'horizon 2055 t_d: Taux de desserte pris égale à 80% en 2030, 90% de 2040 à 2055 en fonction du taux de croissance conformément au PN-AEP de 2030. | (8) |
|--|---|-----|
| $P_{BF} = t_d \times P_d$ $P_{BP} = t_{BP} \times P_d$ | PBF: Population desservie par borne fontaine; tBF: taux de desserte par borne fontaine égal à 20% à l'horizon du projet PBP: Population desservie par branchement particulier; tBP: Taux de desserte par branchement particulier, égal à 70% à l'horizon du projet | (9) |

IV.2.2.2 Evaluation des besoins en eau

Le besoin en eau représente la quantité d'eau que l'exploitant doit fournir pour répondre à la demande de la population.

IV.2.2.a Evaluation des besoins domestiques

Les besoins moyens journaliers sont calculés en fonction de deux paramètres que sont la population à desservir et la consommation spécifique domestique. Ces besoins seront estimés par la formule suivante :

| $\mathbf{B_{mjd}} = (\mathbf{C_{s,BF}} \times \mathbf{Pop} \times T_{\mathbf{dess_{BF}}} + \mathbf{C_{s,BP}} \times \mathbf{Pop} \times T_{\mathbf{dess_{BP}}}) / 1000$ | |
|---|------|
| ■ \mathbf{B}_{mjd} : Besoin moyen journalier domestiques [m ³] | |
| • $C_{s,BF}$: consommation spécifique aux bornes fontaines [1/j/hbts] | (10) |
| lacktriangle C _{s,BP} : consommation spécifique aux branchements particuliers [1/j/hbts] | |
| ■ Pop : population totale à desservir à l'horizon [hbts] | |
| \blacksquare $T_{dess,BF}$: taux de desserte via bornes fontaines | |
| • $T_{dess,BP}$: taux de desserte via branchements particuliers. | |

IV.2.2.b Evaluation des besoins annexes

Les besoins annexes incluent les besoins des services sociaux tels que les centres de santé, les écoles, les lieux de culte, le marché et la mairie. Ils ont été estimés forfaitairement à 10 % de la consommation domestique. En intégrant le coefficient de pointe journalière (Cpj = 1,15) et le

rendement du réseau de distribution, la demande en eau à distribuer lors des jours de pointe sera déterminée.

| B _{annexes} =10% B _{mjd} | N_{BF}: le nombre théorique de bornes fontaines P_{AEPS}: population desservie par l'AEPS [hbts] P_{BF}: population desservie par une borne fontaine [hbts]. B_{mjd}: Besoin moyen journalier domestiques | (11) |
|--|--|------|
| $D_{jp,dis} = \frac{(C_d + 10\% \times C_d) \times C_{pj}}{\eta_r}$ $D_{jp} = \frac{B_{jp}}{\eta_r}$ | D_{jp,dis}: Demande à distribuer au jour de pointe [m³] C_d: Consommation domestique journalière [m³] C_{pj}: Coefficient de pointe journalier η_r: Rendement du réseau de distribution | (12) |

IV.2.2.c Evaluation des besoins totaux

Les besoins journaliers globaux se calculent en faisant la somme des besoins domestiques et des besoins sociaux.

$$\mathbf{B_{mg}} = \mathbf{B_{mjd}} + \mathbf{B_{Annexe}}$$

$$\mathbf{B_{mg}} = \mathbf{B_{mjd}} + \mathbf{B_{Annexe}}$$

$$\mathbf{B_{mjd}} : \text{Besoins moven journalier domestique } [m^3/j]$$

$$\mathbf{B_{annexes}} : \text{Besoin annexes } [m^3/j]$$

$$\mathbf{B_{jp}} : \text{Besoins journalière de pointe } [m^3/j]$$

$$\mathbf{B_{jp}} : \text{Besoins journalière de pointe } [m^3/j]$$

IV.2.2.d Estimation de la demande de production en eau de pointe

La demande journalière brute à mobiliser en production en tenant compte du rendement du réseau d'adduction.

| _ B _{in} | ■ B _{jp,add} : demande totale au jour de pointe d'adduction [m ³] | |
|--|---|------|
| $B_{\rm jp,add} = \frac{\eta p}{\eta_{add}}$ | ■ B _{jp} : Besoins journalière de pointe [m³/j] | (14) |
| | η_r: rendement du réseau d'adduction | |

IV.2.2.3 Détermination de la capacité du réservoir

IV.2.2.3.a Volume du réservoir

L'emplacement du réservoir doit répondre à deux contraintes principales : il doit être situé au centre de la zone desservie afin de réduire la longueur et le diamètre des conduites principales, et il doit être construit à l'endroit le plus élevé de la zone couverte pour minimiser sa hauteur par rapport au terrain naturel. En ce qui concerne la détermination de la capacité du château d'eau, des valeurs forfaitaires de réservoir, issues des statistiques des centres AEP du Burkina Faso, seront utilisées.

Tableau 4 : Valeur forfaitaires des capacités des réservoir

| Condition d'exploitation | Capacité utile |
|---|-------------------------------|
| Adduction nocturne | 90% du volume journalier |
| Adduction avec pompage solaire (8h/j) | 50% du volume journalier |
| Adduction continue 24h/24h | 30% du volume journalier |
| Adduction de jour durant les périodes de consommation | 10 à 30% du volume journalier |

Dans notre situation, il s'agit d'une adduction de jour durant les périodes de consommation. Ce qui signifie que le réservoir sera rempli à peu près 3 fois. Le réservoir ne sera pas placé au point le plus élevé car il n'y a pas d'espace pour le placer à cet endroit, néanmoins il sera placer sur un des points le plus haut de la zone à côté de l'ancien réservoir d'eau de Koubri nord. Etant donné que le réservoir sera dimensionné pour l'horizon du projet, les deux autres réservoirs existants assureront le service pendant la construction du nouveau réservoir et seront raccordés au nouveau réservoir dès que sa construction sera achevée. Le réservoir de Koubri sud ne sera plus utilisé après la réalisation du nouveau réservoir vu son état vétuste et dégradé tandis que le réservoir de Koubri Nord pourra être utilisé par le fermier comme réservoir de secours pour desservir les zones en aval du nouveau réservoir en cas de forte demande.

| ■ $\mathbf{D_{jp}}$: demande au jour de pointe [m ³] |
|---|
|---|

IV.2.2.3.b Temps de contact avec le chlore et temps de séjour de l'eau dans le réservoir

Le temps de contact est la durée de temps entre l'ajout du chlore dans l'eau et quand elle est employée ou consommée. Le désinfectant utilisé pour le traitement de l'eau du réseau sera le chlore. Le temps contact minimal dont il a besoin doit être supérieur ou égale à 2 heures pour l'efficacité de son action.

Aussi, il serait préjudiciable de s'assurer que le volume du réservoir n'impose pas un temps de séjour qui permet la volatilisation du désinfectant. L'eau ne doit ne pas rester dans le réservoir pendant plus de deux (02) jours au risque ne plus être de bonne qualité.

| $T_{c} = \frac{C_{u}}{Q_{ph}} \ge 2h = T_{c,min}$ | T_c: temps de contact avec le chlore dans le réservoir [h] C_u: capacité du réservoir [m3] Q_{ph}: débit de pointe horaire [m3/h] | (16) |
|---|---|------|
| $T_s = \frac{C_u}{Q_{mh}} \le 2 jours = T_{volatilisation}$ | T_s: temps de séjour [h] C_u: capacité du réservoir [m3] Q_{mh}: débit moyen horaire [m3/h] | (17) |

IV.2.2.3.d Traitement de l'eau

Les eaux souterraines, bien qu'en général propres et conformes aux normes de potabilité, doivent faire l'objet d'une analyse physico-chimique et d'un examen bactériologique pour confirmer leur qualité. Pour assurer une qualité constante de l'eau dans le réseau, un système de désinfection par injection d'hypochlorite de calcium sera installé. Ce système comprendra des bacs de préparation et une pompe d'injection, et sera situé dans des locaux aménagés à proximité du château d'eau.

Détermination du débit de la pompes doseuse

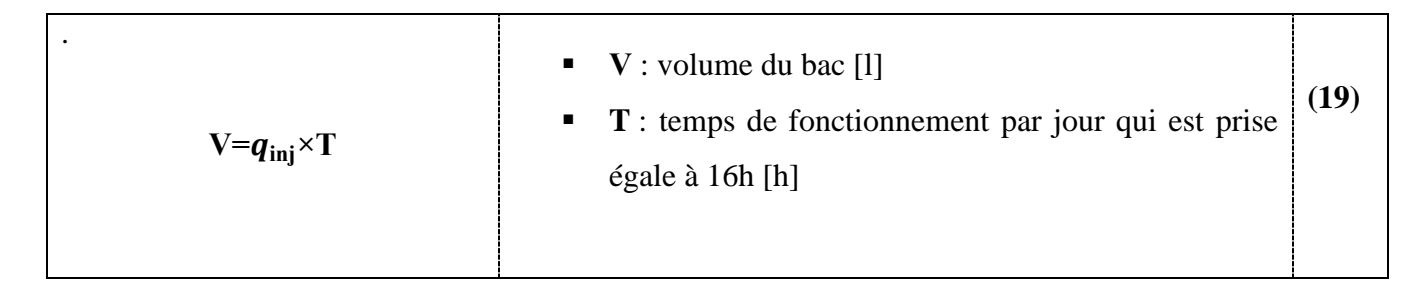
La demande en chlore n'est généralement pas élevée pour les eaux de forages. Il est considéré un taux de traitement T = 2 g/m³ pour obtenir un chlore résiduel entre 2 g/m³ et 5 g/m³ (EBOE 2020). Dans notre étude, le traitement se fera par l'hypochlorite de calcium d'une concentration de 5g/l. Le débit de la pompe doseuse est déterminé par l'équation 18.

$$q_{\rm inj} = T_{\rm trait} \times \frac{Q}{C}$$
 • q : débit d'injection de la pompe doseuse [l/h] (18)

| ■ T : taux de traitement [g/m³] | |
|--|--|
| C : concentration de l'hypochlorite de calcium [g/l] | |
| • Q : débit d'eau brute [m ³ /h]. | |

• Volume du bac pour l'hypochlorite de calcium

Le volume du bac se détermine par la formule suivante :



IV.2.2.4 Calcul des débits caractéristiques

IV.2.2.4.a Débit d'adduction

Le débit d'adduction représente le volume d'eau qui circule dans les canalisations pour alimenter un réseau de distribution en eau potable pendant une période donnée. Le débit d'adduction est calculé à partir de l'équation 20.

$$\mathbf{Q}_{add} = \frac{\mathbf{D}_{jp}}{\mathbf{T}_{p}}$$

$$\mathbf{Q}_{add} : \text{d\'ebit total d'adduction } [\text{m}^{3}/\text{h}]$$

$$\mathbf{D}_{jp} : \text{Demande au jour de pointe } [\text{m}^{3}]$$

$$\mathbf{T}_{p} : \text{temps de pompage journalier } [\text{h}]$$

$$(20)$$

IV.2.2.4.b Débit de distribution

Sur la distribution, nous estimons un temps de distribution de 12 h de temps pour les bornes fontaines.

$$Q_{ph_BF} = \frac{D_{jp,BF} \times 1000}{12h \times 3600} \times C_{ph}$$
 (21)

Le débit pour les branchements privés, à l'heure et au jour de pointe, est estimé par l'équation 22.

Il est prévu un temps de distribution de **18 h de temps** pour les branchements particuliers. Le choix de 18h de pompage est une décision stratégique visant à diminuer le débit d'eau requis en dehors de cette période et à augmenter le débit de distribution durant les 18h de distribution.

Cette décision tient compte des caractéristiques de notre zone semi-urbaine, où la consommation d'eau est plus importante en journée qu'en soirée.

$$Q_{ph_BP} = \frac{D_{jp,BP} \times 1000}{18h \times 3600} \times C_{ph}$$

$$Q_{disttotal} = Q_{ph_BP} + Q_{ph_BF}$$
(22)

Le débit de pointe horaire de distribution est déterminé en tenant compte du débit total des bornes fontaines lorsque tous les robinets sont fonctionnels et du débit de pointe horaire des branchements particuliers.

IV.2.2.5 Calcul des diamètres de conduite

IV.2.2.5.a Conduites de refoulement

Le choix du diamètre économique de la conduite de refoulement repose sur un compromis entre deux facteurs contradictoires. D'une part, les coûts d'achat et d'installation de la conduite, qui augmentent avec le diamètre, et d'autre part, les coûts de fonctionnement liés au pompage, qui diminuent lorsque le diamètre augmente, en raison de la réduction des pertes de charge. Les conduites utilisées dans cette étude pour le réseau d'adduction sont en polyéthylène haute densité (PEHD) de pression nominale 16 bars (PN16). Le souci premier est d'avoir un diamètre dit économique qui minimise autant que possible les charges d'exploitation de l'AEP tout en optimisant les coûts d'investissement. Le diamètre dit économique à retenir est celui qui vérifiera à la fois les conditions de vitesses et celle de Flamant. La condition de GLS étant appliquée aux conduites de grand diamètre, elle ne fera pas l'objet de vérification. Les conditions adoptées sont les suivantes :

- Umin = 0, 6 m/s;
- Umax = 1, 2 m/s;
- $U(m/s) \le 0$, 6 + Dint(m): Condition de Flamant

$$D_{th} = \begin{cases} \textbf{Bresse: D_{th}=1,5} \times \sqrt{Q} \\ \textbf{Bresse modifi\'e: D_{th}=0,8} \times \sqrt{Q} \\ \textbf{Munier: D_{th}=(1+0,02\times n)} \times \sqrt{Q} \\ \textbf{B\'edjaoui: D_{th}=1,27} \times \sqrt{Q} \end{cases}$$

$$= D_{th}: Diam\`etre th\'eorique [m] \\ = Q: d\'ebit refoul\'e [m³/h] \\ = N: temps de pompage [h] \\ = U: vitesse d\'ecoulement [m/s]$$

$$= U: vitesse d\'ecoulement [m/s]$$

• Diamètres des colonnes d'exhaure et montante

La colonne d'exhaure, reliant la pompe immergée à la tête du forage, sera réalisée en polyéthylène haute densité (PEHD). Les colonnes montantes, reliant la conduite de refoulement au réservoir, et descendante, reliant le réservoir à la conduite de distribution, seront fabriquées en acier inoxydable. Leurs diamètres seront déterminés à l'aide des relations. Les conduites de trop-plein et de vidange seront également en acier inoxydable.

$$\mathbf{D_{exh}} = \sqrt{\frac{4 \times \mathbf{Q_{expl}}}{\pi \times \mathbf{U}}}$$

$$\mathbf{D_{exh}} : \text{ Diamètre de la colonne d'exhaure [m]}$$

$$\mathbf{D_{Col}} : \text{ Diamètre de la colonne montante [m]}$$

$$\mathbf{U} : \text{ Vitesse ascensionnelle dans la colonne d'exhaure [m/s]}$$

$$\mathbf{V} : \text{ Vitesse ascensionnelle dans la colonne montante [m/s]}.$$

• Pertes de charges à l'adduction

Compte tenu de la rareté des singularités, les pertes de charge singulières seront estimées à 5 % des pertes de charge linéaires déterminées conformément à l'équation (4).

Calcul de la hauteur manométrique HMT

La Hauteur Manométrique Totale (HMT) correspond généralement à la différence de pression entre les orifices d'aspiration et de refoulement. Exprimée en mètres de colonne d'eau, elle dépend de la hauteur géométrique et des pertes de charge totales. Sa valeur est calculée à l'aide de l'équation (25).

IV.2.2.5.b Etude du coup de bélier

Les coups de bélier sont des ondes de suppression et de dépression liées à un changement brutal de l'écoulement dans la conduite. Il est très fortement recommandé d'éviter les coups de bélier qui peuvent provoquer des dégâts extrêmement importants, parfois à retardement. Les coups de bélier correspondent à la transformation brusque de l'énergie cinétique de l'eau en pression. Le fait de bloquer l'eau brusquement par une vanne engendre des ondes de suppression et de dépression qui se propagent dans l'adduction en s'amortissant peu à peu. Nous étudions le phénomène de coup de bélier afin de voir s'il est nécessaire de mettre un dispositif anti-bélier.

Il convient donc que la conduite soit dimensionnée de manière à résister aux éventuelles surpressions et dépressions maximales qui peuvent se produire dans la canalisation par suite d'un arrêt brusque de la pompe. Précisons que les conduites seront enterrées. Nous avons évalué l'amplitude du phénomène du coup de bélier par la formule de Joukovski-Allievi selon l'équation 26.

$$c = \sqrt{\frac{\epsilon}{\rho}} \times \frac{1}{\sqrt{1 \times \frac{D}{e} \times \frac{\epsilon}{E}}}$$

$$\Delta P \text{ (m) : Variation de pression}$$

$$C \text{ (m/s) : Célérité de l'onde de choc ;}$$

$$U_0 \text{ (m/s) : Vitesse d'écoulement de l'eau}$$

$$e \text{ (m) : Intensité du champ de pesanteur ;}$$

$$D \text{ (m) : Diamètre intérieur de la conduite ;}$$

$$e \text{ (m) : Epaisseur de la conduite.}$$

Une installation anti-bélier devra être mise en place si les critères suivants sont satisfaits.

Surpression si : HMT+∆P-ND≥PMA≈1,2×PN

Dépression si : HMT-∆P-ND≤-10,33 [mCE]

 PMA :Pression Maximal Admissible

(27)

(28)

IV.2.2.5.c Conduites de distribution

1) Calcul de la partie maillé

Pour le calcul des conduites de distribution, on commence par déterminer les débits aux différents tronçons du réseau. Dans cette étude, il s'agit d'un réseau maillé, où les tronçons assurent à la fois un service pour les branchements privés et une distribution vers les nœuds, tels que les borne-fontaine.

✓ Débit spécifique, débit en route, débit aux nœuds

Le débit linéique correspond au volume d'eau qui s'écoule par unité de temps et de longueur d'une conduite. Le débit en route, quant à lui, est défini comme étant le débit uniformément réparti sur un tronçon du réseau. Ces débits en route sont ensuite transformés en débits aux nœuds. Par la suite, les débits sont répartis de manière arbitraire sur les tronçons considérés, en partant du réservoir, tout en respectant la loi des débits aux nœuds, $\sum Qn = 0$.

$$Q_{Sp} = \frac{Q_{ph} - Q_C}{\sum Li}$$

$$Q_{route} = Q_{Sp} \times Li$$

$$Q_{noeuds} = \sum_{i=1}^{n} \frac{Q_{route}}{2} + Q_{BF}$$

- Q_{Sp}: Débit spécifique [1/s/m]
- Q_C: Débit concentré ou ponctuel [1/s]
- Q_{nœuds}: Débit au nœuds [1/s]
- Σ Li: Longueur assurant un débit de route [m]
- Q_{route}: Débit de route [1/s]

• Calcul des diamètres théoriques des conduites de distribution

Les conduites de distribution seront en PVC à joints en caoutchouc, avec une pression nominale de 10 bars. Ce choix est motivé par leur facilité de mise en œuvre, ne nécessitant pas de main-d'œuvre qualifiée, ainsi que par leur coût significativement inférieur à celui d'autres types de conduites. La formule utilisée pour déterminer les diamètres des conduites de distribution est :

$$O = s*v$$

■ D_{in} : le diamètre intérieur de la conduite de la conduite en [m]

S: la section de la conduite en [m²]

(29)

$$\mathbf{D_{in}} = \sqrt{\frac{4*Q}{\pi*V}}$$

• Q : le débit passant dans la conduite en[m3/s] ;

• V : la vitesse de l'eau dans la conduite prise égale à 1 [m/s].

Le diamètre intérieur est ensuite sélectionné à partir d'un catalogue, en s'approchant au maximum du diamètre théorique déterminé par la vitesse unitaire, tout en cherchant à uniformiser autant que possible les diamètres au sein de la maille. Par la suite, pour respecter la loi des mailles et équilibrer les charges sur les nœuds, il est nécessaire d'effectuer le calcul itératif de Hardy-Cross.

2) Calcul de la partie ramifié

Le dimensionnement de la partie ramifiée est réalisé après avoir déterminé le débit équivalent, comme indiqué ci-dessous.

$$Q_{\acute{e}q} = 0.55 \times Q_{route} + Q_{aval}$$
(30)

IV.2.2.6 Mode de pose des conduites

Le mode de pose des conduites est une étape clé dans la mise en place des réseaux d'eau potable, influençant leur durabilité, performance et adaptation au terrain. Il tient compte de divers facteurs techniques comme la nature du sol, la profondeur, la protection contre les charges, les croisements d'ouvrages et les normes. Une pose bien réalisée assure une distribution efficace et limite les risques de dysfonctionnements. Il est conseillé d'enterrer les conduites afin de les protéger des intempéries et de les installer le long des voies de circulation pour faciliter l'accès lors des travaux de maintenance. La profondeur et la largeur minimale sont données par l'équation 31.

$$\begin{cases} \mathbf{h_{min}} \geq \mathbf{0,8} + \mathbf{D_{ext}} \\ \mathbf{l_{min}} \geq \mathbf{0,4} + \mathbf{D_{ext}} \end{cases}$$

$$\bullet \quad \mathbf{h_{min}} : \text{ profondeur minimale de tranchée [m]}$$

$$\bullet \quad \mathbf{l_{min}} : \text{ largeur minimale de tranchée [m]}$$

$$\bullet \quad \mathbf{D_{ext}} : \text{ diamètre extérieur de conduite [m]}$$

$$(31)$$

Concernant les conduites passant sous les dalots, elles seront placées dans des fourreau en fonte de diamètre supérieures et placé au niveau des voiles du dalot. A leurs sorties du dalot, elles seront boulonnées avec un système à bride pour reprendre leur forme initiale en PVC.

IV.2.2.7 La méthode de Hardy Cross

La méthode de **Hardy Cross** est une technique itérative utilisée principalement pour résoudre les problèmes d'équilibrage dans les réseaux de conduites hydrauliques ou de poutres en mécanique. Elle est particulièrement utile dans l'analyse des réseaux bouclés pour équilibrer les débits ou les charges. Étapes principales sont :

- Identifier et numéroter les mailles
- Faire une estimation initiale des débits dans les tronçons et indiquer un sens arbitraire pour le débit dans chaque tronçon.
- Calculer les pertes de charge dans chaque boucle.
- Appliquer une correction (ΔQ) pour réduire l'erreur dans les pertes de charge. Pour les tronçons appartenant à deux mailles, nous avons effectué une double correction.
- Répéter les itérations jusqu'à ce que ΔQ devienne négligeable.

Cependant, pour des réseaux complexes avec de nombreuses boucles, le processus devient long et fastidieux. Dans ces cas, des outils numériques ou logiciels sont souvent privilégiés.

Le facteur de correction et le débit corrigé sont déterminé à l'aide de l'équation ci-dessous :

$$\begin{split} \Delta Q_{m_{i}} &= -\frac{\sum_{m_{i}} \Delta H_{i}}{n \times \sum_{m_{i}} \frac{\Delta H_{i}}{Q_{i}}}, \ |\Delta Q_{m_{i}}| \leq & \epsilon \\ Q'_{i} &= & Q_{i_{i}} + \Delta Q_{mi} \end{split}$$

$$\mathbf{Q'_i} = \mathbf{Q_{i_i}} + \Delta \mathbf{Q_{mi}}$$

$$\sum_{i=1}^{n} \Delta H_i = 0 \text{ le long de la maille}$$

- $\Delta \mathbf{Q}_{\mathbf{m}_i}$: correction de débit dans la maille m_i [m³/s]
- ε : seuil d'arrêt des itérations (ici pris = 10^{-15} l/s)
- $\Delta \mathbf{H_i}$: somme algébrique des pertes de charges dans m_i [m]
- \mathbf{Q}_i : débits dans les tronçons de la maille m_i [m³/s]
- n : exposant du débit dans la formule de perte de charges (ici n = 2)
- Qi': Débit corrigé

Après le Hardy-Cross, la côte minimale à imposer au radier de la cuve du réservoir est donnée par un calcul aval-amont.

(32)

$$\begin{split} Z_{min} = & P_{ser} + Z_{TN} + \sum \Delta H \\ H_{Sous_radier} = & Max (Z_{min}) - Z_{TN} \\ Z_R = & Z_{TN} + H_{Sous_radier} = & Max(Z_{min}) \\ P_{Noeuds_i} = & Z_R - Z_{TN_i} - \sum \Delta H \end{split}$$

•
$$Z_{min}(m)$$
: Cote minimale exploitable

•
$$Z_R(m)$$
: Cote du radier;

$$P_{\text{Noeuds}_i}(m)$$
: Pressions au Nœud i.

(33)

(34)

IV.2.2.8 Système de pompage

Le choix du système d'énergie consiste à déterminer les caractéristiques de la pompe immergée, l'option de l'énergie de pompage ainsi que le mode de traitement de l'eau.

• Choix de la pompe

Des pompes hydrauliques immergées Grundfos, spécialement adaptées, seront utilisées pour acheminer l'eau des forages au réservoir de stockage. Le choix de ces pompes repose sur deux paramètres essentiels : le débit d'exploitation des forages et la hauteur manométrique totale. Les formules suivantes permettent de déterminer les puissances hydraulique, électrique et moteur des pompes (NACOULMA, 2023).

$$\begin{split} P_{H} &= \frac{\rho \times g \times Q_{P} \times HMT}{1000} \\ P_{Abs} &= \frac{\rho \times g \times Q_{P} \times HMT}{1000 \times \eta_{P}} \\ P_{M} &= \frac{\rho \times g \times Q_{P} \times HMT}{1000 \times \eta_{P} \times \eta_{M}} \end{split}$$

- P_H: Puissance hydraulique ou puissance utile [KW]
- P_{Abs}: Puissance absorbée par la pompe [KW]
- P_M: Puissance de la motopompe [%]
- η_P : Rendement de la pompe [%]
- η_M : Rendement du moteur [%]

• Point de fonctionnement

Le point de fonctionnement d'une pompe correspond au couple (Q ; HMT) situé à l'intersection de la courbe caractéristique hydraulique de la pompe [HMT = f(Q)] et de la courbe caractéristique du réseau [HMT = $f(H_{g\acute{e}o} + \Sigma\Delta H)$]. Ce point définit le débit que la pompe peut fournir pour une hauteur manométrique totale donnée. Dans notre cas, il sera déterminé en tenant compte des HMT modifiées.

IV.2.2.9 Source d'énergie pour le pompage

Le pompage sera alimenté par trois sources d'énergie : l'énergie solaire, l'énergie thermique (groupe électrogène spécifique à l'AEP) et le réseau public de distribution la Société nationale

d'électricité du Burkina Faso (SONABEL). Un pompage continu de 16 h (8h-24h) sera fait dont 6h au fil du soleil et 10 h sur le réseau public de distribution. Le groupe électrogène sera utiliser en cas de coupure d'électricité. Cette configuration permettra de garantir une fiabilité accrue et d'opprimer les coûts énergétiques car l'utilisation de l'énergie solaire réduit la dépendance aux sources payantes (électricité et carburant pour le groupe électrogène), rendant le système plus économique et durable.

• Dimensionnement du groupe électrogène

Le dimensionnement du groupe électrogène est une étape essentielle pour garantir la fiabilité et la continuité du pompage, en particulier en cas de coupure d'électricité sur le réseau public (SONABEL) ou en l'absence d'énergie solaire. Ce dimensionnement vise à déterminer la puissance nécessaire pour couvrir les besoins énergétiques du système, tout en tenant compte des caractéristiques spécifiques du pompage, des équipements alimentés et des contraintes opérationnelles. Un dimensionnement précis permet d'assurer un fonctionnement optimal, de minimiser les coûts d'exploitation et de prolonger la durée de vie du matériel.

$$P_{app}=Max \begin{pmatrix} 2 \times \frac{\rho \times g \times Q \times HMT}{\eta_{pompe-moteur} \times cos\phi}; \\ 2 \times \frac{\sqrt{3} \times U \times I_{n} \times cos\phi}{1000} \times 1,25 \end{pmatrix}$$

- P_{app}: Puissance apparente (KVA)
- Q : débit pompé (m³/h)
- HMT : hauteur manométrique totale (m)
- η pompe-moteur : rendement de la pompe et du
- $\cos \varphi$: facteur de puissance (= 0,8)

• Dimensionnement du système solaire photovoltaïque

Les panneaux photovoltaïques seront installés de manière à capter un maximum de rayons solaires. À cet effet, ils seront fixés sur une plateforme surélevée à une hauteur appropriée. Pour garantir la sécurité de l'installation, la plateforme sera entourée d'un enclos grillagé. La station photovoltaïque comprendra un ensemble de modules photovoltaïques, une boîte de raccordement, un régulateur de charge, un onduleur et divers autres accessoires. L'énergie électrique journalière produite par le générateur photovoltaïque et la puissance crête du générateur PV sont déterminer par l'équation 36 :

(35)

$$P_{c} = \frac{\rho \times g \times Q_{p} \times T_{insol} \times HMT}{3600 \times \eta_{p} \times \eta_{ond} \times \eta_{M} \times \gamma_{i}}$$

- P_C: Puissance crête du générateur solaire (Wc)
- Q_p: Débit d'eau journalier pompé (m³/h)
- T_{isol}: Temps d'insolation journalier (h)
- γ_i: Intensité de l'ensoleillement (KWh/m². j)
- η_{ond} : Rendement de l'onduleur (%)

• Le nombre de module

Les modules seront agencés en parallèle, en série ou en une configuration série-parallèle, selon les besoins. Le nombre de modules photovoltaïques requis pour satisfaire les besoins énergétiques, ainsi que leur disposition, sont déterminés par les équations 37.

$$N_{module} = \frac{P_C}{P_{c_{module}}}$$

$$N_{module_{serie}} \leq \frac{U_{max_{ond}}}{U_{cc_{module}}}$$

$$N_{module_paral} \leq \frac{P_C}{N_{module_serie} \times P_{C_module}}$$

- N_{module} : Nombre de modules ;
- $ightharpoonup P_{c_{module}}$: Puissance crête unitaire de module [Wc]
- U_{max_{ond}}: Tension maximale à l'entrée de l'onduleur en [V]
- U_{cc_{module}: Tension de court-circuit d'un module en [V]}
- N_{module} : Nombre de modules en parallèle.

Puissance et tension de l'onduleur

Afin de garantir la sécurité des installations électriques, la puissance nominale de l'onduleur doit être légèrement supérieure à la somme des puissances des appareils alimentés en courant alternatif. Cette puissance est déterminée par la formule suivante :

$$P_{onduleur} = \frac{K \times P_P}{\eta_P \times \cos \varphi}$$

- P_{onduleur}: Puissance de l'onduleur
- P_P: Puissance de la pompe [Kw]
- K : Coefficient de correction (K=1,05)
- $\cos \varphi$: Facteur de puissance.

IV.2.2.10 Prix de revient de l'eau

Au Burkina Faso, le prix de l'eau est basé sur un système de répartition des coûts, couvrant les charges d'exploitation et l'amortissement des investissements sur 30 ans. Les travaux et

(38)

(36)

fournitures nécessaires à la réalisation des ouvrages sont quantifiés à partir des avant-métrés et des plans, en tenant compte de la nature des ouvrages. Le document "Mercuriale BTP 2025 Ouagadougou" sert à établir le devis estimatif. Le prix du mètre cube d'eau est calculé selon une formule suivante :

V. RESULTAT DE L'ETUDE TECHNIQUE V.1 BESOINS, DEMANDE EN EAU, DEBITS DE DIMENSIONNEMENT ET EMPLACEMENT DES FORAGES

V.1.1 Taux d'accroissement et Evaluation de la population à l'horizon du projet

• Taux d'accroissement

Pour estimer la population à l'horizon du projet, nous avons comparé le taux d'accroissement spécifique du centre de Koubri avec celui de l'ensemble de la commune. Nous avons retenu le taux d'accroissement communal (MEEA/DREA-C, 2024) parce qu'il tient compte des mouvements de population entre le centre de Koubri et les villages autour. Cela donne une estimation plus réaliste du nombre d'habitants dans les années à venir.

Tableau 5 : Taux d'accroissement calculé de la population

| Taux de d'accroissement (%) | | | | | | | |
|-----------------------------|------------|--|--|--|--|--|--|
| Année | Population | | | | | | |
| 2006 | 8060,00 | | | | | | |
| 2019 | 10713,00 | | | | | | |
| 2025 | 12445,63 | | | | | | |
| Taux en 2019 (Calculé) | 2,21 | | | | | | |
| Taux en 2025 (Retenue) | 2,53 | | | | | | |

• Evaluation de la population à l'horizon du projet

Avec un taux d'accroissement de 2,53% par an, la population de Koubri sera de 26336 habitants en 2055.

Tableau 6 : Evaluation de la population à l'horizon du projet

| Années | Unité | 2025 | 2030 | 2035 | 2040 | 2045 | 2050 | 2055 |
|----------------------|-------|-------|-------|-------|-------|-------|-------|-------|
| Taux d'accroissement | % | | | | 2,53 | | | |
| Population | [Hbt] | 12446 | 14102 | 15979 | 18105 | 20514 | 23243 | 26336 |

V.1.2 Besoins en eau

Le système d'adduction en eau potable sera réalisé pour satisfaire les besoins en eau des populations de la ville de Koubri pour une durée de vie de trente ans (30ans). Le tableau présente l'ensemble des résultats de l'évaluation de la demande en eau.

Tableau 7: Besoins en eau de la population

| Désignation | Unité | | | | | | | |
|---|-------------------|--------|--------|--------|--------|--------|--------|--------|
| Années horizons | U | 2025 | 2030 | 2035 | 2040 | 2045 | 2050 | 2055 |
| Populations (Pn) | [Hbt] | 12446 | 14102 | 15979 | 18105 | 20514 | 23243 | 26336 |
| Populations desservies par le SAEP (Pd_SAEP) | hbt | 7020 | 11282 | 13116 | 15238 | 17693 | 20531 | 23702 |
| Consommation Totale (Bmg) | m ³ /j | 135,13 | 229,58 | 268,19 | 313,01 | 365,00 | 425,27 | 492,48 |
| Besoin journalier de pointe (Bjp) | m ³ /j | 155,40 | 264,02 | 308,42 | 359,96 | 419,74 | 489,06 | 566,36 |
| Demande du jour de pointe (Djp) | m ³ /j | 163,57 | 277,91 | 324,66 | 399,95 | 466,38 | 543,40 | 629,28 |
| Débit moyen horaire (Qmh) | m ³ /h | 11,03 | 17,32 | 20,09 | 24,59 | 28,49 | 33,00 | 38,04 |
| Unité | U | | | | | | | |
| Débit de pointe | m ³ /h | 27,59 | 43,29 | 50,23 | 61,47 | 71,23 | 82,51 | 95,11 |
| horaire (Qph) | l/s | 11,86 | 16,36 | 17,92 | 20,39 | 22,66 | 25,31 | 28,24 |

Le débit de 28,24 l/s est retenu pour le dimensionnement du réseau de distribution, incluant un débit de pointe horaire de 8,25 l/s pour les bornes fontaines et 19,99 l/s≅ 20 l/s pour les branchements privés. Un récapitulatif des résultats mentionnés ci-dessus est présenté dans l'annexe 6.

V.1.3 Ressource en eau

La ressource en eau doit être suffisante pour couvrir la demande du jour de pointe. Les études géophysiques ont montré que les deux points de sondage étaient susceptibles d'avoir de gros débits ce qui nous a initialement conduit à envisager un débit de 5 m³/h par forage. Cependant, ce choix aurait nécessité un grand nombre de forages, ce qui engendrerait des coûts élevés.

L'analyse des données relatives à des ouvrages similaires dans la commune révéler par l'Inventaire National des Ouvrages Hydrauliques (INO) a révélé des débits de forage pouvant atteindre 22 m³/h(MEEA/DGEP, 2023). En conséquence, un débit unitaire de 10 m³/h par forage a été retenu pour optimiser le nombre de forages nécessaires. Le temps de pompage prévu est de 16 heures par jour, réparties en 6 heures au fil du soleil et 10 heures avec l'électricité fournie par la SONABEL. La quantité d'eau à mobiliser pour couvrir la demande du jour de pointe est de 39,33m³/h. Le nombre de forages nécessaires est indiqué dans le Tableau 8.

Tableau 8 : Evaluation de la ressource en eau

| | | Nom | bres de f | orages à | ajouter | | | | |
|---------------------------------|---------------------|--------|----------------------------------|----------|---------|--------|--------|--------|--|
| Désignation | Unité | | Valeurs | | | | | | |
| Années horizons | Unité | 2025 | 2025 2030 2035 2040 2045 2050 20 | | | | | | |
| Populations (Pn) | [hbt] | 12446 | 14102 | 15979 | 18105 | 20514 | 23243 | 26336 | |
| Demande du jour de pointe (Djp) | [m ³ /j] | 163,57 | 277,91 | 324,66 | 399,95 | 466,38 | 543,40 | 629,28 | |
| Débit unitaire des Forage | [m ³ /h] | 5 | | | | | | | |
| Temps de pompage | [h] | | 16 | | | | | | |
| Nombre de Forage à mobiliser | U | 2 | 3 | 4 | 5 | 6 | 7 | 8 | |
| Débit unitaire des Forage | [m ³ /h] | 10 | | | | | | | |
| Temps de pompage | [h] | 16 | | | | | | | |
| Nombre de Forage à mobiliser | U | 1 | 2 | 2 | 2 | 3 | 3 | 4 | |

L'évolution du besoin en eau de la population implique une augmentation progressive du nombre de forages à mobiliser selon le débit unitaire. Avec un débit de 5 m³/h, le nombre de forages passe de 2 en 2025 à 8 en 2055, soit une croissance continue. En optant pour un débit de 10 m³/h, seuls 4 forages sont nécessaires pour 1'horizon du projet. Ce choix réduit significativement le nombre d'ouvrages à réaliser, optimisant les coûts et la gestion. Le Tableau 9 présente la localisation et les caractéristiques des forages projetés.

Tableau 9 : Localisation et caractéristiques des forages

| | Coordor | nnées UTM | | | | | | |
|-------------|-----------|-----------|--------|------------|------------|----------------|-----------|--|
| Désignation | | | | Altération | Profondeur | Débit | Hauteur | |
| | Longitude | Latitude | Cote | | Maximale | d'exploitation | Dynamique | |
| | | TN | | | [m] | $[m^3/h]$ | [m] | |
| Forage 1 | 672905 | 1349368 | 316,83 | 25 | 90 | 10 | 70 | |
| Forage 2 | 674380 | 1346899 | 306,54 | 17 | 120 | 10 | 115 | |

Les points de sondage SE1 et SE2 issue des travaux géophysiques ont été retenue pour l'approvisionnement en eau. Etant donné que les deux forages n'ont pas encore été réaliser un niveau dynamique de 50 m sera considérer pour les deux forages.

V.2 DETERMINATION DE LA CAPACITE DU RESERVOIR

V.2.1 Capacité utile du réservoir

Le réservoir joue un rôle de tampon entre l'adduction et la distribution. Il permet d'assurer la sécurité d'approvisionnement et de faciliter le traitement. Dans notre étude, le réservoir a été dimensionné par la méthode forfaitaire qui consiste à calculer la capacité utile du réservoir en se référant aux valeurs forfaitaires de capacité de réservoir.

Tableau 10 : Caractéristique du réservoir d'eau

| CARACTERISTIC | QUES DU RESER | VOIR | |
|---------------------------------------|---------------|-----------|------------|
| Paramètres | Unités | X | Y |
| Coordonnées géographiques relevées | UTM | 672573,10 | 1349391,42 |
| Côte Terrain naturel du réservoir | m | 32 | 23,83 |
| Volume théorique du réservoir calculé | m^3 | 18 | 38,79 |
| Volume adopté pour le réservoir | m^3 | 20 | 00,00 |
| Hauteur de la Cuve du réservoir | m | | 6 |
| Diamètre de la cuve du réservoir | m | | 6,5 |
| Hauteur sous cuve du réservoir | m | | 12 |
| Cote du trop-plein du réservoir | m | 34 | 11,83 |

Avec un volume total d'environ 200m³, notre château d'eau Cylindro-Tronconique sera réalisé en béton armé. En effet, l'ONEA recommande l'utilisation de châteaux d'eau en béton armé pour les réservoirs d'un volume supérieur à 150 m³.

• Temps minimal de contact de l'eau avec le chlore et temps de séjour

Pour être efficace, le chlore nécessite un temps de contact minimum de 2 heures, avec une durée d'action maximale de 48 heures. Les résultats de cette vérification sont présentés dans le Tableau 12.

Tableau 11 : Temps de contact et temps de séjour

| | Temps de séj | our |
|-------------|---------------------|--------|
| Désignation | Unité | Valeur |
| Cu | [m ³] | 200,00 |
| Qmh | $[m^3/h]$ | 38,04 |
| $T_{\rm s}$ | [h] | 5,26 |
| | Temps de con | tact |
| Désignation | Unité | Valeur |
| Cu | [m ³] | 200 |
| Qph | [m ³ /h] | 95,11 |
| Tc | [h] | 2,10 |

Les résultats présentés dans le tableau 11 indiquent que le temps de séjour est de 3,55 heures, ce qui est bien inférieur à 48 heures, tandis que le temps de contact est de 2,10 heure, soit supérieur à 2 heures. Ces résultats montrent que le temps de séjour et le temps de contact respectent la norme.

V.2.2Traitement De L'eau

Le Tableau ci-dessous présente le débit d'injection ainsi que le volume du bac :

Tableau 12 : Débit d'injection et volume du bac

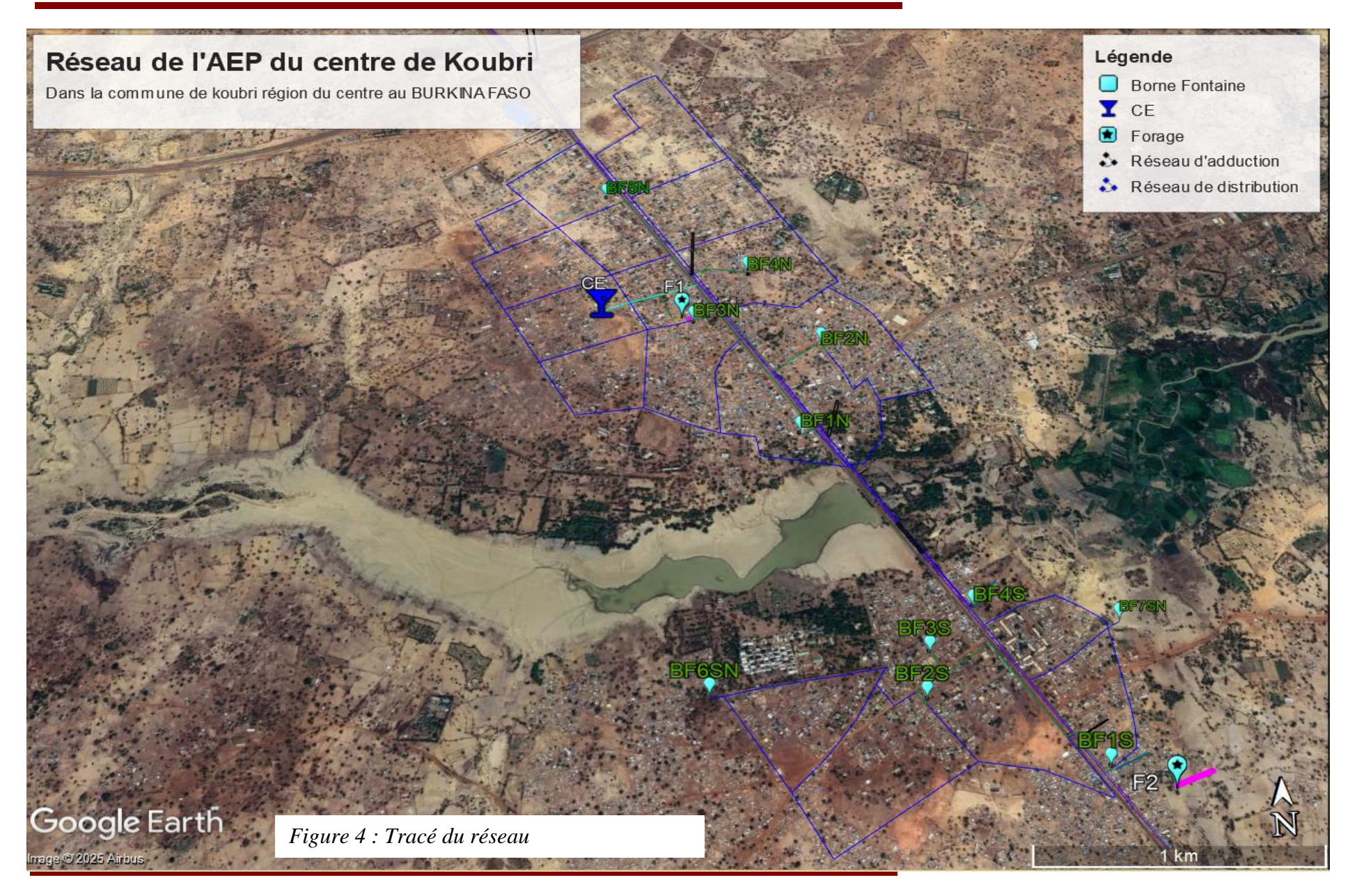
| | Traitement | | | | | | | | | |
|--------------------|------------|--------|--|--|--|--|--|--|--|--|
| Désignation | Unités | Valeur | | | | | | | | |
| Dose de traitement | mg/l | 1,5 | | | | | | | | |
| Q | m3/h | 39 | | | | | | | | |
| C | g/l | 5 | | | | | | | | |
| Tf | h | 16 | | | | | | | | |

| qinj | l/h | 12 |
|------|-----|-----|
| Vbac | 1 | 200 |

V.3 DIMENSIONNEMENT DU RESEAU AEP

V.3.1 Tracé du réseau

Comme indiqué précédemment, notre réseau de distribution est de type maillé. Le mode de distribution est gravitaire à partir d'un réservoir R ($Z_R = 323,83$ m). Cependant il a été placé de sorte à dominer le réseau et à assurer une pression de service minimale au point le plus défavorable. La pression de service à garantir est de 10 [m] en tous points du réseau. La partie distribution comporte au total 95 tronçons, totalisant un linéaire de 27 241 m. La partie maillée comporte un total de 20 mailles sur le réseau primaire et secondaire. La partie adduction comporte trois tronçons, partant de deux forages raccordées. Le linéaire total de ce réseau d'adduction est 3921,01m. Le réseau a été tracé sur la base du plan de lotissement du centre de Koubri et des études socio-économiques qui ont permis de positionner les points de desserte (BF) sur le terrain. Le réseau tel que proposé et retenu est illustré à la figure ci-contre :



V.3.2 Dimensionnement du réseau de distribution

Le réseau de distribution a été conçu pour répondre efficacement aux besoins en eau des populations, en s'appuyant sur des données techniques et des enquêtes socioéconomiques. Les populations ont participé au choix des emplacements des bornes fontaines et des branchements institutionnels. Les débits de dimensionnement ont été calculés à partir des débits transportés, initialement définis de manière arbitraire pour lancer l'opération de Hardy-Cross. Après 30 itérations, l'équilibre des charges a été atteint pour les 20 mailles du réseau. Les détails des débits et des résultats sont disponibles en annexe 2.

Les diamètres, les vitesses et les pressions sont récapitulés dans le tableau ci-dessous :

Tableau 13 : Tableau récapitulatif des diamètres, vitesses et pressions obtenus

| Tronçons | Longueur (m) | DN(mm) | Vitesse (m/s) | Pdisp (mCE) | Condition de pression |
|-----------|-----------------|--------|------------------|----------------|--------------------------|
| R - N1 | 163 | 250 | 0,70 | 16,43 | Bon |
| N3-N34 | 30 | 250 | 0,45 | 17,81 | Bon |
| N16-BF3N | 144 | 63 | 0,3 | 17,78 | Bon |
| N22-BF1N | 76 | 63 | 0,3 | 25,98 | Bon |
| N34-BF4N | 251 | 63 | 0,3 | 19,93 | Bon |
| N28-BF2N | 13 | 63 | 0,3 | 18,69 | Bon |
| N26-N44 | 767 | 250 | 0,25 | 26,05 | Bon |
| N44-BF4S | 9 | 63 | 0,3 | 26,53 | Bon |
| N47-BF5SN | 50 | 63 | 0,3 | 28,65 | Bon |
| N49-BF1S | 10 | 63 | 0,3 | 25,01 | Bon |
| N51-N52 | 34 | 140 | 0,47 | 24,08 | Bon |
| N62-BF3S | 105 | 63 | 0,3 | 20,51 | Bon |
| N61-BF2S | 24 | 63 | 0,3 | 18,54 | Bon |
| N57-BF6SN | 44 | 63 | 0,3 | 15,00 | Bon |
| N6-BF5N | 144 | 63 | 0,3 | 12,91 | Bon |
| N44-N45 | 89 | 140 | 0,73 | 24,59 | Bon |
| N1 - N2 | 311,4 | 200 | 0,69 | 17,70 | Bon |
| N1 - N15 | 173,63 | 110 | 0,41 | 16,90 | Bon |
| N15-N16 | 204,04 | 90 | 0,37 | 18,19 | Bon |
| N16-N25 | 127,7 | 63 | 0,40 | 17,83 | Bon |
| N1-N13 | 128,22 | 140 | 0,51 | 14,87 | Bon |
| N4-N3 | 141,06 | 90 | 0,32 | 17,33 | Bon |
| N13-N4 | 294,4 | 110 | 0,34 | 16,92 | Bon |

| N12-N13 | 509,4 | 63 | 0,28 | 13,78 | Bon |
|---------|--------|-----|-------|-------|-----|
| N15-N14 | 490,72 | 63 | 0,26 | 15,02 | Bon |
| N12-N10 | 443,1 | 63 | 0,01 | 10,00 | Bon |
| N13-N9 | 384,3 | 110 | 0,33 | 11,60 | Bon |
| N5-N4 | 403,6 | 63 | 0,25 | 14,09 | Bon |
| N9-N11 | 249,1 | 63 | 0,30 | 12,53 | Bon |
| N11-N8 | 561,7 | 63 | 0,15 | 14,30 | Bon |
| N8-N6 | 323 | 63 | 0,015 | 13,08 | Bon |
| N14-N17 | 325,5 | 63 | 0,17 | 18,17 | Bon |
| N17-N18 | 288,1 | 63 | 0,08 | 19,63 | Bon |
| N19-N24 | 539,3 | 63 | 0,20 | 17,83 | Bon |
| N18-N19 | 344,9 | 63 | 0,26 | 21,54 | Bon |
| N22-N24 | 562,2 | 63 | 0,32 | 21,52 | Bon |
| N20-N21 | 457,9 | 63 | 0,20 | 24,17 | Bon |
| N19-N20 | 146,1 | 63 | 0,3 | 22,38 | Bon |
| N36-N37 | 333,5 | 63 | 0,31 | 14,83 | Bon |
| N37-N38 | 283,4 | 63 | 0,21 | 16,35 | Bon |
| N38-N39 | 272,4 | 63 | 0,13 | 16,49 | Bon |
| N39-N40 | 256,9 | 63 | 0,04 | 17,57 | Bon |
| N40-N41 | 687,6 | 63 | 0,10 | 20,39 | Bon |
| N35-N36 | 403,5 | 110 | 0,26 | 14,34 | Bon |
| N41-N42 | 457,1 | 63 | 0,09 | 19,86 | Bon |
| N34-N35 | 131,65 | 140 | 0,47 | 16,11 | Bon |
| N42-N43 | 466,1 | 110 | 0,35 | 23,05 | Bon |
| N34-N33 | 261,71 | 110 | 0,89 | 17,13 | Bon |
| N43-N32 | 59,29 | 110 | 0,48 | 22,84 | Bon |
| N33-N27 | 393,91 | 140 | 0,62 | 18,63 | Bon |
| N28-N27 | 250 | 63 | 0,38 | 18,55 | Bon |
| N30-N29 | 217 | 63 | 0,07 | 24,48 | Bon |
| N30-N31 | 242,87 | 140 | 0,36 | 25,52 | Bon |
| N32-N31 | 716,4 | 140 | 0,39 | 27,11 | Bon |
| N30-N26 | 401,8 | 140 | 0,31 | 26,21 | Bon |
| N45-N46 | 265,2 | 110 | 0,70 | 14,52 | Bon |
| N46-N47 | 387,7 | 63 | 0,10 | 27,77 | Bon |
| N47-N48 | 484,5 | 110 | 0,24 | 26,37 | Bon |
| N48-N49 | 119,2 | 110 | 0,21 | 25,02 | Bon |
| N49-N50 | 31,87 | 90 | 0,16 | 24,77 | Bon |
| N50-N51 | 170,56 | 90 | 0,14 | 22,80 | Bon |

| N52-N64 | 434,7 | 110 | 0,36 | 20,93 | Bon |
|---------|--------|-----|------|-------|-----|
| N52-N53 | 255,72 | 110 | 0,38 | 28,45 | Bon |
| N53-N54 | 486,5 | 110 | 0,33 | 18,60 | Bon |
| N64-N62 | 211,5 | 110 | 0,33 | 20,03 | Bon |
| N61-N54 | 270,96 | 90 | 0,18 | 18,39 | Bon |
| N61-N60 | 59,23 | 63 | 0,03 | 18,68 | Bon |
| N60-N59 | 202,6 | 90 | 0,31 | 19,38 | Bon |
| N54-N55 | 638 | 90 | 0,30 | 18,47 | Bon |
| N55-N56 | 270,4 | 63 | 0,26 | 15,36 | Bon |
| N59-N58 | 83,47 | 63 | 0,33 | 19,51 | Bon |
| N56-N57 | 431 | 63 | 0,23 | 15,69 | Bon |

La pression maximale est de 28,65 m et la pression minimale est de 10 m. La vitesse maximale est de 0,89 m/s tandis que la vitesse minimale est de 0,01 m/s. Le respect des conditions de pression permet de garantir l'acheminement de l'eau jusqu'aux points de desserte, assurant ainsi la continuité du service et la satisfaction des besoins en eau des usagers, malgré des vitesses non optimales.

Concernant les tronçons ayant des vitesses d'écoulement trop faibles, nous recommandons la mise en place de purges régulières. Cette mesure permettra d'éliminer efficacement les dépôts et de renouveler l'eau, contribuant ainsi à améliorer la qualité de l'eau et les performances du réseau.

• Nombre de bornes Fontaines

Il est retenu quinze (11) bornes fontaines. Nous garderons les cinq (05) bornes fontaines existantes a Koubri Nord et nous ajouterons deux (02) bornes fontaines dans Koubri Sud à cause de la taille de population qu'elle possède. Nous trouvons un débit théorique de 0,58 l/s. Ce débit théorique permet de faire le choix d'un nombre spécifique de robinets, selon le modèle de l'ONEA. En effet, les Bornes Fontaines (BF) installées par l'ONEA sont équipées de trois robinets de puisage de 0,25 l/s chacun, permettant un débit total de 0,75 l/s par borne. Cette configuration vise à minimiser les conflits et à optimiser la gestion des ouvrages hydrauliques. Les coordonnés des bornes fontaines sont renseignées dans le tableau ci-dessous.

Tableau 14: Localisation des bornes fontaines

| Zones | Secteurs | Bornes fontaines | Coordonnée GPS |
|-------------|-----------|------------------|----------------|
| | Secteur 1 | | X: 674321,90 |
| | | BF1S | Y:1347217,65 |
| | | | X: 672932 |
| | | BF6SN | Y:1347555,28 |
| | Secteur 2 | BF3S | X: 673755,33 |
| Koubri Sud | | | Y:1347696,49 |
| | | BF4S | X: 673942,61 |
| | | | Y:1347885,47 |
| | Secteur 3 | BF2S | X: 673716,32 |
| | | | Y:1347508,20 |
| | | BF5SN | X : 674485,82 |
| | | | Y: 1347788,14 |
| | Secteur 4 | BF1N | X:673375,38 |
| | | | Y:1348708,42 |
| | | | X: 672973,76 |
| W 1 1 1 1 1 | | BF3N | Y: 1349345,18 |
| Koubri Nord | | BF5N | X : 672611,66 |
| | | | Y: 1350117,72 |
| | Secteur 5 | BF2N | X : 673512,97 |
| | | | Y: 1349181 |
| | | BF4N | X : 673231,92 |
| | | | Y:1349623,33 |

V.3.3 Dimensionnement du réseau d'adduction

Dans ce projet, l'eau sera transférée des forages au réservoir à l'aide de deux pompes, suivant un système d'adduction par refoulement. Les conduites utilisées seront dimensionnées en tenant compte des exigences techniques et économiques. Le calcul des diamètres économiques, synthétisé dans un tableau, résulte d'un compromis entre plusieurs méthodes (Bresse, Bresse modifiée, Munier et Bedjaoui), en privilégiant la solution la plus économique répondant aux conditions de Flamant. Les pertes de charge, la hauteur manométrique totale (HMT) développée par chaque pompe, ainsi que la nécessité d'une protection anti-bélier, ont également été évaluées et présentées en tableau.

Tableau 15 : Diamètre économique

| | Diamètre théorique de refoulement | | | | | | | | | | | |
|----------|-----------------------------------|-------------|----------------|-----------------|----------------|-------------|-------------------|-------------|-------------|--------------|------------------|------------|
| | | | | | | Bresse | Bresse modifié | Bedjaoui | Munier | | | |
| Tronçons | Lref (m) | Q (m3/h) | Dth_Exh (m) | Dret_Exh (m) | Dth_Col (m) | Dret (m) | Dret (m) | Dret (m) | Dret (m) | Dref_ret (m) | PN 16 DN/Dint | Uref (m/s) |
| F1-A | 246,55 | 10 | 0,042 | 0,0514 | | 0,09 | 0,1308 | 0,0820 | 0,0736 | 0,0936 | 90/73,6 | 0,65 |
| F2-A | 3356,61 | 10 | 0,042 | 0,0514 | | 0,09 | 0,1308 | 0,0820 | 0,0736 | 0,0936 | 90/73,6 | 0,65 |
| A-CE | 317,35 | 20 | | | 0,09 | 0,1308 | 0,1308 | 0,1159 | 0,1308 | 0,1362 | 160/130,8 | 0,41 |

[«] A » représente le point de raccordement entre les deux forages. Les conditions de vitesses et de flamant sont vérifiées.

Tableau 16 : Calcul de la Hauteur Manométrique Total

| Tronçons | L ref [m] | Q [m ³ /h] | DH [m] | S DH [m] ref | ND [m] | Hg [m] | Cote TF | L exh [m] | F exh [m] | DHex [m] | HMT [m] |
|----------|--------------|--------------------------|-----------|--------------|--------|--------|------------|--------------|--------------|-------------|------------|
| A-CE | 317,4 | 20 | 0,46 | 0,46 | | | 341,83 | | | | |
| F1-A | 247 | 10 | 1,65 | 2,11 | 266,83 | 75 | 316,83 | 60,00 | 0,051 | 2,27 | 79,38 |
| F2-A | 3357 | 10 | 22,42 | 22,88 | 256,54 | 85,29 | 306,54 | 60,00 | 0,051 | 2,27 | 110,44 |

V.3.4 Choix de la pompe immergée et point de fonctionnement

• Choix de la pompe immergée

Le choix de la pompe est fait sur la base des caractéristiques du forage et de la cote de calage du château d'eau. Les paramètres essentiels pris en compte sont la Hauteur Manométrique Totale (HMT) et du débit d'exploitation du forage. Le calcul de la HMT est résumé dans le Tableau 17.

Tableau 17 : Caractéristique des pompes

| | CARACTERISTIQUE DE LA POMPE 1 | | | | | | | | | | |
|-----------|-------------------------------|-------|----------------|---------------|-----------|-----------|------|------|------------|-----------|------|
| Туре | Q (m ³ /h) | | Type moteur | N (tr/min) | U (V) | ηр (%) | | 10 | Pt (kW) | In (A) | cosφ |
| SPE 18-12 | 10 | 79,38 | PM | 2412 | 3*350-400 | 72,3 | 83,1 | 60,1 | 3,592 | 16,6 | 0,8 |

| | CARACTERISTIQUE DE LA POMPE 2 | | | | | | | | | | | | |
|--------------------------|-------------------------------|------------|----------------|---------------|-----------|------|-----------------------|-----------|------------|-----------|------|--|--|
| Туре SPE 18-17 | | HMT (m) | Type moteur | N (tr/min) | U (V) | 11 | η _Μ (%) | ηg (%) | Pt (kW) | In (A) | cosφ | | |
| SI E 10-17 | 10 | 110,44 | PM | 2391 | 3*350-400 | 72,6 | | 60,9 | 4,926 | 25 | 0,8 | | |

• Point de fonctionnement de la pompe

Le point de fonctionnement définit les conditions optimales de refoulement. Les données du tableau ci-dessous ont été utilisées pour le déterminer, et il est représenté sur la figure 5.

Tableau 18 : Données de détermination du point de fonctionnement

| CARACTERISTIQUES DE LA POMPE DE F1 ; SPE18-12 | | | | | | | | | | | | |
|---|--------|--------|--------|--------|--------|--------------|--------|---------|--------|--------|--|--|
| Q [m ³ /h] | 0 | 1 | 2 | 3 | 4 | 5 | 6 | 8 | 10 | 12 | | |
| HMT [m] | 95 | 94,79 | 93,58 | 92,5 | 90 | 89 | 87,86 | 85 | 79,39 | 73 | | |
| ΔH_{F1_P} | 0,00 | 0,07 | 0,22 | 0,46 | 0,76 | 1,13 | 1,57 | 2,62 | 3,92 | 5,45 | | |
| HMTmod [m] | 361,8 | 361,6 | 360,2 | 358,9 | 356,1 | 354,7 | 353,1 | 349,2 | 342,3 | 334,4 | | |
| HMT P1 [m] | 362,0 | 361,8 | 360,6 | 359,5 | 357,0 | 356,0 | 354,9 | 352,0 | 346,4 | 340,0 | | |
| CARACTERISTIQUES DE LA POMPE DE F2 ; SPE18-17 | | | | | | | | | | | | |
| Q [m ³ /h] | 0 | 1 | 2 | 3 | 4 | 5 | 6 | 8 | 10 | 12 | | |
| HMT [m] | 129,3 | 128 | 128,45 | 127,42 | 125,87 | 124,85 | 122,78 | 119,2 | 110,4 | 104,24 | | |
| ΔH_{F2_P} | 0,00 | 0,43 | 1,44 | 2,92 | 4,84 | 7,18 | 9,95 | 16,65 | 24,79 | 34,37 | | |
| HMTmod [m] | 385,84 | 384,11 | 383,55 | 381,04 | 377,57 | 374,21 | 369,37 | 359,09 | 342,15 | 326,41 | | |
| HMT P2 [m] | 385,84 | 384,54 | 384,99 | 383,96 | 382,41 | 381,39 | 379,32 | 375,74 | 366,94 | 360,78 | | |
| | | • | COND | UITE P | _RESER | VOIR | • | | | | | |
| Q [m ³ /h] | 0 | 2 | 4 | 6 | 8 | 10 | 12 | 16 | 20 | 24 | | |
| ΔΗ Ε_A _P | 0,0 | 0,0 | 0,0 | 0,0 | 0,0 | 0,1 | 0,1 | 0,2 | 0,3 | 0,4 | | |
| $\Delta H_{P_R\acute{e}s}$ | 341,8 | 341,8 | 341,8 | 341,9 | 341,9 | 341,9 | 341,9 | 342,0 | 342,1 | 342,2 | | |
| | | .4 | RESUI | TANTE | DES PO | OMPES | , | | · | • | | |
| HMT [m] | 385,8 | 384,1 | 383,6 | 381,0 | 377,6 | 374,2 | 369,4 | 359,1 | 342,2 | 326,4 | | |
| Q [m ³ /h] | 0 | 1 | 2 | 5,75 | 8,09 | 10,10 | 12,21 | 15,79 | 20,07 | 23,99 | | |

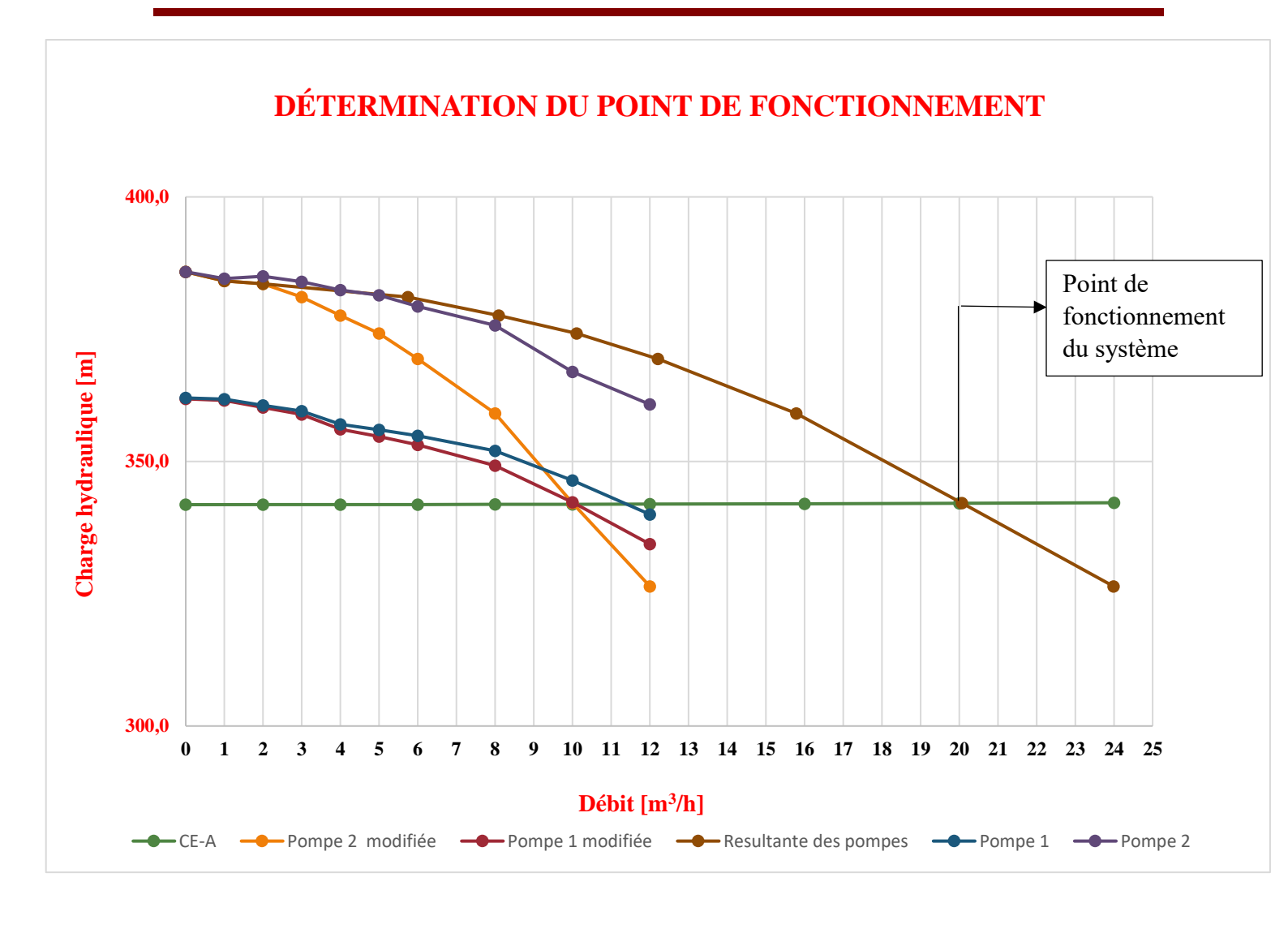


Figure 5 : Point de fonctionnement du système de pompage

Au point de fonctionnement de notre système de pompage, les caractéristiques sont les suivantes :

- Pour la pompe 1 : un débit de 10 m³/h et une HMT de 79,70 m.
- Pour la pompe 2 : un débit de 10,07 m³/h et une HMT de 110,8 m.

Le débit au point de fonctionnement est de 20,07 m³/h.

V.3.5 Simulation du réseau de refoulement sur Epanet

Le logiciel EPANET a été utilisé pour simuler le comportement hydraulique du réseau de refoulement, en vue de vérifier la cohérence de l'écoulement dans les différentes sections. Les

diamètres économiques ont été intégrés dans le logiciel EPANET ainsi que les différentes HMT des deux pompes choisies.

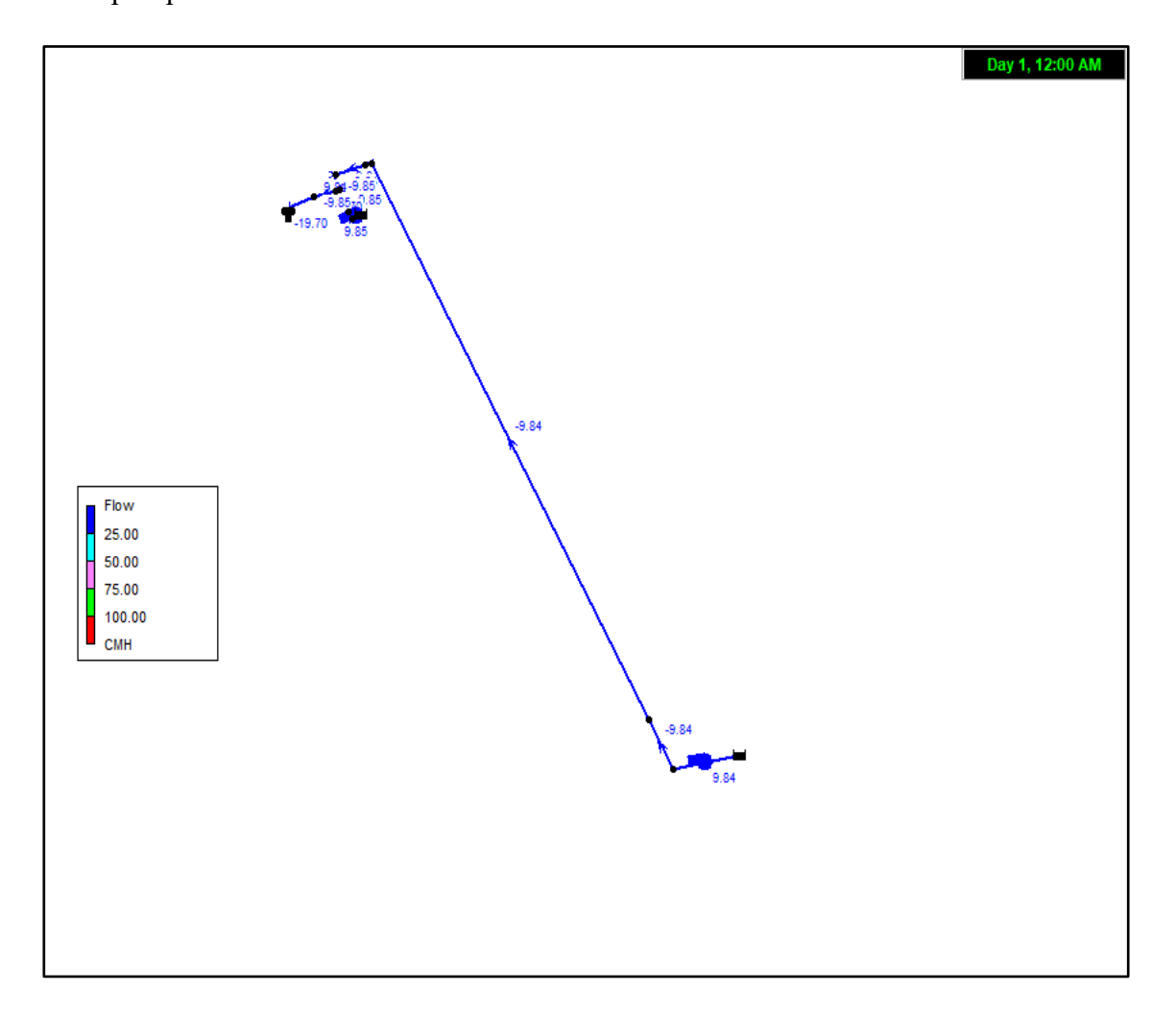


Figure 6: Simulation du réseau de refoulement dans le logiciel Epanet

A l'issu de la simulation du réseau de refoulement sur le logiciel Epanet au point de fonctionnement de notre système de pompage, les caractéristiques sont les suivantes :

- Pour la pompe 1 : un débit de 9,85 m³/h et une HMT de 79,80 m.
- Pour la pompe 2 : un débit de 9,84 m³/h et une HMT de 111,09 m.

Le débit au point de fonctionnement est de 19,70 m³/h.

En conclusion, nous remarquons une grande similitude entre les valeurs calculées et les valeurs simulée d'où un écart de 0,37 m³/h pour les débits au point de fonctionnement. Les valeurs obtenues sur le logiciel EPANET seront utilisé pour la suite de l'étude.

V.4 ETUDE DES COUPS DE BELIER ET MODE DE POSE DES CONDUITES

• Etude des coups de bélier

Tableau 19 : Vérification du coup de bélier

| Tronçon | DN | Dint | U0 | С | HMT | ΔΡ | ΗΜΤ+ΔΡ- | Hmax/PN | HMT- | Hmin/Patm |
|---------|------|--------|-------|--------|--------|-------|---------|---------|-------|-----------|
| | (m) | (m) | (m/s) | (m/s) | (m) | (m) | ND | | ΔP- | |
| | | | | | | | (m) | | ND | |
| | | | | | | | | | (m) | |
| A-CE | 0,16 | 0,0736 | 0,41 | 433,69 | | 18,28 | | | | |
| F1-A | 0,09 | 0,0736 | 0,65 | 433,33 | 79,80 | 28,84 | 58,64 | 0,37 | 0,96 | 0,09 |
| F2-A | 0,09 | 0,1308 | 0,65 | 433,33 | 111,09 | 28,84 | 89,93 | 0,56 | 32,25 | 3,12 |

La vérification montre que Hmax/PN est inférieur à 1,2 et que Hmin/Patm est supérieur à 0. Cela indique que le coup de bélier n'est pas préjudiciable car il n'y a pas de risques de surpression et de dépression rendant ainsi une protection anti-bélier non nécessaire. Toutefois, des ventouses pourraient être installées sur la conduite de refoulement afin d'évacuer l'air.

• Mode de pose des conduites

Les largeurs et profondeurs minimales de fouille pour les conduites ainsi que les volumes de déblai sont récapitulés dans les tableau 20.

Tableau 20: Mode de pose des conduites et Volumes des déblais

| | Mode de pose d | es conduites | | | |
|-----------|----------------|----------------|------------------|--------------------|--|
| | Valeurs calcul | lées | Valeurs retenues | | |
| DN (mm) | Largeur (m) | Profondeur (m) | Largeur (cm) | Profondeur (cm) | |
| 250 | 0,65 | 1,05 | 70 | 100 | |
| 200 | 0,6 | 1 | 60 | 100 | |
| 160 | 0,56 | 0,96 | 60 | 100 | |
| 140 | 0,54 | 0,94 | 60 | 100 | |
| 110 | 0,51 | 0,91 | 60 | 95 | |
| 90 | 0,49 | 0,89 | 50 | 90 | |
| 63 | 0,463 | 0,863 | 50 | 90 | |
| | Volume des | déblais | | | |
| Conduites | DN[m] | Longueur [m] | Volume | [m ³] | |
| PVC PN10 | 63 | 15 074,60 | 678 357,0 | 00 | |
| PVC PN10 | 90 | 1 977,60 | 88 991,60 | | |
| PVC PN10 | 110 | 5 380,10 | 306 662,9 | 90 | |
| PVC PN10 | 140 | 3 462,50 | 207 750,60 | | |

| PVC PN10 | 200 | 386,5 | 23 192,40 |
|--------------------|-----|---------|-------------|
| PVC PN10 | 250 | 959,6 | 67 172,70 |
| Total distribution | n | 27 241 | 1 372 127,1 |
| PEHD PN16 | 90 | 3603 | 216 189,6 |
| PEHD PN16 | 160 | 317 ,85 | 19 071 |
| Total refoulemen | ıt | 3921,01 | 235 260,6 |

V.5 SIMULATION DU RESEAU SUR EPANET ET COMPARAISON DES RESULTATS

V.5.1 Simulation du réseau sur EPANET

EPANET est un logiciel utilisé pour simuler le comportement hydraulique des réseaux sous pression sur de longues périodes. Il permet une meilleure compréhension de l'écoulement dans le réseau de distribution. Afin de vérifier le bon fonctionnement de l'écoulement dans les différentes sections, notre réseau de distribution et les diamètres obtenu à la dernière itération ont été importé dans le logiciel.

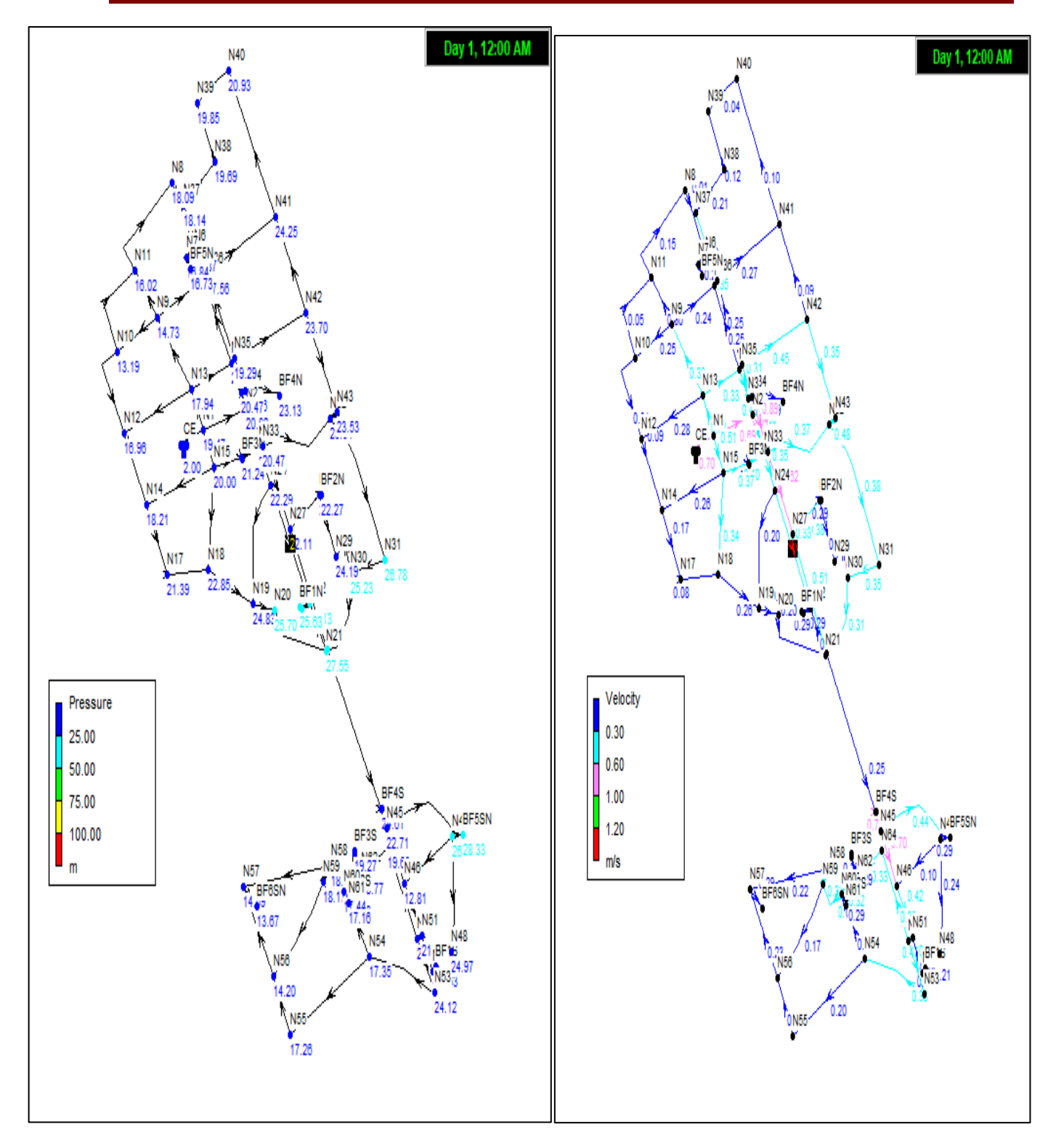


Figure 7: Rapports de simulation des pressions et vitesses du réseau sur Epanet

V.5.2 Comparaison Des Résultats

a) Comparaison des pressions calculées et simulées

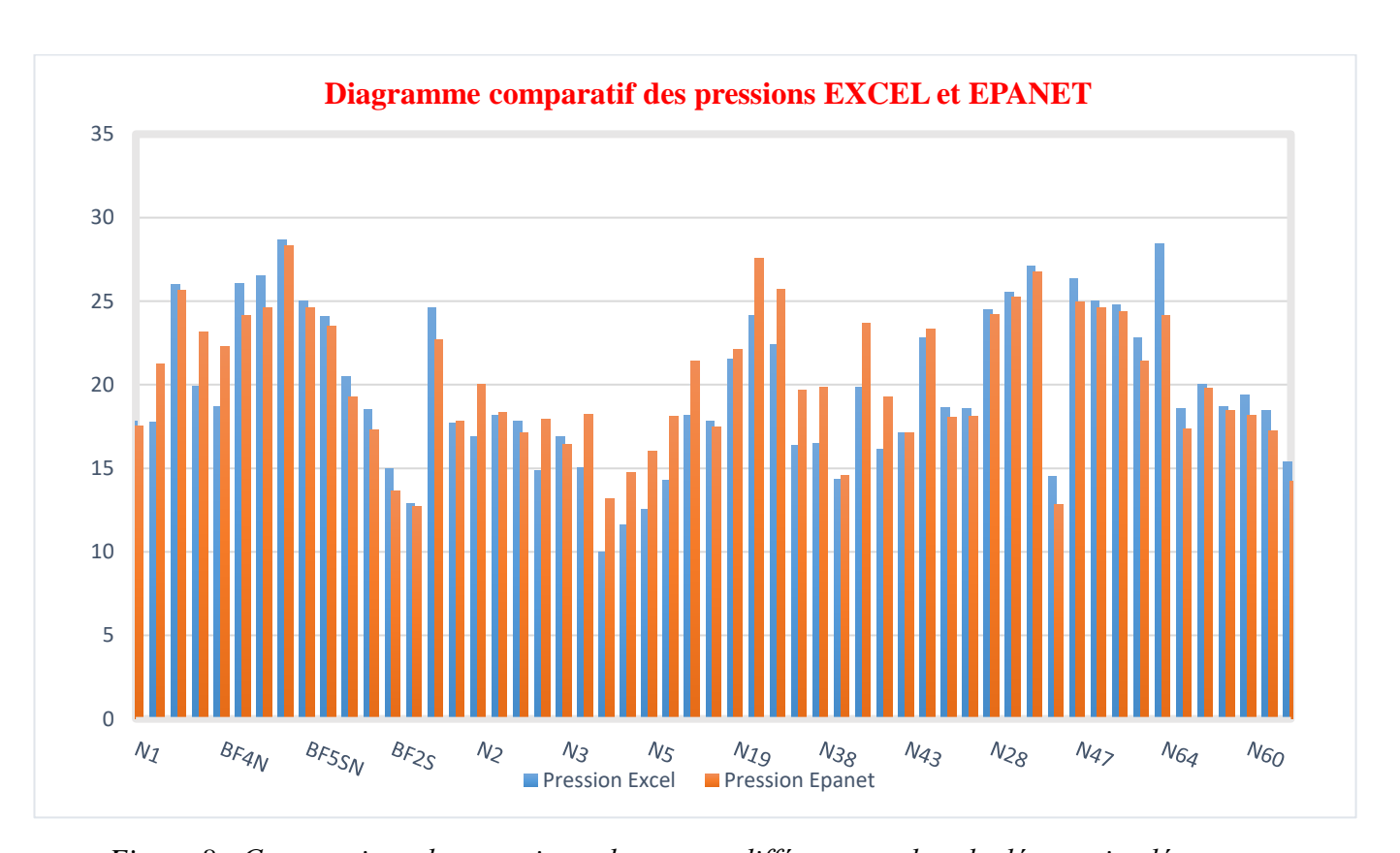


Figure 8 : Comparaison des pressions obtenu aux différent nœuds calculées et simulées

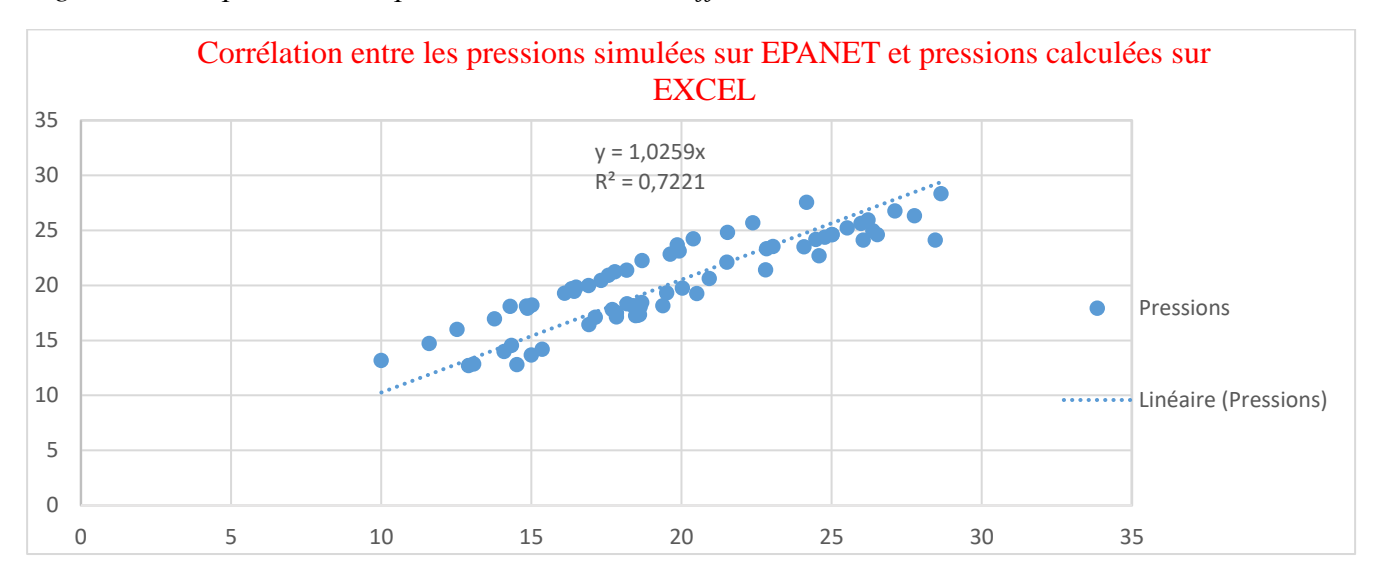


Figure 9 : Corrélation entre les pressions calculées et simulée

Le graphique montre une forte corrélation linéaire positive (R² = 0,7221) entre les pressions calculées (Excel) et simulées (EPANET), ces dernières étant généralement légèrement

supérieures. Les écarts observés, incluant des valeurs faibles sur Excel et élevées sur EPANET, résultent probablement de divergences dans les hypothèses de calcul, les précisions numériques et les paramètres employés par les deux outils, en particulier dans le calcul des pertes de charge et les approximations des résultats. Malgré ces petites différences, les deux séries de pressions sont fortement liées et très proches. La pression maximale sur Excel est de 28,65 m et la pression minimale est de 10 m; tandis que la pression maximale sur Epanet est de 28,33 m et la pression minimale est de 12,81 m.

b) Comparaison des vitesses calculée et simulées

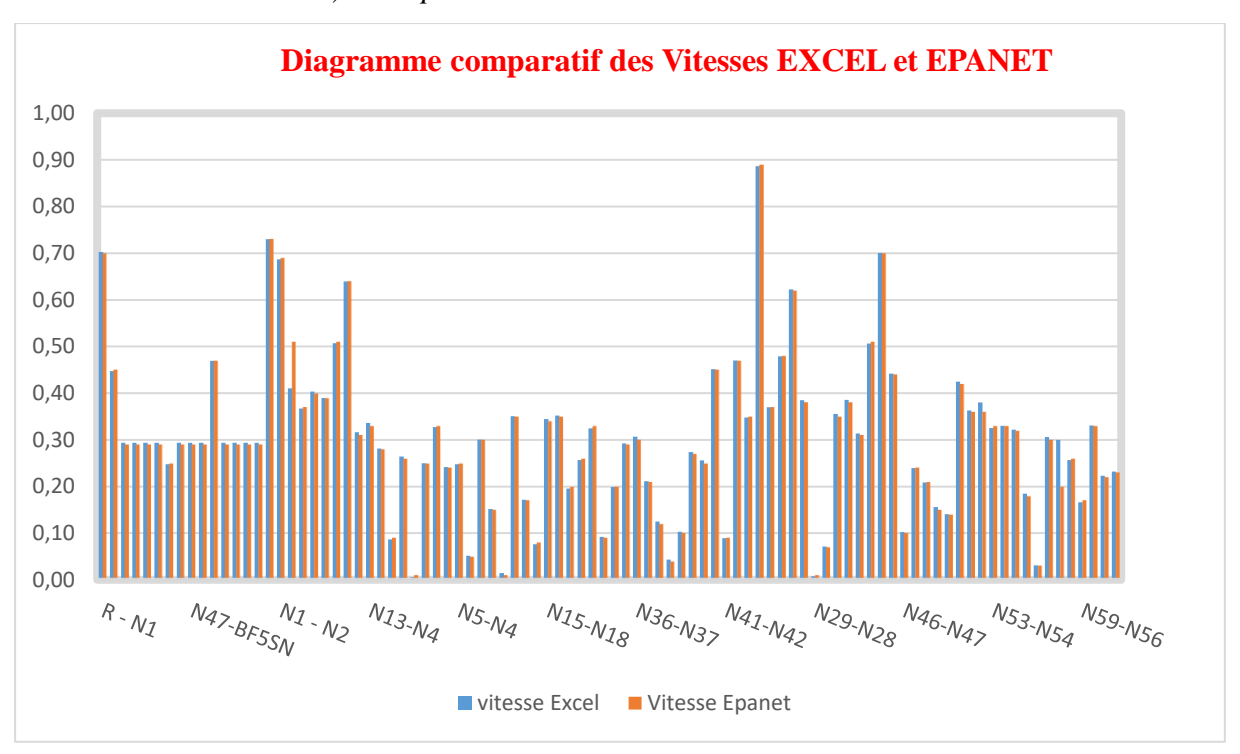


Figure 10 : Comparaison des vitesses calculées et simulées sur Epanet

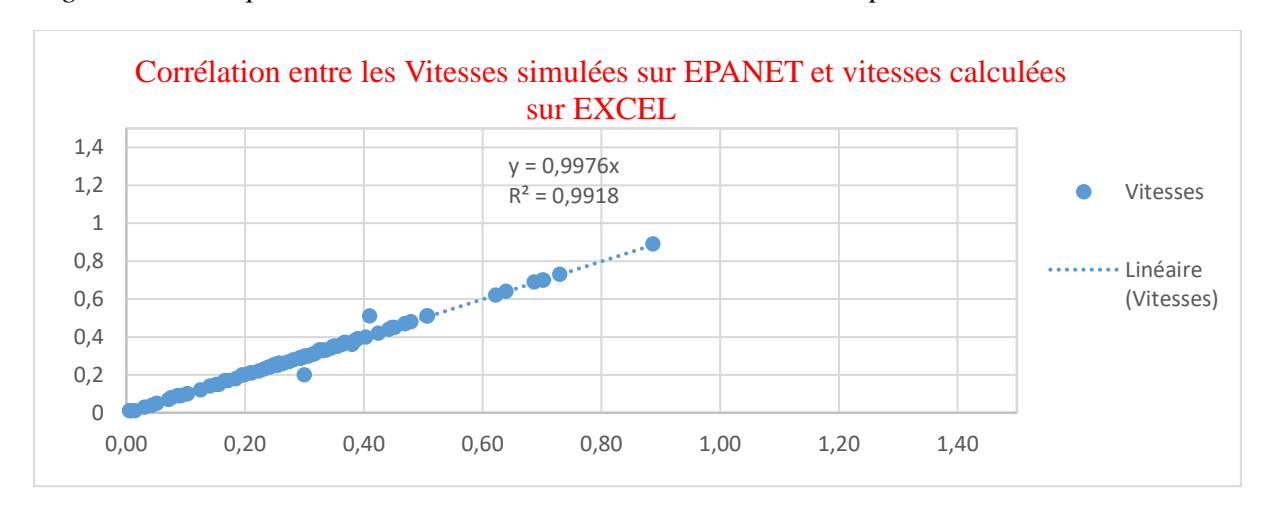


Figure 11: Corrélation entre les vitesses calculées et simulée

Dans l'ensemble, les vitesses simulées par EPANET et celles calculées dans Excel sont généralement proches. Le coefficient de corrélation entre les vitesses calculées et simulées sur Epanet étant proche de 1, nous en déduisons que les deux séries de valeurs sont fortement liées et très proches l'une de l'autre.

V.6 RESULTAT DU DIMENSIONNEMENT DE LA SOURCE D'ENERGIE

V.6.1 Dimensionnement du groupe électrogène

Le dimensionnement du groupe électrogène a été réalisé en tenant compte des spécifications techniques de la pompe.

❖ Forage 1

Tableau 21 : Caractéristiques et choix du groupe électrogène pour forage 1

| Pt (KW) | cosj | hp (%) | h _M (%) | (V) | In (A) | Papp (KVA) | | |
|-----------------------------|--------------------|--------------|--------------------|--------|--------|---------------|--|--|
| 3,62 | 0,8 | 72,3 | 83,1 | 400 | 6,48 | 18 | | |
| Caract | éristiques du groi | upe électrog | ène cho | isie | | | | |
| Model groupe | Grou | pe électrogé | ène FG | Wilson | P22-6 | | | |
| Fréquence | | 50H | Iz/60Hz | | | | | |
| Puissance | | 1 | 8KW | | | | | |
| | | 2: | 2kVA | | | | | |
| Modèle de moteur | | Perkins | 404D-2 | 22G | | | | |
| Modèle alternateur | | FGl | L 10060 | | | | | |
| Consommation l/h | | | 5,9 | | | | | |
| Poids (kg) | 385 | | | | | | | |
| Dimension L*W*H (mm) | 1550*620*1020 | | | | | | | |
| Capacité du reservoir(l) 71 | | | | | | | | |

❖ Forage 2

Tableau 22 : Caractéristiques et choix du groupe électrogène pour forage 2

| Pt (KW) | cosj | hp (%) | h _M (%) | U (V) | In (A) | Papp (KVA) | |
|--------------|-----------------------|-----------|--------------------|----------|-----------|---------------|--|
| 4,96 | 0,8 | 72,6 | 84 | 400 | 8,89 | 24,63 | |
| Caractér | istiques du groupe él | lectrogè | ene choi | sie | , | | |
| Model groupe | Groupe é | lectrogè | ne FG | Wilson 1 | P22-6 | | |
| Fréquence | | 50F | Iz/60Hz | | | | |
| Puissance | 20KW | | | | | | |
| | | 2: | 5kVA | | | | |

| Type de moteur | Perkins 404D-22G |
|--------------------------|------------------|
| Modèle alternateur | FGL 10060 |
| Consommation l/h | 6,4 |
| Poids (kg) | 385 |
| Dimension L*W*H (mm) | 1550*620*1020 |
| Capacité du reservoir(l) | 71 |

V.6.2 Dimensionnement du système solaire

Les résultats liés au dimensionnement de l'énergie solaire sont synthétisés dans le tableau 23.

❖ Forage 1

Tableau 23 : Caractéristiques du générateur solaire pour le forage 1 et de l'onduleur

| P _H (KW) | Pabs (KW) | Pm (KW) | Pc (kWc) | Nmodule (U) | Nmodule_serie (U) | Nmodule- derivation (U) | In calculé (A) | | |
|---------------------|--------------------|--------------|--------------|----------------|----------------------|-------------------------------|-------------------|--|--|
| 2,17 | 3,01 | 3,62 | 5,12 | 20,47 | 2 | 10,24 | 6,48 | | |
| | | (| Caractéristi | ques de l'ond | luleur | | | | |
| Pt | Coef de correction | hp | Pond | Pond | | | | | |
| (KW) | (U) | (%) | (KVA) | (KW) | | | | | |
| 3,62 | 1,05 | 72,3 | 7 | 5,22 | | | | | |
| | | | Onduleu | r adapté cho | isi | . | ~ | | |
| | Ту | pe | | | RSI | | | | |
| | Puissance no | minale (KW) |) | 5,5 | | | | | |
| | Tension no | minale (V) | | 3x380-440 | | | | | |
| | Tension d'en | trée DC (V) | | 800 | | | | | |
| | Fréquence (Hz) | | | | 50/60 | | | | |
| Ten | sion nominale | de sortie A0 | C (V) | | 380 | | | | |
| Coı | ırant nominale | de sortie A0 | C (A) | 12 | | | | | |

Le champ solaire est composé de 22 modules monocristallins de 250 Wc, organisés en 2 modules montés en série et 11 modules montées en parallèle.

❖ Forage 2

Tableau 24: Caractéristiques du générateur solaire pour le forage 2 et de l'onduleur

| PH | Pm | Pc | Nmodule | Nmodule_serie | Nmodule- | In calculé (A) |
|------|------|-------|---------|---------------|------------|----------------|
| (KW) | (KW) | (kWc) | (U) | (U) | derivation | |
| | | | | | (U) | |

| 3,03 | 4,96 | 7,02 | 28,08 | 2 | 14,04 | 8,89 | | |
|-----------------------------------|----------------|-----------|-------------|--------------------|-----------|------|--|--|
| Caractéristiques de l'onduleur | | | | | | | | |
| Pt (KW) | Coef de | hp | Pond | Pond | | | | |
| | correction | (%) | (KVA) | (KW) | | | | |
| | K (U) | | | | | | | |
| 4,96 | 1,05 | 72,6 | 9 | 7,12 | | | | |
| | | L | Ondu | leur adapté choisi | i | | | |
| Type | | | | | RSI | | | |
| Puissance r | nominale (KW | () | | | 7,5 | | | |
| Tension no | minale (V) | | | | 3x380-440 | | | |
| Tension d'e | entrée DC (V) | | | 800 | | | | |
| Fréquence (Hz) | | | | 50/60 | | | | |
| Tension nominale de sortie AC (V) | | | | 380 | | | | |
| Courant no | minale de sort | ie AC (A) | | | 23 | | | |

Le champ solaire est composé de 28 modules monocristallins de 250 Wc, organisés en 2 modules montés en série et 14 modules montées en parallèle.

V.7 EQUIPEMENT ANNEXES

Tableau 25: Equipements annexes

| Référence | Éléments | Fonction principale | Caractéristiques techniques |
|-----------|----------------------------|--|--|
| V.7.1 | Vannes de sectionnement | Isoler une partie du réseau pour maintenance, réguler l'écoulement | Vannes sous bouche à clé, en fonte, de diamètre adapté à la conduite, protégées par un massif en béton avec couvercle en fonte |
| V.7.2 | Ventouses | Évacuation, entrée et purge d'air dans les canalisations | Type une ou deux boules, DN ≥ 40, sans robinet, corps en fonte, flotteurs recouverts de caoutchouc |
| V.7.3 | Ouvrages de vidange | Nettoyage des canalisations par évacuation de l'eau | Raccordement par té + réduction ou coude PVC (en bout de réseau) |

| V.7.4 | Clapets anti- | Empêcher le retour de l'eau | Installés sur le réseau AEP pour bloquer |
|-------|----------------------------|--|--|
| | retour | vers la pompe | le refoulement |
| V.7.5 | Bornes de signalisation | Permettre la localisation du tracé de la conduite enterrée | Bornes en béton, confectionnées et posées par l'entreprise |
| V.7.6 | Ouvrages de génie civil | Support des infrastructures de surface et techniques | Comprend un local technique, un abri pour bornes fontaines, et des supports pour modules photovoltaïques |

VI.ETUDE FINANCIERE

VI.1 ETUDE DU COUT DU PROJET

L'évaluation des coûts de construction a été effectuée à partir des bordereaux de prix unitaires(DGCMEF, 2025) et des prix sur le marché. Le coût total du projet est estimé à 620 775 525 FCFA hors taxes et à 732 515 120 FCFA toutes taxes comprises. La synthèse du devis est regroupée dans le Tableau 26, tandis que les détails des différents aspects sont disponibles en annexe 15.

Tableau 26 : Synthèse des investissements du projet

| | DEVIS GLOBAL | | | | | |
|------|--|----------------|--|--|--|--|
| No | DESIGNATION | MONTANT (FCFA) | | | | |
| Ι | FRAIS GENERAUX | 8 600 000 | | | | |
| II | OUVRAGE DE CAPTAGE | 26 200 000 | | | | |
| III | SYSTÈME DE POMPAGE | 82 000 000 | | | | |
| IV | REFOULMENT | 80 519 770 | | | | |
| V | CONFECTION EQUIPEMENT ET POSE DE CHÂTEAU D'EAU | 185 850 000 | | | | |
| VI | FOURNITURE ET POSE DES CANALISATION ET EQUIPEMENTS | 168 305 755 | | | | |
| | DE DISTRIBUTION | | | | | |
| VII | BORNES FONTAINES ET BRANCHEMENTS PARTICULIERS | 12 000 000 | | | | |
| VIII | OUVRAGES ANNEXES | 28 000 000 | | | | |
| IX | ESSAIS, DESINFECTION ET EPREUVE DU SYSTÈME | 23 300 000 | | | | |
| X | PRESTATIONS DIVERSES | 6 000 000 | | | | |
| TOTA | AL HT | 620 775 525 | | | | |
| TVA | | 111 739 595 | | | | |

| TOT | AL TTC | 732 515 120 | | | | | |
|------|--|----------------|--|--|--|--|--|
| | DEVIS Pour l'horizon 2040 | | | | | | |
| No | DESIGNATION | MONTANT (FCFA) | | | | | |
| I | FRAIS GENERAUX | 4 300 000 | | | | | |
| II | OUVRAGE DE CAPTAGE | 12 100 000 | | | | | |
| III | SYSTÈME DE POMPAGE | 41 000 000 | | | | | |
| IV | REFOULMENT | 40 127 385 | | | | | |
| V | CONFECTION EQUIPEMENT ET POSE DE CHÂTEAU D'EAU | 185 850 000 | | | | | |
| VI | FOURNITURE ET POSE DES CANALISATION ET EQUIPEMENTS DE DISTRIBUTION | 92 005 096 | | | | | |
| VII | BORNES FONTAINES ET BRANCHEMENTS PARTICULIERS | 8 000 000 | | | | | |
| VIII | OUVRAGES ANNEXES | 14 000 000 | | | | | |
| IX | ESSAIS, DESINFECTION ET EPREUVE DU SYSTÈME | 11 800 000 | | | | | |
| X | PRESTATIONS DIVERSES | 3 000 000 | | | | | |
| TOTA | AL HT | 412 182 481 | | | | | |
| TVA | | 74 192 847 | | | | | |
| TOT | AL TTC | 486 375 328 | | | | | |
| | DEVIS à compléter pour 2055 | | | | | | |
| No | DESIGNATION | MONTANT (FCFA) | | | | | |
| Ι | FRAIS GENERAUX | 4 300 000 | | | | | |
| II | OUVRAGE DE CAPTAGE | 14 100 000 | | | | | |
| III | SYSTÈME DE POMPAGE | 41 000 000 | | | | | |
| IV | REFOULMENT | 40 392 385 | | | | | |
| V | CONFECTION EQUIPEMENT ET POSE DE CHÂTEAU D'EAU | _ | | | | | |
| VI | FOURNITURE ET POSE DES CANALISATION ET EQUIPEMENTS DE DISTRIBUTION | 76 300 659 | | | | | |
| VII | BORNES FONTAINES ET BRANCHEMENTS PARTICULIERS | 4 000 000 | | | | | |
| VIII | OUVRAGES ANNEXES | 14 000 000 | | | | | |
| IX | ESSAIS, DESINFECTION ET EPREUVE DU SYSTÈME | 11 500 000 | | | | | |
| X | PRESTATIONS DIVERSES | 3 000 000 | | | | | |
| TOTA | AL HT | 208 593 044 | | | | | |

| TVA | 37 546 748 |
|-----------|-------------|
| TOTAL TTC | 246 139 792 |

VI.2 ESTIMATION DU PRIX DE VENTE DE L'EAU

❖ Dotation aux amortissements et charges d'exploitation

Les dotations sont établies en fonction des performances des équipements, tout en intégrant leur dépréciation progressive. L'amortissement annuel d'un actif est déterminé en divisant son coût d'acquisition par sa durée de vie théorique. Les charges fixes englobent les salaires du personnel. Les charges d'exploitation englobent les dépenses liées au fonctionnement du système, telles que l'achat de produits chimiques (galets de chlore), le carburant, la maintenance des équipements.

Tableau 27 : Amortissement et charge d'exploitation et Charges fixes

| Amortissement | | | | | | |
|--|-----------------------|-------------------|---------------------------|-------------------------|-----------|--|
| Désignation | Durée de vie (Ans) | Montant (FCFA) | Amortissement annuel | Amortissement 30 ans | Annuité | |
| Pompe immergée | 7 | 6 000 000 | 857 143 | 25 714 286 | 122 449 | |
| Groupe électrogène | 7 | 16 000 000 | 2 285 714 | 68 571 429 | 326 531 | |
| Ouvrages de génie civil | 15 | 260 825525 | 17 388 368 | 521 651 050 | 1 159 225 | |
| Système photovoltaïque | 5 | 7 500 000 | 1 500 000 | 45 000 000 | 300 000 | |
| Pièces spéciales | 5 | 10 000 000 | 2 000 000 | 60 000 000 | 400 000 | |
| Total amortissement annuel Total amortissement d'ici 2055 | | | 24 031 225 720 936 764 | | | |
| | r | | es Fixes | | | |
| Charges | Personnel | Montant annuel | | Montant total | | |
| Rémunération du chef de centre | 1 | 2 400 000 | | 72 000 000 | | |
| Rémunération des 2 gardiens | | 1 440 000 | 1 296 000 | | | |
| Rémunération des fontainiers | 11 | 7 920 000 | 237 600 000 | | | |
| Rémunération des plombiers | 4 | 1 920 000 | | 57 600 000 | | |

| Rémunération de l' électromécanicien | 1 | 600 000 | 18 000 000 |
|---|-----------------|----------|--------------|
| Montant total à | horizon du pı | ojet | 386 496 000 |
| | | | exploitation |
| Charges | Fréquence | Durée | Montant |
| d'exploitation | _ | (Par an) | |
| Entretien des conduites | Tous les 6 mois | 2 | 600 000 |
| Entretien du réservoir de stockage | Tous les 6 mois | 2 | 600 000 |
| Entretien du champs PV | Tous les 3 mois | 4 | 800 000 |
| Chloration[Kg] | 1 | 365 | 3 650 000 |
| Frais d'énergie (SONABEL)[j] | 31 | | 10 985 040 |
| Vidange | Tous les 6 mois | 2 | 100 000 |
| Montant total à annuel | FCFA | | 16 735 040 |
| Montant total à l'horizon du projet | FCFA | | 502 051 200 |

❖ Volume d'eau vendue à l'échéance du projet

Cette valeur représente le volume total d'eau commercialisé sur toute la durée du projet.

Tableau 28 : Volume d'eau vendue à l'échéance du projet

| Années | 2025 | 2030 | 2035 | 2040 | 2045 | 2050 | 2055 |
|--|--------|---------|---------|---------|---------|---------|-----------|
| Volume d'eau produit [m³] | 59 704 | 101 438 | 118 499 | 145 982 | 170 230 | 198 341 | 229 689 |
| Volume d'eau facturé [m³] | 49 321 | 83 797 | 97 891 | 114 247 | 133 223 | 155 223 | 179 756 |
| Volume d'eau total produit au cours du projet [m³] | | | | | | | 5 392 691 |

Calcul du prix de revient du m³

Au Burkina Faso, le tarif de l'eau est établi par un système de répartition des coûts, conçu pour couvrir les charges d'exploitation, les charges fixes et l'amortissement des investissements dont la durée de vie maximale est de 15 ans. Le prix du mètre cube d'eau est représenté dans le tableau suivant :

Tableau 29 : Prix de revient de l'eau

| Désignation | Montant [FCFA] |
|--------------------------|----------------|
| Amortissement | 720 936 764,3 |
| Charges fixes | 386 496 000 |
| Charges d'exploitation | 502 051 200 |
| Prix de revient de l'eau | 298 |
| Prix de revient retenu | 400 |

VI.3 ANALYSE DE LA RENTABILITE DU PROJET

L'analyse de la rentabilité financière portera sur l'année 2055, considérée comme l'option la plus vraisemblable.

Calcul des recettes

Les produits d'exploitation proviennent exclusivement de la vente de l'eau. Pour la première année, les recettes sont estimées à 20 504 300 de FCFA à la première année et de 78 834 300 FCFA à l'année de l'horizon du projet. Les détails de ce calcul sont présentés en annexe 16.

❖ Calcul de l'Excédent Brut d'Exploitation (EBE)

L'EBE correspond à la différence entre les produits et les charges d'exploitation. Il représente la capacité d'autofinancement du projet et sert de base au calcul des soldes de trésorerie prévisionnelle ainsi que des indicateurs de rentabilité tels que la VAN (Valeur Actuelle Nette) et le TRI (Taux de Rentabilité Interne).

La VAN est obtenue en cumulant les soldes de trésorerie prévisionnels actualisés à un taux d'intérêt fixe et défini à l'avance, en intégrant le montant des investissements initiaux. Elle est calculée à l'aide de la formule suivante :

| V 4 N = L ++ + | VAN : Valeur Actuel Nette | |
|--|---|------|
| $VAN = -F_0 + \frac{1}{(1+a)^2} + \frac{1}{(1+a)^2} + \dots + \frac{1}{(1+a)^n}$ | F ₀ : Flux de trésorerie de l'année initiale (investissement | (40) |
| | initial) | |
| | F _n : Flux d'investissement de l'année n | |
| | A: Taux d'actualisation (Retenue à 2%) | |
| | | |
| | | |

Pour la première année d'exploitation, l'EBE est estimé à -10 510 740 FCFA et un EBE de 47 819 260 FCFA à l'horizon du projet (voir annexe 17). Un EBE négatif en première année signifie que les charges d'exploitation sont supérieures aux recettes.

❖ Indicateurs de rentabilité financière

La rentabilité financière a été évaluée selon deux perspectives : celle de l'État et celle du fermier.

Les résultats obtenus montrent :

Une VAN de - 411 140 874 FCFA pour l'État à l'horizon du projet. Cette VAN négative indique que le projet n'est pas financièrement rentable pour l'État. Cela s'explique principalement par les investissements importants que l'État doit supporter et par une population bénéficiaire relativement modeste, ce qui limite les recettes générées par la vente d'eau. En d'autres termes, les flux de trésorerie futurs actualisés du projet ne couvrent pas les coûts initiaux pour l'Etat.

Une VAN de - 12 611 565 FCFA pour 1a première année et une VAN de 321 374 246 FCFA à l'horizon du projet pour le fermier, traduisant une rentabilité financière positive. C'est un signal très encourageant pour le fermier, car cela signifie que le projet peut lui apporter un bénéfice financier cumulé une fois qu'il sera bien établi. Les résultats détaillés figurent en annexe 17.

Au-delà de l'aspect financier, l'objectif principal de ce projet est d'améliorer les conditions de vie de la population du centre de Koubri en ce qui concerne l'accès à l'eau potable. Nous sommes convaincus que sa mise en œuvre résoudra les problématiques liées à l'accès à l'eau potable qui constitue un des axes majeurs du développement d'un pays.

VI.4 MODE DE GESTION

Plusieurs types de gestion existent pour les systèmes AEP, notamment la régie directe, la régie autonome, l'affermage et la concession(DGRE, 2019). Le mode de gestion choisi par le maître d'ouvrage était le mode de gestion par affermage. Nous soutenons cette approche car elle confie l'exploitation du service à un opérateur local, responsable du fonctionnement quotidien. Les investissements restent à la charge de la collectivité, qui perçoit une part des revenus issus des paiements des usagers pour alimenter un fonds dédié au renouvellement des infrastructures. Cependant, à travers les états des lieux nous avons pu constater une gestion inadéquate des ouvrages d'adduction en Eau Potable Simplifié (AEPS). Au regard de cela, nous proposons une amélioration de la gestion par affermage en :

- Renforçant la gouvernance et la transparence : Mettre à jour le contrat d'affermage, intégrer des indicateurs de performance, et créer un comité de suivi incluant les usagers.
- Optimisant la performance opérationnelle : Former régulièrement le personnel, utiliser des technologies modernes (compteurs intelligents, gestion numérique), et adopter un plan de maintenance préventive.
- Réduisant les pertes et améliorer la gestion financière : Lutter contre les fuites et la fraude, réviser la tarification, et faciliter les paiements via des options électroniques.
- Engageant la communauté : Renforcer la sensibilisation sur l'hygiène, la préservation des ouvrages, et impliquer les usagers dans le suivi du service.
- Structurant un fonds de renouvellement : Sécuriser les fonds dédiés au renouvellement et planifier les investissements à long terme.
- Promouvant la durabilité environnementale : Protéger les sources d'eau.
- Préparant un plan de gestion des crises : Anticiper les interruptions, les pénuries ou les contaminations grâce à un plan d'action d'urgence.

Ces améliorations permettront de rendre la gestion plus efficace, durable et orientée vers les besoins des usagers.

VII.NOTICE D'IMPACT ENVIRONNEMENTAL ET SOCIAL

VII.1 INTRODUCTION ET CARACTERISATION DU PROJET

Une évaluation de l'impact environnemental est un processus qui permet d'identifier et d'analyser les effets potentiels d'un projet sur l'environnement avant sa réalisation. Elle vise à anticiper les enjeux environnementaux et à mettre en place des mesures pour minimiser les impacts négatifs, tout en favorisant le respect des principes de développement durable. Partant de là le code de l'environnement à son article 25 stipule que tout activité susceptible d'avoir des impacts significatifs sur l'environnement est soumis à l'avis du ministre en charge de l'environnement, cet avis est établi sous la base d'une Evaluation Environnementale Stratégique (EES), d'une Etude d'Impacts Environnementale et Sociale (EIES) d'une Notice d'Impacts Environnementale (NIES) ou d'une simple prescription. En se référant le décret N°2015 - 1187 / PRES – TRANS / PM / MERH / MATD / MME / MS / MARHASA / MRA / MICA / MHU / MIDT / MCT du 22 octobre 2015 portant conditions et procédures de réalisation

et de validation de l'évaluation environnementale stratégique, de l'étude et de la notice d'impact environnemental et social, le projet d'approvisionnement en eau potable au profit de la population du centre de Koubri sera soumis à une Notice d'impact Environnementale et Sociale (NIES) car elle est un centre semi-urbains correspondant à la catégorie B de projet relatif aux activités soumises à une notice d'impact sur l'environnement(ANEVE/MEEA, 2007). La notice d'impact environnementale et social permet d'évaluer les enjeux environnementaux et sociaux et de proposer des mesures d'atténuation, de bonification ou le cas échéant des compensations d'impact. C'est un outil de planification pour le promoteur, de participation pour le public, de prévention et de prise de décisions pour les bailleurs de fonds.

VII.2 RAPPEL DU CADRE LEGISLATIF REGISSANT LE PROJET (NOTICE D'IMPACT)

Plusieurs lois et règles obligent les promoteurs, publics ou privés, à protéger l'environnement lorsqu'ils prévoient des travaux ou aménagements pouvant l'affecter. Ces lois et règlements. Les détails des lois et règlements se trouve à l'annexe 19.

Ces dispositions garantissent une prise en compte systématique des enjeux environnementaux dans les projets de développement.

VII.3 RAPPEL DES COMPOSANTES ET PHASES DU PROJET

Ce projet comprend deux composantes qui sont l'eau potable et l'assainissement. Il est structuré en deux phases : la phase de préparation/construction/la phase de réalisation et la phase d'exploitation/maintenance.

VII.4 IDENTIFICATION ET EVALUATION DES IMPACTS

La mise en œuvre et l'exploitation de ce système d'approvisionnement en eau potable (AEP) peuvent effectivement avoir des impacts à la fois positifs et négatifs sur l'environnement biophysique et humain. L'évaluation des impacts a pour objectif de déterminer l'importance des effets sur l'environnement. Les impacts du projet sont indiqués dans le tableau ci-après :

Tableau 30 : Identification et évaluation des impacts

| | Importance de l'impact | | |
|---|---|---|--|
| Impacts | | | |
| | Phase installation/ | Phase d'exploitation | |
| | Construction | | |
| Impacts néga | tifs | | |
| | | | |
| -Soulèvement de poussière | Mineure | Mineure | |
| -Emission de fumées des engins de travaux | | | |
| -Emission de bruits et vibrations | | | |
| -Contamination des sols par les | Moyenne | Mineure | |
| hydrocarbures -Erosion des sols | | | |
| Dégradation ou perte de leur habitat | Mineure | Mineure | |
| Coupe d'espèces végétales (arbres, | Mineure | Mineure | |
| herbacés) | | | |
| Dégradation de la qualité de l'eau | Mineure | Moyenne | |
| Milieu humain | <u> </u> | | |
| - Accroissement de maladies | Moyenne | Majeur | |
| - Incident et accident | | | |
| - Nuisances sonores | | | |
| Conflit et plaintes | Moyenne | Majeur | |
| I | mpacts Positifs | | |
| Création d'emploi permanant et temporaires | Moyenne | Moyenne | |
| Développement des activités économiques | Mineur | Majeure | |
| | | | |
| -Amélioration des conditions de vie | Majeure | Majeure | |
| | | | |
| Amélioration de l'accessibilité à l'eau | Mineure | Majeure | |
| Baisse sensible de la prévalence des | Moyenne | Majeur | |
| maladies d'origine hydrique et des dépenses | | | |
| en soins de santé | | | |
| | -Soulèvement de poussière -Emission de fumées des engins de travaux -Emission de bruits et vibrations -Contamination des sols par les hydrocarbures -Erosion des sols Dégradation ou perte de leur habitat Coupe d'espèces végétales (arbres, herbacés) Dégradation de la qualité de l'eau Milieu humain - Accroissement de maladies - Incident et accident - Nuisances sonores Conflit et plaintes In Création d'emploi permanant et temporaires Développement des activités économiques -Amélioration des conditions de vie Amélioration de l'accessibilité à l'eau Baisse sensible de la prévalence des maladies d'origine hydrique et des dépenses | Impacts Impacts négatifs -Soulèvement de poussière -Emission de fumées des engins de travaux -Emission de bruits et vibrations -Contamination des sols par les hydrocarbures -Erosion des sols Dégradation ou perte de leur habitat Coupe d'espèces végétales (arbres, herbacés) Dégradation de la qualité de l'eau Mineure Milieu humain - Accroissement de maladies - Incident et accident - Nuisances sonores Conflit et plaintes Moyenne Impacts Positifs Création d'emploi permanant et temporaires Développement des activités économiques Mineure Mineure Moyenne -Amélioration des conditions de vie Majeure Amélioration de la prévalence des moyenne Moyenne Mineure Majeure Moyenne | |

VII.5 PLAN DE GESTION ENVIRONNEMENTAL ET SOCIAL

• Plan de gestion environnementale et social

Le plan de gestion environnementale et sociale regroupe les actions nécessaires pour mettre en œuvre les mesures d'atténuation et d'optimisation, notamment le suivi des éléments ayant un

impact. Il détaille, de manière concrète, les mesures à prendre pour prévenir, réduire, compenser les effets négatifs du projet sur l'environnement humain et naturel, tout en renforçant ses impacts positifs. Il précise les responsabilités des acteurs, les échéances et les coûts associés à ces mesures. Il est essentiel de veiller à l'application des mesures préconisées, telles que la sensibilisation des populations sur la sécurité et le VIH/SIDA, ainsi que le reboisement compensatoire, sous la supervision du comité de suivi. Pour une meilleure efficacité, il est recommandé de renforcer les capacités des membres de ce comité afin qu'ils s'approprient pleinement les démarches du plan de gestion environnementale et sociale.

Mesures d'atténuation, de compensation ou de bonification des impacts.

L'entrepreneur qui aura la charge des travaux sur chacune des sites se charge de respecter ces clauses qui sont d'ailleurs des conditions d'acceptation des prestations. Ici, il s'agit de catégoriser les actions environnementales retenues comprenant : Les mesures d'atténuation des impacts négatifs : actions de compensation ou de restitutions des éléments ayant subi des impacts négatifs ;

Les mesures de bonification : ce sont des mesures mises en œuvre dans le but de renforcer les effets positifs de l'installation de l'unité ;

Les mesures d'accompagnement : ce sont des mesures mise en œuvre pour optimiser les bénéfices liés au projet.

Pour les mesures contenues dans le cahier de charge des entreprises, les deux (02) documents de base pour la mise en œuvre efficace des mesures environnementales du projet sont : le cahier de charges de l'entreprise et le PGES/chantier. Pour cela, un certain nombre de dispositions doivent être prise par l'ingénieur-conseil chargé du suivi de l'entreprise pour permettre une application des mesures qui y sont formulées. La mise en œuvre des mesures de bonification, d'atténuation et de suivi exige de définir clairement les responsabilités des différents organismes impliqués dans l'exécution et l'opérationnalisation du projet. Les responsabilités pour la mise en œuvre du PGES seront confiées à : l'ANEVE, au Service Départemental l'Environnement de l'Economie Verte et des Changements Climatiques, aux CVD, à la commune, aux bureaux de contrôle, à l'entreprise et à la chefferie. Les détails du Programme de mise en œuvre des mesures assorti du coût de réalisation se trouvent à l'annexe 20.

VII.6 CONCLUSION PARTIEL

Les premières analyses révèlent des impacts importants sur l'environnement et les populations. Des mesures d'atténuation et de suivi ont été proposées pour limiter ces effets et intégrer les enjeux environnementaux au projet. La validation finale permettra de confirmer la faisabilité du projet avec les exigences réglementaires.

VIII.CONCLUSION ET RECOMMENDATIONS

Ce mémoire a permis d'étudier et de concevoir un système d'approvisionnement en eau potable adapté aux besoins croissants de la population du centre de Koubri. À travers un diagnostic précis et un dimensionnement rigoureux, un réseau structuré autour de quatre forages de 10 m³/h chacun, d'un château d'eau de 200 m³ et d'un maillage dense a été proposé, avec une alimentation énergétique hybride pour garantir la fiabilité du service. La simulation hydraulique sur EPANET valide les choix techniques réalisés. Le coût global de réalisation du projet s'élève à 732 515 120 FCFA TTC. Le prix de production du mètre cube d'eau est estimé à 298 FCFA, tandis que le tarif de vente proposé est de 400 FCFA/m³. Cependant, l'analyse financière indique que le projet n'est pas rentable pour l'État à l'horizon 2055, avec une valeur actuelle nette (VAN) négative - 411 140 874 FCFA mais sera rentable pour le fermier avec une VAN de 321 374 246. Par ailleurs, la notice d'impact environnemental et social (NIES) a révélé que le projet engendre plus d'effets positifs que négatifs sur l'environnement. Pour assurer la durabilité de l'ouvrage et son bon fonctionnement, une gestion par affermage est recommandée. La mise en œuvre du projet contribuera significativement à améliorer l'accès à l'eau potable et à soutenir le développement local.

Pour assurer le succès du projet, nous recommandons de :

- Prévoir l'extension du réseau en fonction de l'évolution démographique future.
- Réaliser une étude hydrogéologique approfondie pour identifier les aquifères disponibles, leur profondeur, leur capacité et leur durabilité.
- Mobiliser les financements nécessaires pour la réalisation effective des infrastructures, en privilégiant une gestion transparente et efficiente des fonds.
- Encourager les branchements particuliers pour minimiser les pertes.
- Améliorer les recettes tout en minimisant les charges et en encourageant la consommation de l'eau du réseau pour augmenter les marges bénéficière.
- Mettre en place une maintenance préventive régulière des infrastructures.
- Renforcer la capacité des acteurs locaux en gestion technique et financière du service d'eau.
- Créer un fonds de renouvellement pour anticiper le remplacement des équipements.
- Mener des campagnes de sensibilisation pour encourager le paiement régulier de l'eau.
- Veiller à la mise en œuvre effective des mesures environnementales prévues.

BIBLIOGRAPHIE

- ANEVE/MEEA. (2007). L'ensemble des études et des notices d'impact sur l'environnement.
- DGCMEF. (2025). Mercuriale des prix des infrastructures hydrauliques de Ouagadougou.
- DGEP. (2019). Décret définissant les normes, les critères et les indicateurs d'accès au service public d'eau potable.
- DGRE. (2019). Document Cadre de Gestion du Service Public de l'Eau Potable en Milieu Rural e semi-urbainau Burkina Faso.
- IGIP Afrique. (2024a). Présentation d'IGIP Afrique.
- IGIP Afrique. (2024b). Rapport géophysique de la réalisation du système AEP dans le centre de Koubri de la région du Centre.
- IGIP Afrique. (2024c). Rapport socio-économique de la réalisation du système AEP dans le centre de Koubri de la région du Centre.
- INSD. (2006). Recensement Général de la Population et de l'Habitation (RGPH) du Burkina Faso.
- INSD. (2019). Recensement Général de la Population et de l'Habitation (RGPH) du Burkina Faso.
- MAIRIE. (2022). Plan Communal de Développement de Koubri (2022-2026).
- MEA/PN-AEP. (2016). Programme National d'Approvisionnement en Eau Potable.
- MEEA/DGEP. (2023). Inventaire National des Ouvrages Hydrauliques (INO).
- MEEA/DREA-C. (2024). Rapport de démarrage des activités du Centre de Koubri.
- NACOULMA, E. C. (2023). ETUDE DE FAISABILITE TECHNIQUE D'UN SYSTEME

 D'ALIMENTATION EN EAU POTABLE DANS LA LOCALITE DE KADOMBA, DE LA

 COMMUNE DE SATIRI, REGION DES HAUTS BASSINS (BURKINA FASO).
- OUERMI, A.-F. (2024). ETUDE D'AVANT-PROJET DETAILLEE D'UN SYSTEME D'AEP

 AU PROFIT DES POPULATIONS DU VILLAGE DE PIGA SITUE DANS LA

COMMUNE DE DIABO. REGION DE L'EST – BURKINA FASO.

SOTICI. (2023). Documentation technique des tubes PVC-U pression. 18.

SITES INTERNET

GRUNDFOS. (2025, Février). Grundfos Product Center / Dimensionnement et Selection des produits Grundfos. Récupéré sur https://product-selection.grundfos.com/fr. Consulté le 18 Février 2025

Votre partenaire FG Wilson en Afrique—GeniWatt—Distributeur FG Wilson. Récupéré sur https://geniwatt.fr/fr/afrique/. Consulté 28 avril 2025

ONU. (2015, Septembre). Objectifs de développement durable (ODD) : 17 objectifs pour transformer notre monde. Récupéré sur

https://www.un.org/sustainabledevelopment/fr/development-agenda/. Consulté le 18 Août 2024

ANNEXES

| Annexe 1 : Calcul des débits transportées en tronçons | II |
|---|----------------|
| Annexe 2 : Tableau du réseau maillé par la méthode du Hardy Cross (après 30 ité | rations) et de |
| la partie ramifiée | I |
| Annexe 3: Vérification après itérations | VI |
| Annexe 4 : Récapitulatif des valeurs obtenues par calcul et des valeurs Epanet | IX |
| Annexe 5 : Carnet des nœuds | XII |
| Annexe 6 : Evaluation des besoins en eau | XV |
| Annexe 7 : Plan du regard tête de forage, coupe A-A | XVII |
| Annexe 8 : Plan du château d'eau | XVIII |
| Annexe 9 : Plan d'aménagement de borne fontaine et branchement particulier | XIX |
| Annexe 10 : Plan locale du groupe électrogène | XXI |
| Annexe 11 : Plans de locale technique | XXII |
| Annexe 12 : Plan local gardien | XXIII |
| Annexe 13 : Plan Latrine | XXIV |
| Annexe 14 : Champs Solaire | XXIV |
| Annexe 15 : Ouvrage de Ventouse et ouvrage de vidanges | XXVI |
| Annexe 16 : Devis estimatif et quantitatif | XXVIII |
| Annexe 17 :Calcul des recettes | XXXV |
| Annexe 18 : Calcul de la VAN | XXXVII |
| Annexe 19 : Tracé de quelques profils en long du réseau | XL |
| Annexe 20 : Rappel des cadres législatifs régissant le projet | XLII |
| Annexe 21 :Programme de mise en œuvre des mesures assorti du cout de réalisati | onXLIV |

Annexe 1 : Calcul des débits transportées en tronçons

| Tronçons | Longueur (m) | Qr(l/s) | Qdim (l/s) |
|-------------|--------------|---------|------------|
| N63 - BF3S | 9,543 | 0 | 0,750 |
| N62 - N63 | 95,55 | 0,000 | 0,750 |
| N64 - N62 | 211,5 | 0,167 | 2,563 |
| N62 - N60 | 143,8 | 0,114 | 1,673 |
| N61 - N60 | 59,23 | 0,047 | 0,106 |
| N61 - BF2S | 24,45 | 0,000 | 0,750 |
| N54- N61 | 270,96 | 0,214 | 0,987 |
| N60 - N59 | 202,6 | 0,160 | 1,619 |
| N59 - N58 | 83,47 | 0,066 | 0,648 |
| N58- N57 | 610,62 | 0,483 | 0,373 |
| N57 - BF6SN | 44 | 0,000 | 0,750 |
| N56 - N57 | 431 | 0,341 | 0,788 |
| N54 - N55 | 638 | 0,504 | 0,987 |
| N55 - N56 | 270,4 | 0,214 | 0,628 |
| N59 - N56 | 531 | 0,420 | 0,648 |
| N52 - N64 | 434,7 | 0,344 | 2,819 |
| N53 - N54 | 486,5 | 0,385 | 2,525 |
| N51 - N52 | 33,79 | 0,000 | 5,910 |
| N52 - N53 | 255,72 | 0,202 | 2,819 |
| N50 - N51 | 170,56 | 0,135 | 4,035 |
| N49 - N50 | 31,87 | 0,025 | 4,116 |
| N49 - BF1S | 9,885 | 0,000 | 0,750 |
| N46 - N51 | 246,7 | 0,195 | 2,040 |
| N46 - N47 | 387,7 | 0,307 | 2,040 |
| N48 - N49 | 119,2 | 0,094 | 4,925 |
| N45 - N46 | 265,2 | 0,210 | 4,435 |
| | l . | i | i |

| N45 - N47 | 545,9 | 0,432 | 4,435 |
|-------------|--------|-------|-------|
| N47 - N48 | 484,5 | 0,383 | 5,164 |
| N47 - BF5SN | 50 | 0,000 | 0,750 |
| N44 - BF4S | 9,273 | 0,000 | 0,750 |
| N44 - N45 | 89,07 | 0,000 | 9,190 |
| N26 - N44 | 767,3 | 0,000 | 9,940 |
| N27 - N26 | 563,2 | 0,445 | 6,359 |
| N30 - N26 | 401,8 | 0,318 | 3,963 |
| N30- N29 | 217 | 0,172 | 3,963 |
| N31 - N30 | 242,87 | 0,192 | 8,266 |
| N28 - BF2N | 12,86 | 0,000 | 0,750 |
| N29 - N28 | 290,18 | 0,229 | 3,762 |
| N28 - N27 | 250 | 0,198 | 2,799 |
| N33 - N27 | 393,91 | 0,311 | 4,038 |
| N33 - N32 | 514,9 | 0,407 | 4,038 |
| N32 - N31 | 716,4 | 0,566 | 8,645 |
| N42 - N43 | 466,1 | 0,369 | 5,326 |
| N43 - N32 | 59,29 | 0,047 | 5,118 |
| N34- N33 | 261,75 | 0,207 | 8,538 |
| N34 - N35 | 131,65 | 0,104 | 8,538 |
| N35 - N42 | 533,9 | 0,422 | 4,058 |
| N35 - N36 | 403,5 | 0,319 | 4,058 |
| N36- N41 | 535,9 | 0,424 | 1,777 |
| N41 - N42 | 457,1 | 0,361 | 1,844 |
| N36 - N37 | 333,5 | 0,264 | 1,777 |
| N37 - N38 | 283,4 | 0,224 | 1,533 |
| N39 - N40 | 256,9 | 0,203 | 1,104 |
| N38 - N39 | 272,4 | 0,215 | 1,314 |
| N40- N41 | 687,6 | 0,544 | 0,731 |

| N34 - BF4N | 251,2 | 0,000 | 0,750 |
|------------|--------|-------|--------|
| N3 - N34 | 29,61 | 0,000 | 17,981 |
| N7 - BF5N | 79,43 | 0,000 | 0,750 |
| N6 - N7 | 64,39 | 0,000 | 0,750 |
| N8 - N6 | 323 | 0,255 | 4,242 |
| N6 - N5 | 135 | 0,107 | 3,311 |
| N11- N8 | 561,7 | 0,444 | 4,592 |
| N9 - N11 | 249,1 | 0,197 | 2,889 |
| N10 - N11 | 484,5 | 0,383 | 2,215 |
| N4 - N3 | 141,06 | 0,112 | 9,593 |
| N5 - N4 | 403,6 | 0,319 | 5,846 |
| N9 - N5 | 357,41 | 0,283 | 2,889 |
| N13- N9 | 384,3 | 0,304 | 4,079 |
| N10 - N9 | 315,1 | 0,249 | 2,215 |
| N12 - N10 | 443,1 | 0,350 | 4,921 |
| N13 - N4 | 294,4 | 0,233 | 4,079 |
| N13 - N12 | 509,4 | 0,403 | 4,079 |
| N1 - N13 | 128,22 | 0,101 | 12,758 |
| N22 - N23 | 57,53 | 0,000 | 0,750 |
| N23 - BF1N | 18,14 | 0,000 | 0,750 |
| N21 - N22 | 230,5 | 0,182 | 1,213 |
| N20 - N21 | 457,9 | 0,362 | 1,485 |
| N19 - N20 | 146,1 | 0,116 | 1,724 |
| N22 - N24 | 562,2 | 0,444 | 0,150 |
| N16 - BF3N | 10,6 | 0,000 | 0,750 |
| N2 - N3 | 75,14 | 0,059 | 8,474 |
| N25 - N2 | 187 | 0,148 | 3,458 |
| N1 - N2 | 311,4 | 0,246 | 5,242 |
| N16 - N25 | 127,7 | 0,101 | 2,282 |

| N24- N25 | 174,7 | 0,138 | 1,369 | |
|-----------|--------|-------|--------|--|
| N19 - N24 | 539,3 | 0,426 | 1,724 | |
| N18 - N19 | 344,9 | 0,273 | 3,855 | |
| N17 - N18 | 288,1 | 0,228 | 1,110 | |
| N15 - N18 | 425,1 | 0,336 | 3,163 | |
| N14 - N17 | 325,5 | 0,257 | 1,353 | |
| N14 - N12 | 340,5 | 0,269 | 1,353 | |
| N15 - N14 | 490,72 | 0,388 | 3,163 | |
| N15 - N16 | 204,04 | 0,161 | 3,163 | |
| N1 - N15 | 173,63 | 0,137 | 10,001 | |
| R - N1 | 162,7 | 0,000 | 28,244 | |

| Nœuds | Q au nœuds | Vérification |
|-------|------------|--------------|
| N64 | 0,26 | 0,000 |
| N63 | 0,00 | 0,000 |
| N62 | 0,89 | 0,000 |
| N61 | 0,88 | 0,000 |
| N60 | 0,16 | 0,000 |
| N59 | 0,32 | 0,000 |
| N58 | 0,27 | 0,000 |
| N57 | 1,16 | 0,000 |
| N56 | 0,49 | 0,000 |
| N55 | 0,36 | 0,000 |
| N54 | 0,55 | 0,000 |
| N53 | 0,29 | 0,000 |
| N52 | 0,27 | 0,000 |
| N51 | 0,16 | 0,000 |
| N50 | 0,08 | 0,000 |
| N49 | 0,81 | 0,000 |

| N48 | 0,24 | 0,000 |
|-----|------|--------|
| N47 | 1,31 | 0,000 |
| N46 | 0,36 | 0,000 |
| N45 | 0,32 | 0,000 |
| N44 | 0,75 | 0,000 |
| N43 | 0,21 | 0,000 |
| N42 | 0,58 | 0,000 |
| N41 | 0,66 | 0,000 |
| N40 | 0,37 | 0,000 |
| N39 | 0,21 | 0,000 |
| N38 | 0,22 | 0,000 |
| N37 | 0,24 | 0,000 |
| N36 | 0,50 | 0,000 |
| N35 | 0,42 | 0,000 |
| N34 | 0,91 | 0,000 |
| N33 | 0,46 | 0,000 |
| N32 | 0,51 | 0,000 |
| N31 | 0,38 | 0,000 |
| N30 | 0,34 | 0,000 |
| N29 | 0,20 | 0,000 |
| N28 | 0,96 | 0,000 |
| N27 | 0,48 | 0,000 |
| N26 | 0,38 | 0,0000 |
| N25 | 0,19 | 0,000 |
| N24 | 0,50 | 0,000 |
| N23 | 0,00 | 0,000 |
| N22 | 1,06 | 0,000 |
| N21 | 0,27 | 0,000 |
| N20 | 0,24 | 0,000 |

| N19 | 0,41 | 0,000 |
|-----|------|-------|
| N18 | 0,42 | 0,000 |
| N17 | 0,24 | 0,000 |
| N16 | 0,88 | 0,000 |
| N15 | 0,51 | 0,000 |
| N14 | 0,46 | 0,000 |
| N13 | 0,52 | 0,000 |
| N12 | 0,51 | 0,000 |
| N11 | 0,51 | 0,000 |
| N10 | 0,49 | 0,000 |
| N9 | 0,52 | 0,000 |
| N8 | 0,35 | 0,000 |
| N7 | 0,00 | 0,000 |
| N6 | 0,93 | 0,000 |
| N5 | 0,35 | 0,000 |
| N4 | 0,33 | 0,000 |
| N3 | 0,09 | 0,000 |
| N2 | 0,23 | 0,000 |
| N1 | 0,24 | 0,000 |

Annexe 2 : Tableau du réseau maillé par la méthode du Hardy Cross (après 30 itérations) et de la partie ramifiée

| ITERATION | MAILLE | TRONCON | LONGUEUR | DEBIT(l/s) | DBIT(m3/s) | Dth(mm) | Dc (m) | Dint(mm) | Dint(m) | Vr(m/s) | k/D | Reynolds | λ | ΔH (m) | ΔH/Q | dq(m3/s) | dq(l/s) | Qc(l/s) |
|-----------|--------|----------|----------|------------|--------------|---------|--------|----------|---------|---------|-------------|-----------|-----------|--------------|--------------|--------------|------------|------------|
| | | N1 - N2 | 311,4 | 17,6413 | 0,017641315 | 149,872 | 200 | 180,8 | 0,1808 | 0,69 | 5,53097E-05 | 124234,62 | 0,0175336 | 0,799418575 | 45,31513545 | 1,21409E-08 | 1,214E-05 | 17,641327 |
| | 1 | N1 - N15 | 173,63 | -3,9744 | -0,003974367 | 71,136 | 110 | 99,4 | 0,0994 | 0,51 | 0,000100604 | 50908,668 | 0,0211689 | -0,543802591 | 136,8274616 | 3,68E-07 | 3,68E-04 | -3,97E+00 |
| | 1 | N15-N16 | 204,04 | -1,9107 | -0,00191072 | 49,323 | 90 | 81,4 | 0,0814 | 0,37 | 0,00012285 | 29887,028 | 0,0238335 | -0,451532395 | 236,3153323 | 2,56752E-08 | 2,568E-05 | -1,9106942 |
| | | N16-N25 | 127,7 | -1,0296 | -0,001029581 | 36,206 | 63 | 57 | 0,057 | 0,40 | 0,000175439 | 22998,297 | 0,0254264 | -0,519919594 | 504,981857 | 2,56752E-08 | 2,568E-05 | -1,0295551 |
| | | N25-N2 | 187 | 0,9949 | 0,000994875 | 35,591 | 63 | 57 | 0,057 | 0,39 | 0,000175439 | 22223,055 | 0,0256277 | 0,716519452 | 720,2105507 | -2,07906E-07 | -0,0002079 | 0,9946671 |
| | | | | | | | | | | | | | SOMME | 0,000683448 | 1643,650337 | -2,07906E-07 | -0,0002079 | -0,0002079 |
| | | | | | | | | | | | | | | dq1 | -2,07906E-07 | | | |
| | | | | | | | | | | | | | | | | | | |
| | | N1-N13 | 128,22 | 6,3855 | 0,00638549 | 90,168 | 140 | 126,6 | 0,1266 | 0,51 | 7,89889E-05 | , | | 0,293604195 | 45,97990206 | 3,55577E-07 | | |
| | | N1-N2 | 311,4 | -17,6413 | -0,017641315 | 149,872 | 200 | 180,8 | 0,1808 | 0,69 | 5,53097E-05 | 124234,62 | 0,0175336 | -0,799418575 | 45,31513545 | -1,21409E-08 | -1,214E-05 | -17,641327 |
| | 2 | N2-N3 | 75,14 | -16,4197 | -0,016419716 | 144,590 | 200 | 180,8 | 0,1808 | 0,64 | 5,53097E-05 | 115631,81 | 0,0177753 | -0,169410814 | 10,31752421 | -2,20047E-07 | -0,00022 | -16,419936 |
| | | N4-N3 | 141,06 | 1,6470 | 0,001647011 | 45,793 | 90 | 81,4 | 0,0814 | 0,32 | 0,00012285 | , | | 0,239887589 | 145,650273 | -2,20047E-07 | -0,00022 | 1,6467909 |
| | | N13-N4 | 294,4 | 2,6101 | 0,002610096 | 57,648 | 110 | 99,4 | 0,0994 | 0,34 | 0,000100604 | 33433,374 | 0,0231833 | 0,435519857 | 166,8597093 | -1,60E-08 | -1,60E-05 | 2,61E+00 |
| | | | | | | | | | | | | | SOMME | 0,000182252 | 414,122544 | | | |
| | | | | | | | | | | | | | | dq2 | -2,20047E-07 | | | |
| | | | | | | | | | | | | | | | | | | |
| | | N1-N15 | 173,63 | 3,9744 | 0,003974367 | 71,136 | 110 | 99,4 | 0,0994 | 0,51 | 0,000100604 | , | | 0,543802591 | 136,8274616 | -3,68E-07 | | 3,97E+00 |
| | | N1-N13 | 128,22 | -6,3855 | -0,00638549 | 90,168 | 140 | 126,6 | 0,1266 | 0,51 | 7,89889E-05 | 64220,048 | 0,0200943 | -0,293604195 | 45,97990206 | -3,55577E-07 | -0,0003556 | -6,3858454 |
| 30 | 3 | N12-N13 | 509,4 | -0,7177 | -0,000717678 | 30,229 | 63 | 57 | 0,057 | 0,28 | 0,000175439 | 16031,169 | 0,0276834 | -1,097181066 | 1528,791905 | 6,30985E-08 | 6,31E-05 | -0,7176154 |
| | | N12-N14 | 340,5 | -0,2208 | -0,000220809 | 16,767 | 63 | 57 | 0,057 | 0,09 | 0,000175439 | | - | -0,094628491 | 428,5535215 | -5,75624E-07 | | |
| | | N15-N14 | 490,72 | 0,6737 | 0,000673655 | 29,287 | 63 | 57 | 0,057 | 0,26 | 0,000175439 | 15047,791 | 0,0281126 | 0,945691154 | 1403,821382 | -1,87303E-07 | -0,0001873 | 0,6734676 |
| | | | | | | | | | | | | | SOMME | 0,004079992 | 3543,974171 | | | |
| | | | | | | | | | | | | | | dq3 | -5,75624E-07 | | | |
| | | | | | | | | | | | | | | | | | | |
| | | N12-N13 | 509,4 | 0,7177 | 0,000717678 | 30,229 | 63 | 57 | 0,057 | 0,28 | 0,000175439 | , | | 1,097181066 | 1528,791905 | -6,30985E-08 | | |
| | 4 | N12-N101 | 443,1 | -0,0143 | -1,42623E-05 | 4,261 | 63 | 57 | 0,057 | 0,01 | 0,000175439 | | - | -0,002735123 | 191,7723994 | -6,38722E-07 | | |
| | - | N10-N9 | 315,1 | -0,6368 | -0,000636831 | 28,475 | 63 | 57 | 0,057 | 0,25 | 0,000175439 | , | 0,0285026 | -0,550200912 | 863,9664078 | -1,80742E-07 | - | |
| | | N13-N9 | 384,3 | -2,5374 | -0,002537365 | 56,839 | 110 | 99,4 | 0,0994 | 0,33 | 0,000100604 | 32501,745 | 0,02333 | -0,540671233 | 213,0837464 | -4,34627E-07 | -0,0004346 | -2,5377996 |
| | | | | | | | | | | | | | SOMME | 0,003573798 | 2797,614458 | | | |
| | | | | | | | | | | | | | | dq4 | -6,38722E-07 | | | |
| | | | | | | | | | | | | | | | | | | |
| | | N13-N9 | 384,3 | 2,5374 | 0,002537365 | 56,839 | 110 | 99,4 | 0,0994 | 0,33 | 0,000100604 | | | 0,540671233 | 213,0837464 | 4,34627E-07 | | |
| | 5 | N13-N4 | 294,4 | -2,6101 | -0,002610096 | 57,648 | 110 | 99,4 | 0,0994 | 0,34 | 0,000100604 | | - | -0,435519857 | 166,8597093 | 1,60E-08 | 1,595E-05 | =/0101 |
| | | N9-N5 | 357,41 | 0,6168 | 0,000616798 | 28,024 | 63 | 57 | 0,057 | 0,24 | 0,000175439 | | 0,0287282 | 0,590065789 | 956,6592623 | 1,30173E-08 | , | , |
| | | N5-N4 | 403,6 | -0,6314 | -0,000631399 | 28,354 | 63 | 57 | 0,057 | 0,25 | 0,000175439 | 14103,895 | _ | -0,694222769 | 1099,499524 | -2,04096E-07 | -0,0002041 | -0,631603 |
| | | | | | | | | | | | | | SOMME | 0,000994397 | 2436,102242 | | | \sqcup |
| | | | | | | | | | | | | | | dq5 | -2,04096E-07 | | | |

| | | N10-N9 | 315,1 | 0,6368 | 0,000636831 | 28,475 | 63 | 57 | 0,057 | 0,25 | 0,000175439 | 14225,244 | 0,0285026 | 0,550200912 | 863,9664078 | 1,80742E-07 | 0,0001807 0,6370121 |
|----|----|---------|--------|---------|--------------|--------|----|------|--------|------|-------------|-----------|-----------|--------------|--------------|--------------|------------------------|
| | 6 | N10-N11 | 484,2 | 0,1313 | 0,000131321 | 12,931 | 63 | 57 | 0,057 | 0,05 | 0,000175439 | 2933,3915 | 0,0439762 | 0,055469189 | 422,3933191 | -4,5798E-07 | -0,000458 0,1308632 |
| | | N9-N11 | 249,1 | -0,7675 | -0,0007675 | 31,260 | 63 | 57 | 0,057 | 0,30 | 0,000175439 | 17144,061 | 0,0272397 | -0,603771285 | 786,6725717 | -2,40867E-07 | -0,0002409 -0,767741 |
| | | | | | | | | | | | | | SOMME | 0,001898816 | 2073,032299 | | |
| | | | | | | | | | | | | | | dq6 | -4,5798E-07 | | |
| | | | | | | | | | | | | | | | | | |
| | | N9-N11 | 249,1 | 0,7675 | 0,0007675 | 31,260 | 63 | 57 | 0,057 | 0,30 | 0,000175439 | 17144,061 | 0,0272397 | 0,603771285 | 786,6725717 | 2,40867E-07 | 0,0002409 0,767741 |
| | | N11-N8 | 561,7 | 0,3868 | 0,00038678 | 22,192 | 63 | 57 | 0,057 | 0,15 | 0,000175439 | 8639,7187 | 0,032364 | 0,410804227 | 1062,112611 | -2,17113E-07 | -0,0002171 0,3865632 |
| | 7 | N8-N6 | 323 | 0,0371 | 3,70523E-05 | 6,869 | 63 | 57 | 0,057 | 0,01 | 0,000175439 | | | 0,005179669 | 139,7934665 | -2,17113E-07 | -0,0002171 0,0368352 |
| | | N6-N5 | 135 | -0,8940 | -0,000893998 | 33,738 | 63 | 57 | 0,057 | 0,35 | 0,000175439 | 19969,718 | 0,0262726 | -0,428202509 | 478,9746614 | -2,17113E-07 | ., |
| | | N9-N5 | 357,41 | -0,6168 | -0,000616798 | 28,024 | 63 | 57 | 0,057 | 0,24 | 0,000175439 | 13777,754 | 0,0287282 | -0,590065789 | 956,6592623 | -1,30173E-08 | -1,302E-05 -0,6168113 |
| | | | | | | | | | | | | | SOMME | 0,001486883 | 3424,212573 | | |
| | | | | | | | | | | | | | | dq7 | -2,17113E-07 | | |
| | | | | | | | | | | | | | | | | | |
| | | N15-N14 | 490,72 | -0,6737 | -0,000673655 | 29,287 | 63 | 57 | 0,057 | 0,26 | 0,000175439 | | | -0,945691154 | 1403,821382 | | 0,0001873 -0,6734676 |
| | 8 | N14-N17 | 325,5 | -0,4372 | -0,000437205 | 23,594 | 63 | 57 | 0,057 | 0,17 | 0,000175439 | | | -0,294584061 | 673,7899859 | | -0,0003883 -0,4375929 |
| | O | N17-N18 | 288,1 | -0,1946 | -0,000194644 | 15,743 | 63 | 57 | 0,057 | 0,08 | 0,000175439 | | | -0,064506872 | 331,4090457 | | |
| | | N15-N18 | 425,1 | 0,8787 | 0,000878667 | 33,448 | 63 | 57 | 0,057 | 0,34 | 0,000175439 | 19627,257 | 0,0263794 | 1,307808985 | 1488,401029 | -1,5474E-07 | -0,0001547 0,8785123 |
| 30 | | | | | | | | | | | | | SOMME | 0,003026898 | 3897,421442 | | |
| | | | | | | | | | | | | | | dq8 | -3,88321E-07 | | |
| | | | | | | | | | | | | | | | | | |
| | | N15-N18 | 425,1 | -0,8787 | -0,000878667 | 33,448 | 63 | 57 | 0,057 | 0,34 | 0,000175439 | | | -1,307808985 | 1488,401029 | | 0,0001547 -0,8785123 |
| | | N15-N16 | 204,04 | 1,9107 | 0,00191072 | 49,323 | 90 | 81,4 | 0,0814 | 0,37 | 0,00012285 | | 0,0238335 | 0,451532395 | 236,3153323 | -2,56752E-08 | -2,568E-05 1,9106942 |
| | 9 | N16-N25 | 127,7 | 1,0296 | 0,001029581 | 36,206 | 63 | 57 | 0,057 | 0,40 | 0,000175439 | | | 0,519919594 | 504,981857 | | -2,568E-05 1,0295551 |
| | | N24-N25 | 174,7 | 1,8310 | 0,001830993 | 48,283 | 90 | 81,4 | 0,0814 | 0,35 | 0,00012285 | | | 0,358436938 | 195,7610054 | | -0,0002336 1,8307589 |
| | | N19-N24 | 539,3 | 0,4982 | 0,000498198 | 25,186 | 63 | 57 | 0,057 | 0,20 | 0,000175439 | | | 0,612844652 | 1230,12293 | | -0,0001577 0,4980402 |
| | | N18-N19 | 344,9 | -0,6550 | -0,000655037 | 28,879 | 63 | 57 | 0,057 | 0,26 | 0,000175439 | 14631,916 | | -0,632765568 | 965,9995187 | -2,33581E-07 | -0,0002336 -0,6552707 |
| | | | | | | | | | | | | | SOMME | 0,002159025 | 4621,581672 | | |
| | | | | | | | | | | | | | | dq9 | -2,33581E-07 | | |
| | | | | | | | | | | | | | | | | | |
| | | N19-N24 | 539,3 | -0,4982 | -0,000498198 | 25,186 | 63 | 57 | 0,057 | 0,20 | 0,000175439 | | | -0,612844652 | 1230,12293 | | 0,0001577 -0,4980402 |
| | 10 | N22-N24 | 562,2 | 0,8283 | 0,000828304 | 32,475 | 63 | 57 | 0,057 | 0,32 | 0,000175439 | | 0,0267493 | 1,55855712 | 1881,624521 | | -7,591E-05 0,8282281 |
| | 10 | N21-N22 | 230,5 | -0,2351 | -0,000235056 | 17,300 | 63 | 57 | 0,057 | 0,09 | 0,000175439 | | | -0,071317362 | 303,4061473 | | -7,591E-05 -0,2351317 |
| | | N20-N21 | 457,9 | -0,5072 | -0,000507185 | 25,412 | 63 | 57 | 0,057 | 0,20 | 0,000175439 | | | -0,536840146 | 1058,470052 | | -7,591E-05 -0,5072609 |
| | | N19-N20 | 146,1 | -0,7460 | -0,00074595 | 30,818 | 63 | 57 | 0,057 | 0,29 | 0,000175439 | 16662,693 | | -0,336807241 | 451,5142787 | -7,59084E-08 | -7,591E-05 -0,7460263 |
| | | | | | | | | | | | | | SOMME | 0,000747718 | 4925,137929 | | |
| | | | | | | | | | | | | | | dq10 | -7,59084E-08 | | |

| | | | | | T | | | | | | | .= | | | | | | T = ======== |
|----|----|--------------------|--------|----------|--------------|---------|-----|-------|--------|-------|-------------|-----------|-----------------|--------------|--------------|--------------|-------------|--------------|
| | | N36-N37 | 333,5 | 0,7829 | 0,0007829 | 31,572 | 63 | 57 | 0,057 | 0,31 | 0,000175439 | | | 0,837116134 | 1069,250883 | -1,68873E-08 | , | 0,7828828 |
| | | N37-N38 | 283,4 | 0,5390 | 0,000539035 | 26,198 | 63 | 57 | 0,057 | 0,21 | 0,000175439 | / | 0,0297106 | 0,369559723 | 685,5952558 | -1,68873E-08 | , | 0,5390179 |
| | 11 | N38-N39 | 272,4 | 0,3193 | 0,000319323 | 20,164 | 63 | 57 | 0,057 | 0,13 | 0,000175439 | | 0,0340636 | 0,142921849 | 447,5773069 | -1,68873E-08 | , | 0,3193064 |
| | | N39-N40 | 256,9 | 0,1101 | 0,000110087 | 11,839 | 63 | 57 | 0,057 | 0,04 | 0,000175439 | | 0,026026 | 0,012240124 | 111,1855775 | -1,68873E-08 | | 0,1100705 |
| | | N40-N41 | 687,6 | -0,2633 | -0,00026328 | 18,309 | 63 | 57 | 0,057 | 0,10 | 0,000175439 | | 0,035914 | -0,258567808 | 982,1019628 | -1,68873E-08 | - | -0,2632969 |
| | | N36-N41 | 535,9 | -0,6994 | -0,000699406 | 29,841 | 63 | 57 | 0,057 | 0,27 | 0,000175439 | 15623,015 | 0,027857 | -1,10310544 | 1577,202415 | 2,12958E-08 | 2,13E-05 | -0,6993851 |
| | | | | | | | | | | | | | SOMME | 0,000164581 | 4872,913401 | | | |
| | | | | | | | | | | | | | | dq11 | -1,68873E-08 | | | |
| | | | | | | | | | | | | | | | | | | |
| | | N36-N41 | 535,9 | 0,6994 | 0,000699406 | 29,841 | 63 | 57 | 0,057 | 0,27 | 0,000175439 | | 0,027857 | 1,10310544 | 1577,202415 | -2,12958E-08 | -2,13E-05 | |
| | 12 | N35-N36 | 403,5 | 1,9855 | 0,001985492 | 50,279 | 110 | 99,4 | 0,0994 | 0,26 | 0,000100604 | | | 0,367542792 | 185,1142008 | -3,81831E-08 | -3,818E-05 | 1,985454 |
| | 12 | N35-N42 | 533,9 | -3,5056 | -0,003505649 | 66,810 | 110 | 99,4 | 0,0994 | 0,45 | 0,000100604 | 44904,744 | 0,0217383 | -1,33599508 | 381,0977344 | 9,34276E-08 | 9,343E-05 | -3,5055561 |
| | | N41-N42 | 457,1 | -0,2282 | -0,000228226 | 17,047 | 63 | 57 | 0,057 | 0,09 | 0,000175439 | 5098,0144 | 0,0373818 | -0,134444482 | 589,0839522 | -3,81831E-08 | -3,818E-05 | -0,2282645 |
| | | | | | | | | | | | | | SOMME | 0,00020867 | 2732,498303 | | | |
| | | | | | | | | | | | | | | dq12 | -3,81831E-08 | | | |
| | | | | | | | | | | | | | | - | | | | |
| | | N34-N35 | 131,65 | 5,9137 | 0,005913744 | 86,773 | 140 | 126,6 | 0,1266 | 0,47 | 7,89889E-05 | 59475,619 | 0,020415 | 0,262688624 | 44,42001613 | -1,31611E-07 | -0,0001316 | 5,9136128 |
| | | N35-N42 | 533,9 | 3,5056 | 0,003505649 | 66,810 | 110 | 99,4 | 0,0994 | 0,45 | 0,000100604 | 44904,744 | 0,0217383 | 1,33599508 | 381,0977344 | -9,34276E-08 | -9,343E-05 | 3,5055561 |
| | 10 | N42-N43 | 466,1 | 2,7014 | 0,002701421 | 58,648 | 110 | 99,4 | 0,0994 | 0,35 | 0,000100604 | 34603,186 | 0,0230068 | 0,732995829 | 271,3370833 | -1,31611E-07 | -0,0001316 | 2,7012899 |
| | 13 | N34-N33 | 261,71 | -11,1620 | -0,011162003 | 119,214 | 140 | 126,6 | 0,1266 | 0,89 | 7,89889E-05 | 112258,32 | 0,0180071 | -1,64094592 | 147,0117787 | -1,31611E-07 | -0,0001316 | -11,162135 |
| | | N33-N32 | 514,9 | -2,8688 | -0,002868846 | 60,438 | 110 | 99,4 | 0,0994 | 0,37 | 0,000100604 | | 0,0227034 | -0,901175753 | 314,1248759 | 2,13387E-07 | 0,0002134 | -2,8686322 |
| 30 | | N43-N32 | 59,29 | 2,4937 | 0,002493731 | 56,348 | 90 | 81,4 | 0,0814 | 0,48 | 0,00012285 | 39006,354 | 0,0224768 | 0,210769194 | 84,51961172 | -1,31611E-07 | -0,0001316 | |
| | | | , | , | , | | | , | , | , | , | , | SOMME | 0,000327055 | 1242,5111 | , i | | |
| | | | | | | | | | | | | | | dq13 | -1,31611E-07 | | | |
| | | | | | | | | | | | | | | . 1 - | , | | | |
| | | N33-N32 | 514,9 | 2,8688 | 0,002868846 | 60,438 | 110 | 99,4 | 0,0994 | 0,37 | 0,000100604 | 36747,763 | 0.0227034 | 0,901175753 | 314,1248759 | -2,13387E-07 | -0.0002134 | 2,8686322 |
| | | N33-N27 | 393,91 | -7,8304 | -0,007830427 | 99,850 | 140 | 126.6 | 0,1266 | 0,62 | 7,89889E-05 | | | -1,301640699 | 166,2285707 | -3,44998E-07 | , | -7,8307721 |
| | | N28-N27 | 250 | -0,9822 | -0,000982233 | 35,364 | 63 | 57 | 0,057 | 0,38 | | | 0,0257035 | -0,936484254 | 953,4235143 | 3,17187E-08 | | -0,9822015 |
| | 14 | N29-N28 | 290,18 | -0,0187 | -1,86964E-05 | 4,879 | 63 | 57 | 0,057 | 0.01 | 0,000175439 | | | -0,002348058 | 125,5890654 | 3,17187E-08 | | -0,0186646 |
| | | N30-N29 | 217 | 0,1818 | 0,000181795 | 15,214 | 63 | 57 | 0,057 | 0.07 | 0,000175439 | | 0,0399078 | 0,043233755 | 237,8154711 | 3,17187E-08 | | 0,1818271 |
| | | N30-N31 | 242,87 | 4,4732 | 0,004473192 | 75,468 | 140 | 126,6 | 0,1266 | 0,36 | 7,89889E-05 | | 0,0216581 | 0,294154211 | 65,75935811 | -3,44998E-07 | | 4,4728466 |
| | | N32-N31 | 716,4 | 4,8524 | 0,004852398 | 78,602 | 140 | 126,6 | 0,1266 | 0,39 | 7,89889E-05 | , | 0,021283 | 1,003337384 | 206,7714671 | -3,44998E-07 | , | 4,8520527 |
| | | 1,021,01 | , 10,1 | 1,0021 | 5,001002070 | . 0,002 | 110 | 120,0 | 0,1200 | -0,07 | .,570072 00 | 23001,130 | SOMME | 0,001428092 | 2069,712323 | 2,113,021 07 | 3,000010 | -,0020021 |
| | | | | | 1 | | | | | | | | 2 2 3 1 1 1 1 1 | dq14 | -3,44998E-07 | | | |
| 1 | | | | | | | 1 | | 1 | | | | | ~q++ | 5,11370E 01 | | | |
| | | N28-N27 | 250 | 0,9822 | 0.000982233 | 35,364 | 63 | 57 | 0,057 | 0,38 | 0,000175439 | 21940 67 | 0,0257035 | 0.936484254 | 953,4235143 | -3,17187E-08 | -3 172F-05 | 0.9822015 |
| | | N29-N28 | 290,18 | 0,0187 | 1,86964E-05 | 4,879 | 63 | 57 | 0,057 | 0,01 | 0,000175439 | , | , | 0,002348058 | 125,5890654 | -3,17187E-08 | | 0,0186646 |
| | 15 | N30-N29 | 217 | -0,1818 | -0,000181795 | 15,214 | 63 | 57 | 0,057 | 0,01 | 0,000175439 | | 0,0399078 | -0,043233755 | 237,8154711 | -3,17187E-08 | | -0,1818271 |
| | 15 | N30-N29 N30-N26 | 401,8 | 3,9508 | 0,003950772 | 70,924 | 140 | 126,6 | 0,037 | 0,07 | 7,89889E-05 | | 0,0399078 | 0,390019509 | 98,7198175 | -3,76716E-07 | , | 3,9503955 |
| | | N27-N26 | 563,2 | -6,3710 | -0,003930772 | 90,066 | 140 | 126,6 | 0,1266 | 0,51 | 7,89889E-05 | | , | -1,284399653 | 201,6004769 | -3,76716E-07 | , | -6,3713917 |
| | | 1NZ/-1NZO | JUJ,Z | -0,3/10 | -0,0003/1013 | 20,000 | 140 | 140,0 | 0,1200 | 0,31 | 1,07007E-U3 | 040/4,4/2 | SOMME | 0,001218412 | 1617,148345 | -3,70710E-07 | -0,00003767 | -0,3/1391/ |
| 1 | | + + | | | + | | | | | | | | SOMME | dq15 | -3,76716E-07 | | - | |
| | | | | | | | | | | | | | | aqıə | -3,/0/10E-U/ | | | |

| | | N45-N46 | 265,2 | -5,4382 | -0.005438208 | 83,211 | 110 | 99,4 | 0,0994 | 0.70 | 0,000100604 69659,371 0,0198545 | -1,458566805 | 268,2072505 | -1,31332E-10 | -1,31332E-07 | -5,4382081 |
|----|----|---------|--------|---------|--------------|--------|-----|-------|--------|------|-------------------------------------|--------------|--------------|--------------|--------------|------------|
| | 16 | N45-N47 | 545,9 | 3,4315 | 0.003431475 | 66,099 | 110 | 99,4 | 0,0994 | 0,44 | 0,000100604 43954,62 0,021838 | 1,314827643 | 383,1669426 | -1,31332E-10 | -1,31332E-07 | 3,4314745 |
| | | N46-N47 | 387,7 | 0,2611 | 0,000261121 | 18,234 | 63 | 57 | 0,057 | 0,10 | 0,000175439 5832,802 0,0359962 | 0,143739478 | 550,4705571 | 1,42225E-11 | 1,42225E-08 | 0,2611211 |
| | | | , | , | Ĺ | , | | | Ĺ | | SOMME | 3,1568E-07 | 1201,84475 | i i | • | |
| | | | | | | | | | | | | dq16 | -1,31332E-10 | | | |
| | | | | | | | | | | | | ' | , | | | |
| | | N46-N47 | 387,7 | -0,2611 | -0,000261121 | 18,234 | 63 | 57 | 0,057 | 0,10 | 0,000175439 5832,802 0,0359962 | -0,143739478 | 550,4705571 | -1,42225E-11 | -1,42225E-08 | -0,2611211 |
| | | N47-N48 | 484,5 | 1,8598 | 0,001859769 | 48,661 | 110 | 99,4 | 0,0994 | 0,24 | 0,000100604 23822,246 0,0250465 | 0,393133421 | 211,3883241 | -1,45554E-10 | -1,45554E-07 | 1,8597687 |
| | 15 | N48-N49 | 119,2 | 1,6211 | 0,001621122 | 45,432 | 110 | 99,4 | 0,0994 | 0,21 | 0,000100604 20765,36 0,0258697 | 0,075906907 | 46,82368287 | -1,45554E-10 | -1,45554E-07 | 1,6211219 |
| | 17 | N49-N50 | 31,87 | 0,8114 | 0,000811403 | 32,142 | 90 | 81,4 | 0,0814 | 0,16 | 0,00012285 12691,775 0,0292304 | 0,015598456 | 19,22405293 | -1,45554E-10 | -1,45554E-07 | 0,8114029 |
| | | N50-N51 | 170,56 | 0,7314 | 0,000731381 | 30,516 | 90 | 81,4 | 0,0814 | 0,14 | 0,00012285 11440,09 0,0300116 | 0,069637998 | 95,2143792 | -1,45554E-10 | -1,45554E-07 | 0,731381 |
| | | N46-N51 | 246,7 | -5,3437 | -0,005343711 | 82,485 | 140 | 126,6 | 0,1266 | 0,42 | 7,89889E-05 53742,687 0,0208522 | -0,410537012 | 76,8262005 | -1,45554E-10 | -1,45554E-07 | -5,3437111 |
| | | | | | | | | | | | SOMME | 2,91093E-07 | 999,9471967 | | | |
| | | | | | | | | | | | | dq17 | -1,45554E-10 | | | |
| | | | | | | | | | | | | | | | | |
| | | N52-N64 | 434,7 | -2,8188 | -0,002818847 | 59,909 | 110 | 99,4 | 0,0994 | 0,36 | 0,000100604 36107,318 0,0227914 | -0,737370166 | 261,5857406 | -3,31424E-15 | -3,31424E-12 | -2,8188469 |
| | | N52-N53 | 255,72 | 2,8184 | 0,002818372 | 59,904 | 110 | 99,4 | 0,0994 | 0,36 | 0,000100604 36101,23 0,0227922 | 0,433640949 | 153,8622313 | -3,31424E-15 | -3,31424E-12 | 2,8183716 |
| | | N53-N54 | 486,5 | 2,5250 | 0,002524967 | 56,700 | 110 | 99,4 | 0,0994 | 0,33 | 0,000100604 32342,936 0,0233556 | 0,678527117 | 268,7271258 | -3,31424E-15 | -3,31424E-12 | 2,524967 |
| | 18 | N64-N62 | 211,5 | -2,5634 | -0,0025634 | 57,130 | 110 | 99,4 | 0,0994 | 0,33 | 0,000100604 32835,229 0,0232768 | -0,303004519 | 118,204167 | -3,31424E-15 | -3,31424E-12 | -2,5633996 |
| 30 | | N62-N60 | 143,8 | -1,6729 | -0,001672947 | 46,153 | 90 | 81,4 | 0,0814 | 0,32 | 0,00012285 26167,843 0,0245621 | -0,251408732 | 150,278948 | -3,31424E-15 | -3,31424E-12 | -1,6729471 |
| 30 | | N61-N54 | 270,96 | 0,9588 | 0,000958762 | 34,939 | 90 | 81,4 | 0,0814 | 0,18 | 0,00012285 14996,733 0,0280381 | 0,177609807 | 185,2490558 | 3,40606E-15 | 3,40606E-12 | 0,9587623 |
| | | N61-N60 | 59,23 | 0,0782 | 7,82359E-05 | 9,981 | 63 | 57 | 0,057 | 0,03 | 0,000175439 1747,5972 0,0366217 | 0,002005544 | 25,63457282 | 3,40606E-15 | 3,40606E-12 | 0,0782359 |
| | | | | | | | | | | | SOMME | 7,71251E-12 | 1163,541841 | | | |
| | | | | | | | | | | | | dq18 | -3,31424E-15 | | | |
| | | | | | | | | | | | | | | | | |
| | | N61-N60 | 59,23 | -0,0782 | -7,82359E-05 | 9,981 | 63 | 57 | 0,057 | 0,03 | 0,000175439 1747,5972 0,0366217 | -0,002005544 | 25,63457282 | -3,40606E-15 | -3,40606E-12 | -0,0782359 |
| | | N61-N54 | 270,96 | -0,9588 | -0,000958762 | 34,939 | 90 | 81,4 | 0,0814 | 0,18 | 0,00012285 14996,733 0,0280381 | -0,177609807 | 185,2490558 | -3,40606E-15 | -3,40606E-12 | -0,9587623 |
| | 19 | N60-N59 | 202,6 | -1,5908 | -0,001590835 | 45,006 | 90 | 81,4 | 0,0814 | 0,31 | 0,00012285 24883,46 0,0248475 | -0,324014196 | 203,6755924 | -6,7203E-15 | -6,7203E-12 | -1,5908347 |
| | 17 | N54-N55 | 638 | 1,0146 | 0,00101457 | 35,941 | 90 | 81,4 | 0,0814 | 0,19 | 0,00012285 15869,66 0,0276507 | 0,461830682 | 455,1985474 | -6,7203E-15 | -6,7203E-12 | 1,0145698 |
| | | N55-N56 | 270,4 | 0,6555 | 0,000655473 | 28,889 | 63 | 57 | 0,057 | 0,26 | 0,000175439 14641,652 0,0283014 | 0,496664693 | 757,7195326 | -6,7203E-15 | -6,7203E-12 | 0,655473 |
| | | N59-N56 | 531 | -0,4236 | -0,000423612 | 23,224 | 63 | 57 | 0,057 | 0,17 | 0,000175439 9462,4464 0,0316019 | -0,454865828 | 1073,779587 | -1,53769E-15 | -1,53769E-12 | -0,4236119 |
| | | | | | | | | | | | SOMME | 3,63065E-11 | 2701,256888 | | | |
| | | | | | | | | | | | | dq19 | -6,7203E-15 | | | |
| | | | | | | | | | | | | | | | | |
| 1 | | N59-N56 | 531 | 0,4236 | 0,000423612 | 23,224 | 63 | 57 | 0,057 | 0,17 | 0,000175439 9462,4464 0,0316019 | 0,454865828 | 1073,779587 | 1,53769E-15 | 1,53769E-12 | 0,4236119 |
| | 20 | N59-N58 | 83,47 | -0,8442 | -0,000844229 | 32,786 | 63 | 57 | 0,057 | 0,33 | 0,000175439 18858,004 0,0266291 | -0,2393022 | 283,4563758 | -5,18261E-15 | -5,18261E-12 | -0,8442294 |
| 1 | | N58-N57 | 610,62 | -0,5699 | -0,000569851 | 26,936 | 63 | 57 | 0,057 | 0,22 | 0,000175439 12729,063 0,0292991 | -0,877579786 | 1540,016689 | -5,18261E-15 | -5,18261E-12 | -0,5698508 |
| 1 | | N56-N57 | 431 | 0,5919 | 0,000591909 | 27,453 | 63 | 57 | 0,057 | 0,23 | 0,000175439 13221,782 0,029023 | 0,662016157 | 1118,442989 | -5,18261E-15 | -5,18261E-12 | 0,5919087 |
| | | | | | | | | | | | SOMME | 4,16236E-11 | 4015,69564 | | | |
| | | | | | | | | | | | | dq20 | -5,18261E-15 | | | |

Partie ramifiée

| Tronçon | Long | | | | ε | Re | Lamda | ΔH (m) | Uréelle (m/s) | | | | |
|---------------|------|-------|--------|--------------|--------|-----------|--------|--------|---------------|-----------|-----------|-----------|------|
| | (m) | (l/s) | (m3/s) | (m) | | Dint (mm) | Dint | DN | | | | | |
| | | | | | | | (m) | (mm) | | | | | |
| R - N1 | 163 | 28,24 | 0,0282 | 0,19 | 189,63 | 226,2 | 0,2262 | 250 | 4,421E-05 | 158978,16 | 0,0166727 | 0,3321122 | 0,70 |
| N3-N34 | 30 | 17,98 | 0,0180 | 0,15 | 151,31 | 226,2 | 0,2262 | 250 | 4,421E-05 | 101213,32 | 0,0181817 | 0,0267155 | 0,45 |
| N16-BF3N | 144 | 0,75 | 0,0008 | 0,03 | 30,90 | 57 | 0,0570 | 63 | 0,0001754 | 16753,152 | 0,0273909 | 0,3347246 | 0,3 |
| N22-BF1N | 76 | 0,75 | 0,0008 | 0,03 | 30,90 | 57 | 0,0570 | 63 | 0,0001754 | 16753,152 | 0,0273909 | 0,1761133 | 0,3 |
| N34-BF4N | 251 | 0,75 | 0,0008 | 0,03 | 30,90 | 57 | 0,0570 | 63 | 0,0001754 | 16753,152 | 0,0273909 | 0,5846393 | 0,3 |
| N28-BF2N | 13 | 0,75 | 0,0008 | 0,03 | 30,90 | 57 | 0,0570 | 63 | 0,0001754 | 16753,152 | 0,0273909 | 0,0299302 | 0,3 |
| N26-N44 | 767 | 9,94 | 0,0099 | 0,11 | 112,50 | 226,2 | 0,2262 | 250 | 4,421E-05 | 55952,27 | 0,0205456 | 0,2390755 | 0,25 |
| N44-BF4S | 9 | 0,75 | 0,0008 | 0,03 | 30,90 | 57 | 0,0570 | 63 | 0,0001754 | 16753,152 | 0,0273909 | 0,0215818 | 0,3 |
| N47- BF5SN | 50 | 0,75 | 0,0008 | 0,03 | 30,90 | 57 | 0,0570 | 63 | 0,0001754 | 16753,152 | 0,0273909 | 0,1163693 | 0,3 |
| N49-BF1S | 10 | 0,75 | 0,0008 | 0,03 | 30,90 | 57 | 0,0570 | 63 | 0,0001754 | 16753,152 | 0,0273909 | 0,0230062 | 0,3 |
| N51-N52 | 34 | 5,91 | 0,0059 | 0,09 | 86,75 | 126,6 | 0,1266 | 140 | 7,899E-05 | 59439,432 | 0,0204176 | 0,0673496 | 0,47 |
| N62-BF3S | 105 | 0,75 | 0,0008 | 0,03 | 30,90 | 57 | 0,0570 | 63 | 0,0001754 | 16753,152 | 0,0273909 | 0,244592 | 0,3 |
| N61-BF2S | 24 | 0,75 | 0,0008 | 0,03 | 30,90 | 57 | 0,0570 | 63 | 0,0001754 | 16753,152 | 0,0273909 | 0,0569046 | 0,3 |
| N57- BF6SN | 44 | 0,75 | 0,0008 | 0,03 | 30,90 | 57 | 0,0570 | 63 | 0,0001754 | 16753,152 | 0,0273909 | 0,102405 | 0,3 |
| N6-BF5N | 144 | 0,75 | 0,0008 | 0,03 | 30,90 | 57 | 0,0570 | 63 | 0,0001754 | 16753,152 | 0,0273909 | 0,3347246 | 0,3 |
| N44-N45 | 89 | 9,19 | 0,0092 | 0,11 | 108,17 | 126,6 | 0,1266 | 140 | 7,899E-05 | 92428,703 | 0,0186865 | 0,3928855 | 0,73 |

Annexe 3: Vérification après itérations

| Nœuds | Q au nœuds | Vérification après ittération | | | | | |
|-------|----------------|-------------------------------|--|--|--|--|--|
| NGA | 0.255447202 | 0.0000 | | | | | |
| N64 | 0,255447303 | 0,000 | | | | | |
| N63 | 0 | 0 | | | | | |
| N62 | 0,890452532861 | 0,0000000000 | | | | | |
| N61 | 0,880526377 | 0,0000 | | | | | |
| N60 | 0,160348328 | 0,0000 | | | | | |
| N59 | 0,322993389 | 0,0000 | | | | | |
| N58 | 0,274378549 | 0,0000 | | | | | |
| N57 | 1,161759548 | 0,0000 | | | | | |
| N56 | 0,487176193 | 0,0000 | | | | | |
| N55 | 0,359096766 | 0,0000 | | | | | |
| N54 | 0,551634932 | 0,0000 | | | | | |
| N53 | 0,293404669 | 0,0000 | | | | | |
| N52 | 0,272927773 | 0,0000 | | | | | |
| N51 | 0,1649457 | 0,0000000 | | | | | |
| N50 | 0,080021971 | 0,0000 | | | | | |
| N49 | 0,80971901 | 0,000 | | | | | |
| N48 | 0,238646761 | 0,0000 | | | | | |
| N47 | 1,31058468 | 0,000 | | | | | |
| N46 | 0,355618065 | 0,000 | | | | | |
| N45 | 0,320633407 | 0,000 | | | | | |
| N44 | 0,75 | 0,000 | | | | | |

| | | |
|-----|-------------|-------------|
| N43 | 0,207690279 | 0,0000 |
| N42 | 0,576001648 | 0,0000 |
| N41 | 0,664352735 | 0,0000 |
| N40 | 0,373367344 | 0,0000 |
| N39 | 0,209235929 | 0,000 |
| N38 | 0,219711561 | 0,0000 |
| N37 | 0,243864811 | 0,0000 |
| N36 | 0,503186122 | 0,0000 |
| N35 | 0,422602815 | 0,000 |
| N34 | 0,905513725 | 0,0000 |
| N33 | 0,462730416 | 0,0000 |
| N32 | 0,5101791 | 0,0000 |
| N31 | 0,379206026 | 0,0000 |
| N30 | 0,340624075 | 0,0000 |
| N29 | 0,200491741 | 0,0000 |
| N28 | 0,963536868 | 0,0000 |
| N27 | 0,477178882 | 0,0000 |
| N26 | 0,381471135 | 0,0000 |
| N25 | 0,193463185 | 0,0000 |
| N24 | 0,504490634 | 0,0000 |
| N23 | 0 | 0 |
| N22 | 1,06335976 | 0,0000 |
| N21 | 0,272129253 | 0,0000 |
| N20 | 0,238765353 | 0,0000 |
| N19 | 0,407284674 | 0,0000 |
| N18 | 0,418274205 | 0,000 |
| N17 | 0,242560299 | 0,0000 |

| | 1 | |
|-----|-------------|------------|
| N16 | 0,881139103 | 0,0000 |
| N15 | 0,5113255 | 0,00000000 |
| N14 | 0,457259369 | 0,0000 |
| N13 | 0,520350346 | 0,000 |
| N12 | 0,51113179 | 0,000 |
| N11 | 0,512040996 | 0,000 |
| N10 | 0,491247854 | 0,000 |
| N9 | 0,516235202 | 0,000 |
| N8 | 0,349727993 | 0,000 |
| N7 | 0 | 0 |
| N6 | 0,931050549 | 0,000 |
| N5 | 0,354198914 | 0,000 |
| N4 | 0,331686187 | 0,000 |
| N3 | 0,085465 | 0,000000 |
| N2 | 0,226724305 | 0,000 |
| N1 | 0,2424 | 0,000 |

Annexe 4 : Récapitulatif des valeurs obtenues par calcul et des valeurs Epanet

| Tronçons | Longueur | Diamètre- | V- | V- | ID Nœu | ds | ΔН | ΣΔΗ | Zmin | Pdisp | condition | P | condition |
|---------------|----------|-----------|-------|--------|--------|---------|--------------|------------|--------|-------|----------------|--------|-------------|
| | | N | EXCEL | EPANET | Nœuds | Alt (m) | (m) | (m) | (m) | (mCE) | de pression | EPANET | de pression |
| R - N1 | 163 | 250 | 0,70 | 0,70 | N1 | 319,24 | 0,33211215 | 0,33211215 | 329,57 | 16,43 | Bon | 19,47 | Bon |
| N3-N34 | 30 | 250 | 0,45 | 0,45 | N34 | 316,86 | 0,02671548 | 1,32783927 | 328,19 | 17,81 | Bon | 17,54 | Bon |
| N16- BF3N | 144 | 63 | 0,3 | 0,3 | BF3N | 316,56 | 0,33472465 | 1,66217178 | 328,22 | 17,78 | Bon | 21,24 | Bon |
| N22- BF1N | 76 | 63 | 0,3 | 0,3 | BF1N | 309,84 | 0,17611329 | 0,17611329 | 320,02 | 25,98 | Bon | 25,63 | Bon |
| N34- BF4N | 251 | 63 | 0,3 | 0,3 | BF4N | 314,16 | 0,58463935 | 1,91247862 | 326,07 | 19,93 | Bon | 23,13 | Bon |
| N28- BF2N | 13 | 63 | 0,3 | 0,3 | BF2N | 312,07 | 0,02993018 | 5,23684033 | 327,31 | 18,69 | Bon | 22,27 | Bon |
| N26-N44 | 767 | 250 | 0,25 | 0,25 | N44 | 309,71 | 0,23907554 | 0,23907554 | 319,95 | 26,05 | Bon | 24,13 | Bon |
| N44- BF4S | 9 | 63 | 0,3 | 0,3 | BF4S | 309,21 | 0,02158185 | 0,26065739 | 319,47 | 26,53 | Bon | 24,61 | Bon |
| N47- BF5SN | 50 | 63 | 0,3 | 0,3 | BF5SN | 304 | 0,1163693 | 2,35063662 | 316,35 | 28,65 | Bon | 28,33 | Bon |
| N49- BF1S | 10 | 63 | 0,3 | 0,3 | BF1S | 308,26 | 0,02300621 | 2,72631386 | 320,99 | 25,01 | Bon | 24,63 | Bon |
| N51-N52 | 34 | 140 | 0,47 | 0,47 | N52 | 309,06 | 0,06734957 | 2,85589367 | 321,92 | 24,08 | Bon | 23,52 | Bon |
| N62- BF3S | 105 | 63 | 0,3 | 0,3 | BF3S | 311,35 | 0,24459197 | 4,14086033 | 325,49 | 20,51 | Bon | 19,27 | Bon |
| N61- BF2S | 24 | 63 | 0,3 | 0,3 | BF2S | 313,26 | 0,05690459 | 4,20257613 | 327,46 | 18,54 | Bon | 17,3 | Bon |
| N57- BF6SN | 44 | 63 | 0,3 | 0,3 | BF6SN | 315,23 | 0,10240498 | 5,69097825 | 330,92 | 15,00 | Bon | 13,67 | Bon |

| N6-BF5N | 144 | 63 | 0,3 | 0,3 | BF5N | 320,01 | 0,33472465 | 3,08011236 | 333,09 | 12,91 | Bon | 12,73 | Bon |
|----------|--------|-----|-------|------|------|--------|------------|------------|--------|-------|-----|-------|-----|
| N44-N45 | 89 | 140 | 0,73 | 0,73 | N45 | 310,78 | 0,3928855 | 0,63196104 | 321,41 | 24,59 | Bon | 22,71 | Bon |
| N1 - N2 | 311,4 | 200 | 0,69 | 0,69 | N2 | 317,17 | 0,79941858 | 1,13153073 | 328,30 | 17,70 | Bon | 17,82 | Bon |
| N1 - N15 | 173,63 | 110 | 0,41 | 0,51 | N15 | 318,22 | 0,54380259 | 0,87591474 | 329,10 | 16,90 | Bon | 20 | Bon |
| N15-N16 | 204,04 | 90 | 0,37 | 0,37 | N16 | 316,48 | 0,45153239 | 1,32744714 | 327,81 | 18,19 | Bon | 18,34 | Bon |
| N16-N25 | 127,7 | 63 | 0,40 | 0,40 | N25 | 316,32 | 0,51991959 | 1,84736673 | 328,17 | 17,83 | Bon | 17,13 | Bon |
| N1-N13 | 128,22 | 140 | 0,51 | 0,51 | N13 | 320,5 | 0,29360419 | 0,62571635 | 331,13 | 14,87 | Bon | 17,94 | Bon |
| N4-N3 | 141,06 | 90 | 0,32 | 0,31 | N3 | 317,37 | 0,23988759 | 1,30112379 | 328,67 | 17,33 | Bon | 20,47 | Bon |
| N13-N4 | 294,4 | 110 | 0,34 | 0,33 | N4 | 318,02 | 0,43551986 | 1,0612362 | 329,08 | 16,92 | Bon | 16,45 | Bon |
| N12-N13 | 509,4 | 63 | 0,28 | 0,28 | N12 | 320,5 | 1,09718107 | 1,72289741 | 332,22 | 13,78 | Bon | 16,96 | Bon |
| N15-N14 | 490,72 | 63 | 0,26 | 0,26 | N14 | 319,16 | 0,94569115 | 1,8216059 | 330,98 | 15,02 | Bon | 18,21 | Bon |
| N12-N10 | 443,1 | 63 | 0,01 | 0,01 | N10 | 324,27 | 0,00273512 | 1,72563254 | 336,00 | 10,00 | Bon | 13,19 | Bon |
| N13-N9 | 384,3 | 110 | 0,33 | 0,33 | N9 | 323,23 | 0,54067123 | 1,16638758 | 334,40 | 11,60 | Bon | 14,73 | Bon |
| N5-N4 | 403,6 | 63 | 0,25 | 0,25 | N5 | 320,15 | 0,69422277 | 1,75545897 | 331,91 | 14,09 | Bon | 14,01 | Bon |
| N9-N11 | 249,1 | 63 | 0,30 | 0,30 | N11 | 321,14 | 0,60377128 | 2,32940382 | 333,47 | 12,53 | Bon | 16,02 | Bon |
| N11-N8 | 561,7 | 63 | 0,15 | 0,15 | N8 | 318,96 | 0,41080423 | 2,74020805 | 331,70 | 14,30 | Bon | 18,09 | Bon |
| N8-N6 | 323 | 63 | 0,015 | 0,01 | N6 | 320,17 | 0,00517967 | 2,74538772 | 332,92 | 13,08 | Bon | 12,87 | Bon |
| N14-N17 | 325,5 | 63 | 0,17 | 0,17 | N17 | 315,71 | 0,29458406 | 2,11618996 | 327,83 | 18,17 | Bon | 21,39 | Bon |
| N17-N18 | 288,1 | 63 | 0,08 | 0,08 | N18 | 314,19 | 0,06450687 | 2,18069683 | 326,37 | 19,63 | Bon | 22,85 | Bon |
| N19-N24 | 539,3 | 63 | 0,20 | 0,20 | N24 | 314,74 | 0,61284465 | 3,42630705 | 328,17 | 17,83 | Bon | 17,5 | Bon |
| N18-N19 | 344,9 | 63 | 0,26 | 0,26 | N19 | 311,65 | 0,63276557 | 2,8134624 | 324,46 | 21,54 | Bon | 24,83 | Bon |
| N22-N24 | 562,2 | 63 | 0,32 | 0,33 | N22 | 309,5 | 1,55855712 | 4,98486417 | 324,48 | 21,52 | Bon | 22,13 | Bon |
| N20-N21 | 457,9 | 63 | 0,20 | 0,20 | N21 | 308,14 | 0,53684015 | 3,68710979 | 321,83 | 24,17 | Bon | 27,55 | Bon |
| N19-N20 | 146,1 | 63 | 0,3 | 0,3 | N20 | 310,47 | 0,33680724 | 3,15026964 | 323,62 | 22,38 | Bon | 25,7 | Bon |
| N36-N37 | 333,5 | 63 | 0,31 | 0,30 | N37 | 318,37 | 0,83711613 | 2,79518682 | 331,17 | 14,83 | Bon | 18,14 | Bon |

| N37-N38 | 283,4 | 63 | 0,21 | 0,21 | N38 | 316,49 | 0,36955972 | 3,16474654 | 329,65 | 16,35 | Bon | 19,69 | Bon |
|---------|--------|-----|------|------|-----|--------|------------|------------|--------|-------|-----|-------|-----|
| N38-N39 | 272,4 | 63 | 0,13 | 0,12 | N39 | 316,2 | 0,14292185 | 3,30766839 | 329,51 | 16,49 | Bon | 19,85 | Bon |
| N39-N40 | 256,9 | 63 | 0,04 | 0,04 | N40 | 315,11 | 0,01224012 | 3,31990852 | 328,43 | 17,57 | Bon | 20,93 | Bon |
| N40-N41 | 687,6 | 63 | 0,10 | 0,10 | N41 | 312,03 | 0,25856781 | 3,57847633 | 325,61 | 20,39 | Bon | 24,25 | Bon |
| N35-N36 | 403,5 | 110 | 0,26 | 0,25 | N36 | 319,7 | 0,36754279 | 1,95807069 | 331,66 | 14,34 | Bon | 14,56 | Bon |
| N41-N42 | 457,1 | 63 | 0,09 | 0,09 | N42 | 312,7 | -0,1344445 | 3,44403184 | 326,14 | 19,86 | Bon | 23,7 | Bon |
| N34-N35 | 131,65 | 140 | 0,47 | 0,47 | N35 | 318,3 | 0,26268862 | 1,5905279 | 329,89 | 16,11 | Bon | 19,29 | Bon |
| N42-N43 | 466,1 | 110 | 0,35 | 0,35 | N43 | 312,22 | 0,73299583 | 0,73299583 | 322,95 | 23,05 | Bon | 23,53 | Bon |
| N34-N33 | 261,71 | 110 | 0,89 | 0,89 | N33 | 315,9 | 1,64094592 | 2,96878519 | 328,87 | 17,13 | Bon | 17,1 | Bon |
| N43-N32 | 59,29 | 110 | 0,48 | 0,48 | N32 | 312,22 | 0,21076919 | 0,94376502 | 323,16 | 22,84 | Bon | 23,34 | Bon |
| N33-N27 | 393,91 | 140 | 0,62 | 0,62 | N27 | 313,1 | 1,3016407 | 4,27042589 | 327,37 | 18,63 | Bon | 18,05 | Bon |
| N28-N27 | 250 | 63 | 0,38 | 0,38 | N28 | 312,24 | 0,93648425 | 5,20691014 | 327,45 | 18,55 | Bon | 18,13 | Bon |
| N30-N29 | 217 | 63 | 0,07 | 0,07 | N29 | 310,18 | 0,04323375 | 1,34072535 | 321,52 | 24,48 | Bon | 24,19 | Bon |
| N30-N31 | 242,87 | 140 | 0,36 | 0,35 | N30 | 309,18 | 0,29415421 | 1,2974916 | 320,48 | 25,52 | Bon | 25,23 | Bon |
| N32-N31 | 716,4 | 140 | 0,39 | 0,38 | N31 | 307,89 | 1,00333738 | 1,00333738 | 318,89 | 27,11 | Bon | 26,78 | Bon |
| N30-N26 | 401,8 | 140 | 0,31 | 0,31 | N26 | 308,1 | 0,39001951 | 1,6875111 | 319,79 | 26,21 | Bon | 25,96 | Bon |
| N45-N46 | 265,2 | 110 | 0,70 | 0,70 | N46 | 319,39 | 1,45856681 | 2,09052785 | 331,48 | 14,52 | Bon | 12,81 | Bon |
| N46-N47 | 387,7 | 63 | 0,10 | 0,10 | N47 | 303,89 | 0,14373948 | 2,23426732 | 316,12 | 27,77 | Bon | 26,33 | Bon |
| N47-N48 | 484,5 | 110 | 0,24 | 0,24 | N48 | 305,96 | 0,39313342 | 2,62740075 | 318,59 | 26,37 | Bon | 24,97 | Bon |
| N48-N49 | 119,2 | 110 | 0,21 | 0,21 | N49 | 308,28 | 0,07590691 | 2,70330765 | 320,98 | 25,02 | Bon | 24,63 | Bon |
| N49-N50 | 31,87 | 90 | 0,16 | 0,15 | N50 | 308,51 | 0,01559846 | 2,71890611 | 321,23 | 24,77 | Bon | 24,38 | Bon |
| N50-N51 | 170,56 | 90 | 0,14 | 0,14 | N51 | 310,41 | 0,069638 | 2,78854411 | 323,20 | 22,80 | Bon | 21,42 | Bon |
| N52-N64 | 434,7 | 110 | 0,36 | 0,36 | N64 | 311,48 | 0,73737017 | 3,59326384 | 325,07 | 20,93 | Bon | 20,63 | Bon |
| N52-N53 | 255,72 | 110 | 0,38 | 0,36 | N53 | 304,26 | 0,43364095 | 3,28953462 | 317,55 | 28,45 | Bon | 24,12 | Bon |
| N53-N54 | 486,5 | 110 | 0,33 | 0,33 | N54 | 313,43 | 0,67852712 | 3,96806174 | 327,40 | 18,60 | Bon | 17,35 | Bon |

CONCEPTION ET DIMENSIONNEMENT D'UN SYSTEME D'APPROVISIONNEMENT EN EAU POTABLE DANS LE CENTRE DE KOUBRI, CHEF-LIEU DE LA COMMUNE DE KOUBRI, REGION DU CENTRE AU BURKINA FASO.

| N64-N62 | 211,5 | 110 | 0,33 | 0,33 | N62 | 312,07 | 0,30300452 | 3,89626836 | 325,97 | 20,03 | Bon | 19,77 | Bon |
|---------|--------|-----|------|------|-----|--------|------------|------------|--------|-------|-----|-------|-----|
| N61-N54 | 270,96 | 90 | 0,18 | 0,18 | N61 | 313,46 | 0,17760981 | 4,14567155 | 327,61 | 18,39 | Bon | 18,16 | Bon |
| N61-N60 | 59,23 | 63 | 0,03 | 0,03 | N60 | 313,17 | 0,00200554 | 4,14767709 | 327,32 | 18,68 | Bon | 18,44 | Bon |
| N60-N59 | 202,6 | 90 | 0,31 | 0,30 | N59 | 312,15 | 0,3240142 | 4,47169129 | 326,62 | 19,38 | Bon | 18,17 | Bon |
| N54-N55 | 638 | 90 | 0,30 | 0,20 | N55 | 313,1 | 0,46183068 | 4,42989242 | 327,53 | 18,47 | Bon | 17,26 | Bon |
| N55-N56 | 270,4 | 63 | 0,26 | 0,26 | N56 | 315,71 | 0,49666469 | 4,92655711 | 330,64 | 15,36 | Bon | 14,2 | Bon |
| N59-N58 | 83,47 | 63 | 0,33 | 0,33 | N58 | 311,78 | 0,2393022 | 4,71099349 | 326,49 | 19,51 | Bon | 19,33 | Bon |
| N56-N57 | 431 | 63 | 0,23 | 0,23 | N57 | 314,72 | 0,66201616 | 5,58857327 | 330,31 | 15,69 | Bon | 14,59 | Bon |

Annexe 5 : Carnet des nœuds

***** Quelques Tés

| N° NOEUD | SCHEMA | COMPOSANTES | Quantité | Matériau |
|-------------|--|--|---|---|
| (\hat{z}) | N13 O N13 O N13 N15 O N15 | 1 Té réduit à brides DN 250x140 2 Té réduit à brides DN 280x200 et DN 2 3 Adaptateur à brides DE 250,200,140,11 4 Cône réduit DN 250 x 110 5 Cône réduit DN 250 x 200 6 Butée 7 Cône réduit DN 250 x 140 8 Conduite DN 200 9 Conduite DN 250 10 Conduite DN 140 11 Conduite DN 110 12 Robinet vannes DN250 | | Fonte Fonte Fonte Fonte Fonte Béton Fonte PVC PVC PVC PVC |
| (N2) | N3 N25 N25 N1 O | 1 Té égal à brides DN 200x200 2 Adaptateur à brides DE 200 3 Adaptateur à brides DE 110 4 Robinet vanne DN 200 5 Cône réduit à brides DN 200x63 6 Butée 7 Conduite DN 200 8 Conduite DN 200 | 1 2 1 1 1 1 1 2 | Fonte Fonte Fonte Fonte Fonte Fonte PVC PVC |
| (NI) | AND THE PARTY OF T | 1 Té égal à brides DN 63 x 63 2 Adaptateur à brides DN 63 3 Adaptateur à brides DE 63 4 Robinet vanne DN 63 5 Butée 6 Conduite DN 63 7 Conduite DN 63 8 Conduite DN 63 | 1 2 1 2 1 1 2 | Fonte Fonte Fonte Fonte Béton PVC PVC PVC |
| N47) | © N45 © N45 BF5SN N48 | Té réduit à brides DN 110 x 63 Té réduit à brides DN 110x63 Cône réduit DN 110 x 63 Adaptateur à brides DN 110 et DN63 Butée Cône réduit DN 110 x63 Conduite DN 63 Conduite DN 63 Conduite DN 110 Conduite DN 110 | 1 2 4 1 1 1 1 | Fonte Fonte Fonte Béton Fonte PVC PVC PVC PVC |
| (Z6) | Non to a series of the series | 1 Té égal à brides DN 90x63 2 Adaptateur à brides DN 63 3 Adaptateur vérrouillé à bagues DE 63 4 Robinet vanne DN 63 5 Robinet vanne DN 63 6 Cône réduit DN 90 x 63 7 Butée 8 Conduite DN 63 9 Conduite DN 90 10 Conduite DN 63 11 Cône réduit à brides DN 90 x 63 | 1 2 1 1 1 1 2 1 1 | Fonte Fonte Fonte Fonte Fonte Fonte Forte PVC PVC PVC |

***** Quelques Coudes

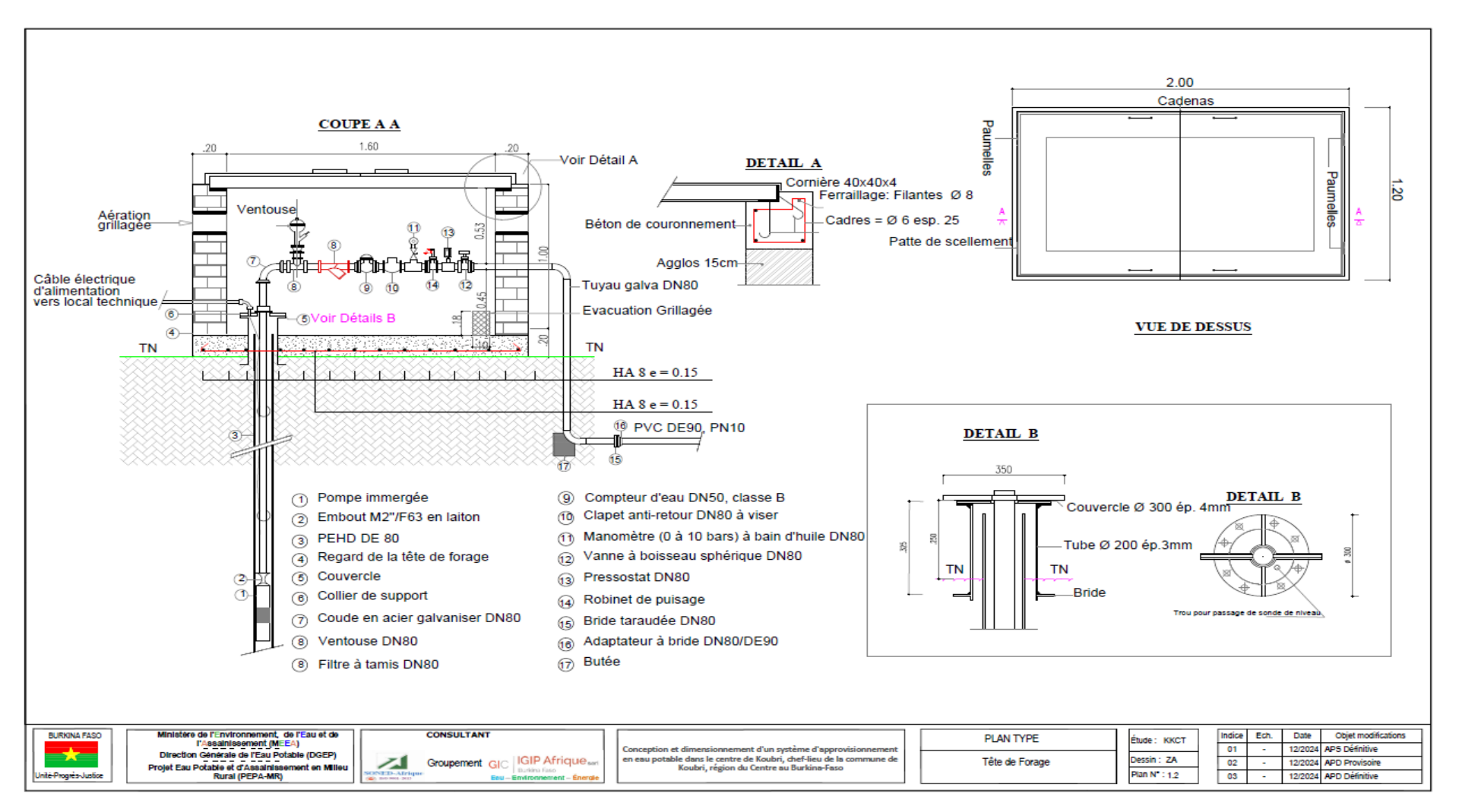
| N° NOEUD | SCHEMA | COMPOSANTES | Quantité | Matériau |
|-------------|-------------|------------------------------|----------|----------|
| - | | | | |
| | Q No | 1 Coude 1/4 DN 63 | 1 | Fonte |
| | 0-1 | 2 Butée | 1 | Béton |
| | ~~ | 3 Conduite DN 63 | 1 | PVC |
| N7) | | 4 Conduite DN 63 | 1 | PVC |
| | 37 | | | |
| | p 🖍 | 1 Courde 1/4 DN 63 | 1 | Fonte |
| | | 2 Butée | 1 | Béton |
| N8) | MII | 3 Conduite DN 63 | 1 | PVC |
| | - To | 4 Conduite DN 63 | 1 | PVC |
| | <u>\$</u> @ | 1 Coude 1/4 DN 110 | 1 | Fonte |
| | | 2 Butée | 1 | Béton |
| | 1 . | 3 Conduite DN 110 | 1 | PVC |
| N48) | HARD TO TO | 4 Conduite DN 110 | 1 | PVC |
| | | 1 Coude 1/4 DN 90 | 1 | Fonte |
| | N56 | 2 Butée | 1 | Béton |
| | | 3 Cône réducteur DN 90x63 | 1 | Fonte |
| N5.5) | NSA NSA | 4 Conduite DN 63 | 1 | PVC |
| | 0 7 6 | 5 Conduite DN 63 | 1 | PVC |
| | ø | 6 Adaptateur a brides DN 63 | 2 | Fonte |
| | 0 P | 1 Coude 1/4 DN 110 | 1 | Fonte |
| | Q ~ | 2 Butée | 1 | Béton |
| \sim l | N62 | 3 Conduite DN 110 | 1 | PVC |
| N64 | 100 | 4 Conduite DN 110 | 1 | PVC |
| | 752 | 5 Adaptateur a brides DN 110 | 2 | Fonte |
| | | | | |

Annexe 6: Evaluation des besoins en eau

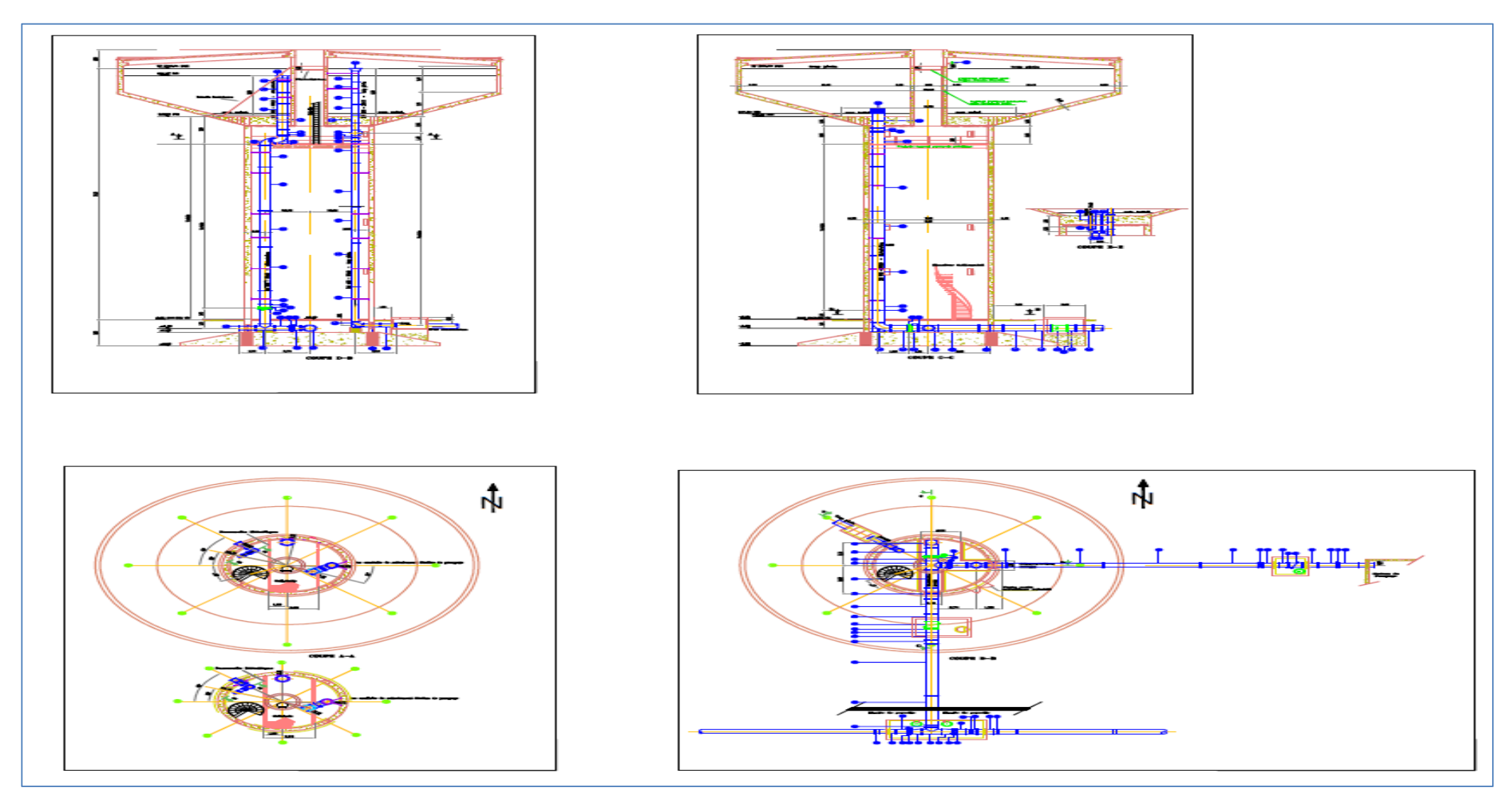
| Années | Unité | 2025 | 2030 | 2035 | 2040 | 2045 | 2050 | 2055 |
|---|--------------|---------|------------|--------|--------|--------|--------|--------|
| Taux d'accroissement | % | 2,53 | • | • | • | • | • | |
| Population | [Hbt] | 12446 | 14102 | 15979 | 18105 | 20514 | 23243 | 26336 |
| Taux total de desserte | % | 56,40 | 80,00 | 82,08 | 84,17 | 86,25 | 88,33 | 90,00 |
| Population desservie par le système AEP | [hbt] | 7020 | 11282 | 13116 | 15238 | 17693 | 20531 | 23702 |
| Taux de desserte par borne fontaine | [%] | 28,2 | 24,0 | 23,2 | 22,3 | 21,5 | 20,7 | 20,0 |
| Taux de desserte par branchement particulier | [%] | 28,2 | 56,0 | 58,9 | 61,8 | 64,8 | 67,7 | 70,0 |
| Consommation spécifique par BF | [l/jr/hbt] | | | | 15 | | | |
| Consommation spécifique par BP | [l/jr/hbt] | | | | 20 | | | |
| Consommation totale domestique aux BF | $[m^3/j]$ | 52,65 | 50,77 | 55,53 | 60,65 | 66,16 | 72,05 | 79,01 |
| Consommation totale domestique aux BP | $[m^3/j]$ | 70,20 | 157,94 | 188,29 | 223,90 | 265,66 | 314,56 | 368,70 |
| Besoin moyen journalier domestiques (B _{mjd}) | $[m^3/j]$ | 122,84 | 208,71 | 243,81 | 284,55 | 331,81 | 386,61 | 447,71 |
| Besoins annexes | $[m^3/j]$ | 12,28 | 20,87 | 24,38 | 28,46 | 33,18 | 38,66 | 44,77 |
| Total des besoins journaliers moyens (B _{mg}) | $[m^3/j]$ | 135,13 | 229,58 | 268,19 | 313,01 | 365,00 | 425,27 | 492,48 |
| coefficient de pointe journalier | | 1,15 | 1,15 | 1,15 | 1,15 | 1,15 | 1,15 | 1,15 |
| Besoin journalier de pointe B _{jp} | $[m^3/j]$ | 155,40 | 264,02 | 308,42 | 359,96 | 419,74 | 489,06 | 566,36 |
| Perte dans le réseau | % | 5% | 5% | 5% | 10% | 10% | 10% | 10% |
| Demande du jour de pointe (D _{jp}) | $[m^3/j]$ | 163,57 | 277,91 | 324,66 | 399,95 | 466,38 | 543,40 | 629,28 |
| Dis | stribution p | ar born | e fontaine | ! | | | | |
| Désignation | Unité | 2025 | 2030 | 2035 | 2040 | 2045 | 2050 | 2055 |
| Population desservie par BF | [hbt] | 3510 | 3384 | 3702 | 4043 | 4411 | 4804 | 5267 |
| Demande du jour de pointe pour les BF | $[m^3/j]$ | 70,10 | 67,60 | 73,94 | 85,25 | 92,99 | 101,27 | 111,05 |
| temps de distribubtion | [H] | 12,00 | | | | | | • |
| Débit moyen horaire | $[m^3/h]$ | 5,84 | 5,63 | 6,16 | 7,10 | 7,75 | 8,44 | 9,25 |

| | T | T | 1 | T = | 1 | 1 | 1 | 1 | | | | | | |
|---|-----------|------------|--------|--------|--------|--------|--------|--------|--|--|--|--|--|--|
| Coefficient de pointe horaire calculé | | 2,53 | 2,55 | 2,51 | 2,44 | 2,40 | 2,36 | 2,32 | | | | | | |
| Coefficient de pointe horaire retenu | | 2,50 | | | | | | | | | | | | |
| Débit de pointe horaire | $[m^3/h]$ | 14,60 | 14,08 | 15,40 | 17,76 | 19,37 | 21,10 | 23,14 | | | | | | |
| Nombre d'habitants par BF | [hbt] | | | | 500,00 | | | | | | | | | |
| Nombre de BF calculé | u | 8 | 7 | 8 | 9 | 9 | 10 | 11 | | | | | | |
| Nombre de BF retenue | u | | | | 11 | | | | | | | | | |
| Débit théorique des 11 BF | [1/s] | 4,06 | 3,91 | 4,28 | 4,93 | 5,38 | 5,86 | 6,43 | | | | | | |
| Q théorique / BF | [1/s] | 0,37 | 0,36 | 0,39 | 0,45 | 0,49 | 0,53 | 0,58 | | | | | | |
| Débit réel d'un robinet | [l/s] | 0,25 | | | | | | | | | | | | |
| Débit réel d'une BF (Avec 03 robinets de 0,25 l/s) | [1/s] | | | | 0,75 | | | | | | | | | |
| Débit total réel des BF | [1/s] | | | | 8,25 | | | | | | | | | |
| Distribution par branchement particulier | | | | | | | | | | | | | | |
| Désignation | Unité | 2025 | 2030 | 2035 | 2040 | 2045 | 2050 | 2055 | | | | | | |
| Population desservie par BP | | 3510 | 7897 | 9414 | 11195 | 13283 | 15728 | 18435 | | | | | | |
| Demande du jour de pointe pour les BP | $[m^3/j]$ | 93,47 | 210,31 | 250,72 | 314,70 | 373,39 | 442,12 | 518,23 | | | | | | |
| temps de distribution | [H] | 18,00 | | | | | | | | | | | | |
| Débit moyen horaire | $[m^3/h]$ | 5,19 | 11,68 | 13,93 | 17,48 | 20,74 | 24,56 | 28,79 | | | | | | |
| Coefficient de pointe horaire | | 2,60 | 2,23 | 2,17 | 2,10 | 2,05 | 2,00 | 1,97 | | | | | | |
| Coefficient de pointe horaire retenu | | 2,50 | • | • | II. | 1 | • | 1 | | | | | | |
| Débit de pointe horaire | $[m^3/h]$ | 12,98 | 29,21 | 34,82 | 43,71 | 51,86 | 61,41 | 71,98 | | | | | | |
| Débit de dimensionnement BP | [l/s] | 3,61 | 8,11 | 9,67 | 12,14 | 14,41 | 17,06 | 20,0 | | | | | | |
| Nombres de personnes par BP | u | 10,00 | • | • | II. | 1 | • | 1 | | | | | | |
| Nombres BP | u | 351 | 790 | 942 | 1120 | 1329 | 1573 | 1844 | | | | | | |
| | Réseau o | le distrib | ution | _1 | | | L | | | | | | | |
| Débit moyen horaire | $[m^3/h]$ | 11,03 | 17,32 | 20,09 | 24,59 | 28,49 | 33,00 | 38,04 | | | | | | |
| Débit de pointe horaire | $[m^3/h]$ | 27,59 | 43,29 | 50,23 | 61,47 | 71,23 | 82,51 | 95,11 | | | | | | |
| Débit de distribution | [1/s] | 11,86 | 16,36 | 17,92 | 20,39 | 22,66 | 25,31 | 28,24 | | | | | | |
| | | | _ ′ | ′ | | _ ′ | _ ′ | | | | | | | |

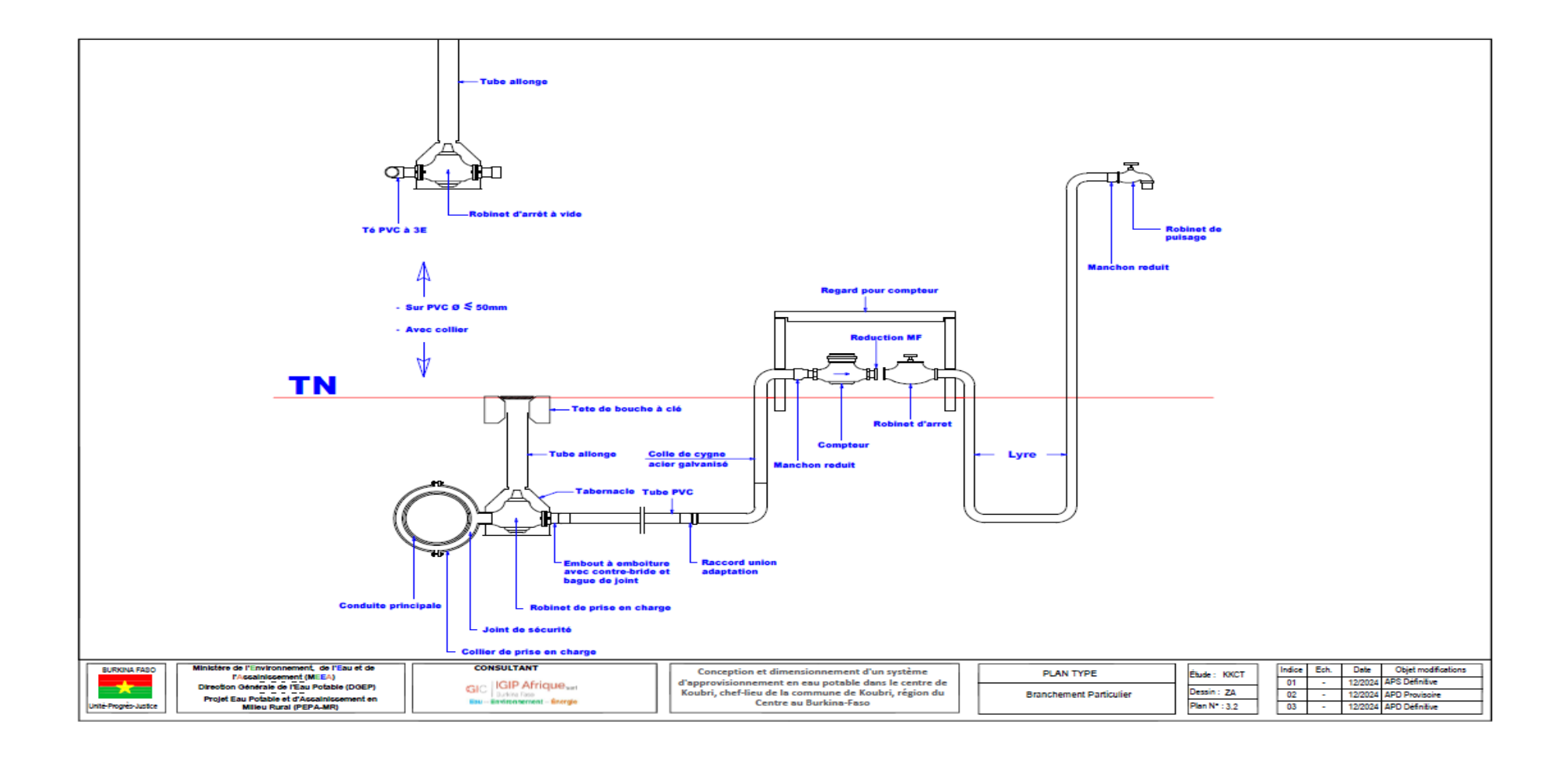
Annexe 7 : Plan du regard tête de forage, coupe A-A

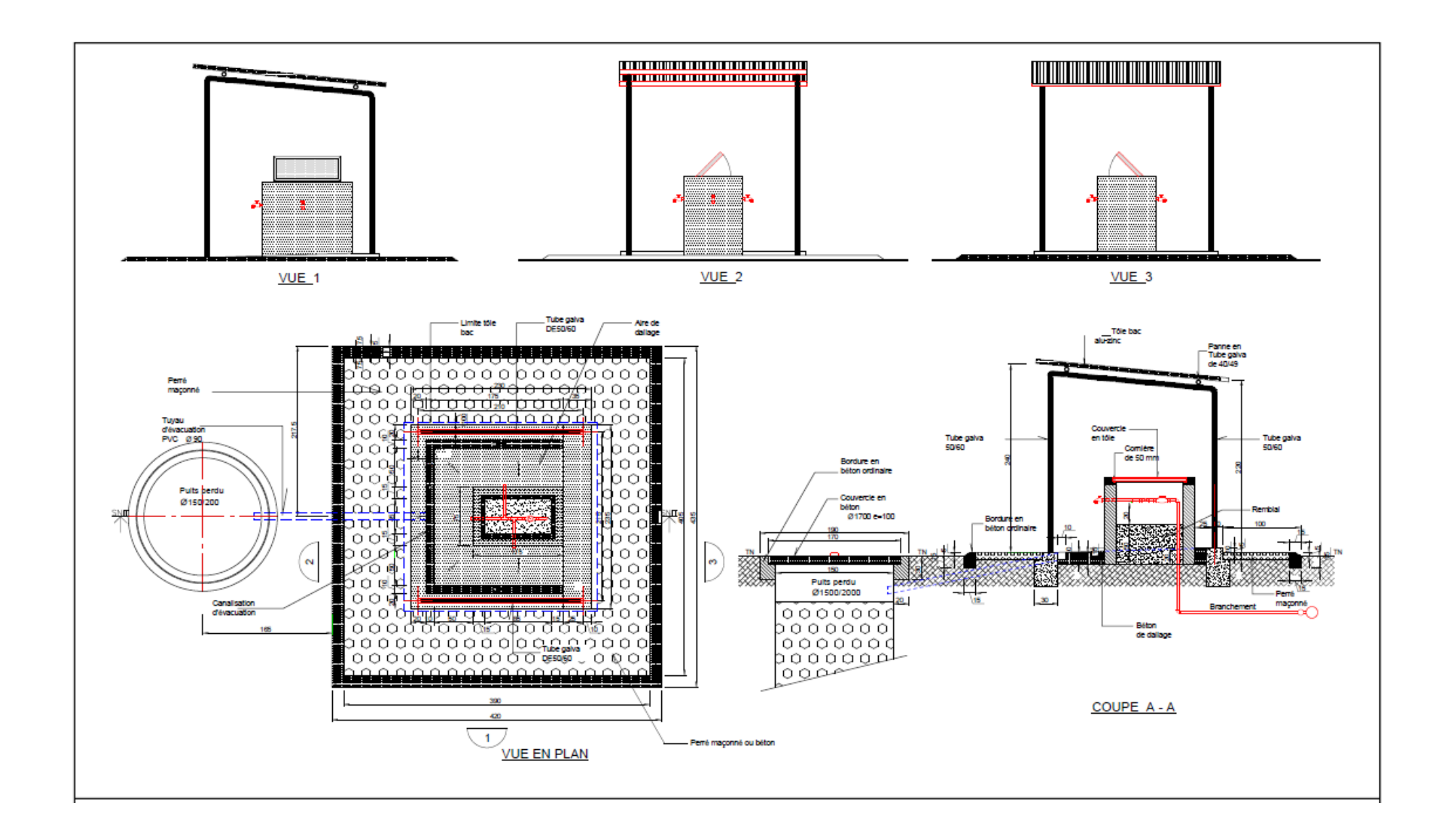


Annexe 8 : Plan du château d'eau

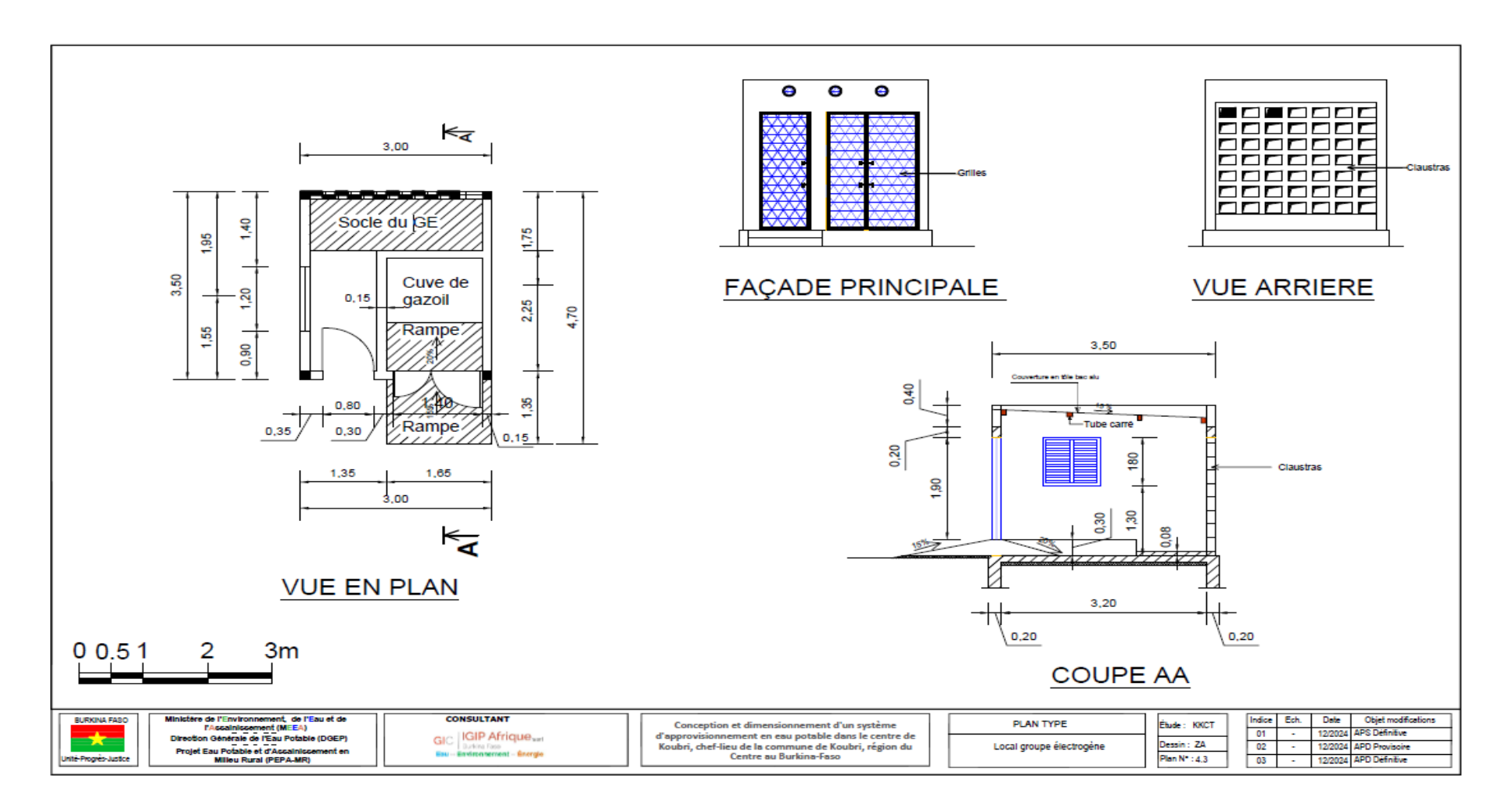


Annexe 9 : Plan d'aménagement de borne fontaine et branchement particulier

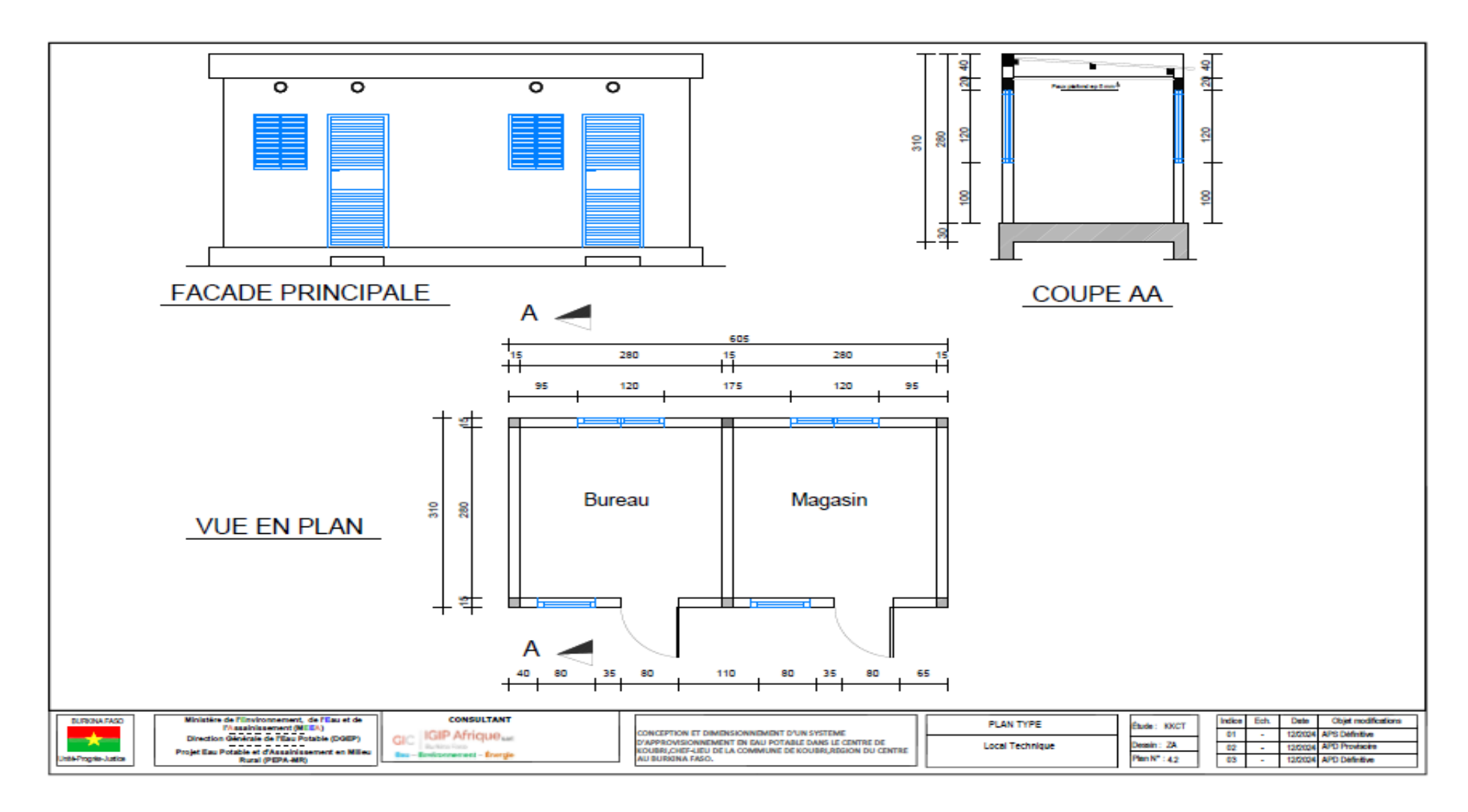




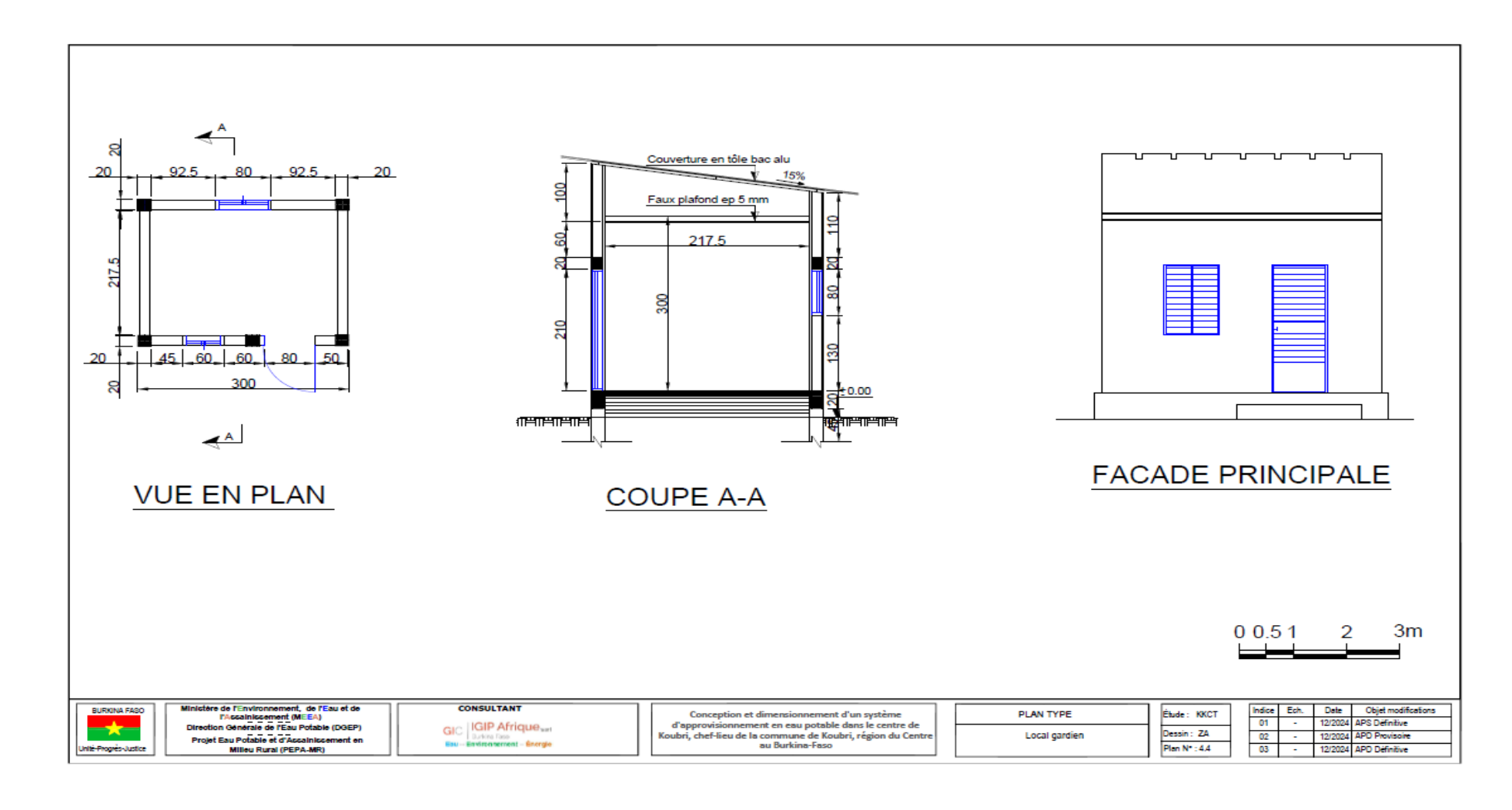
Annexe 10 : Plan locale du groupe électrogène



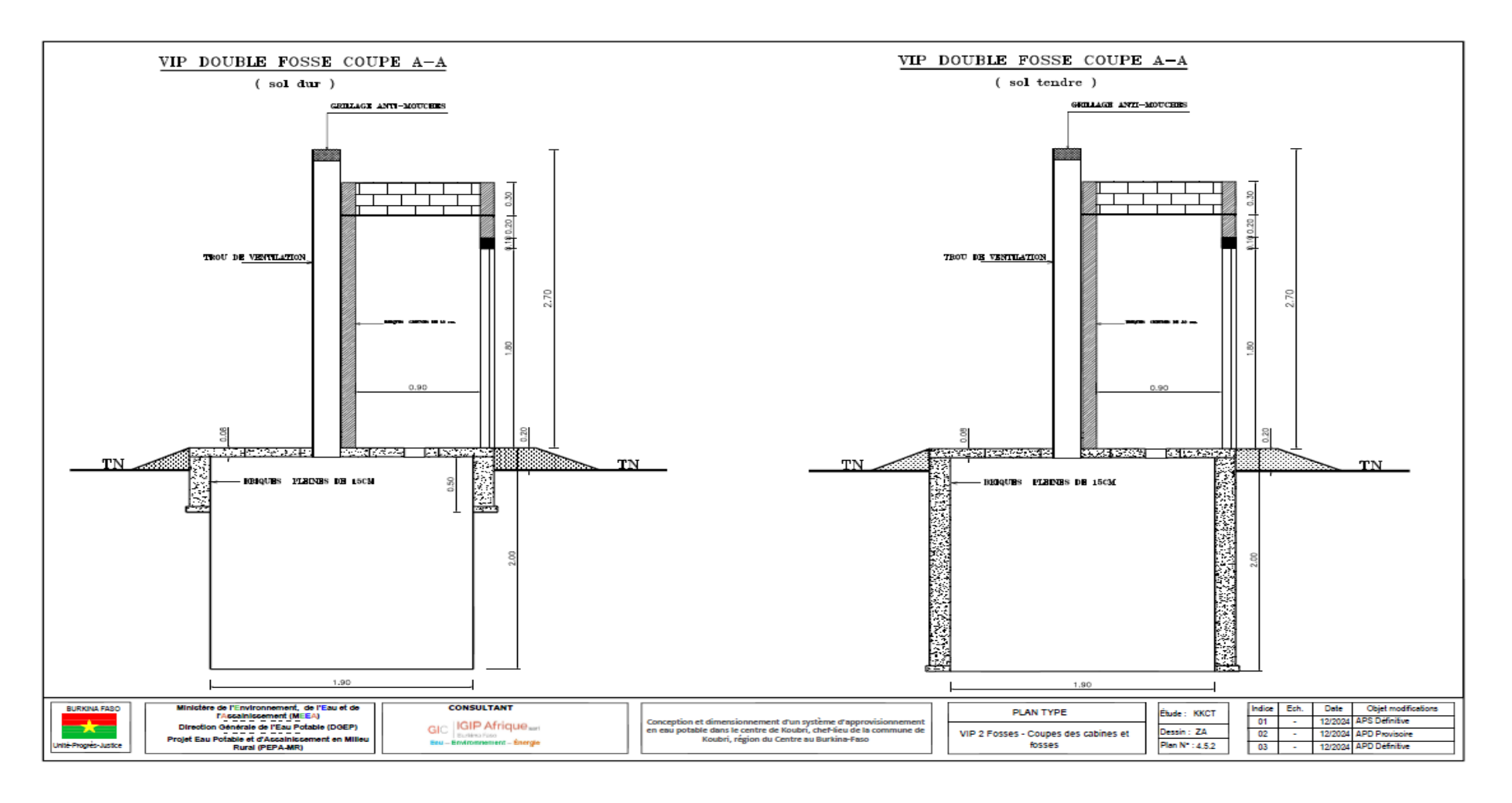
Annexe 11 : Plans de locale technique



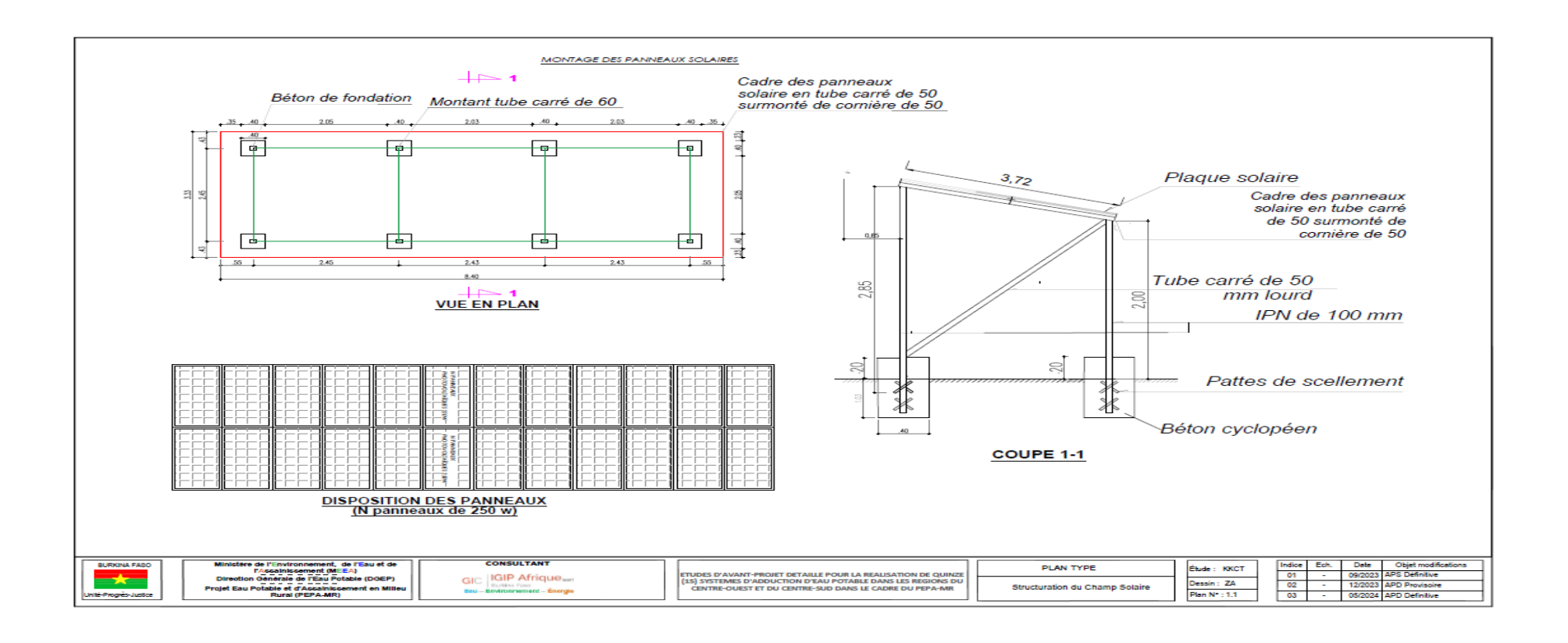
Annexe 12: Plan local gardien



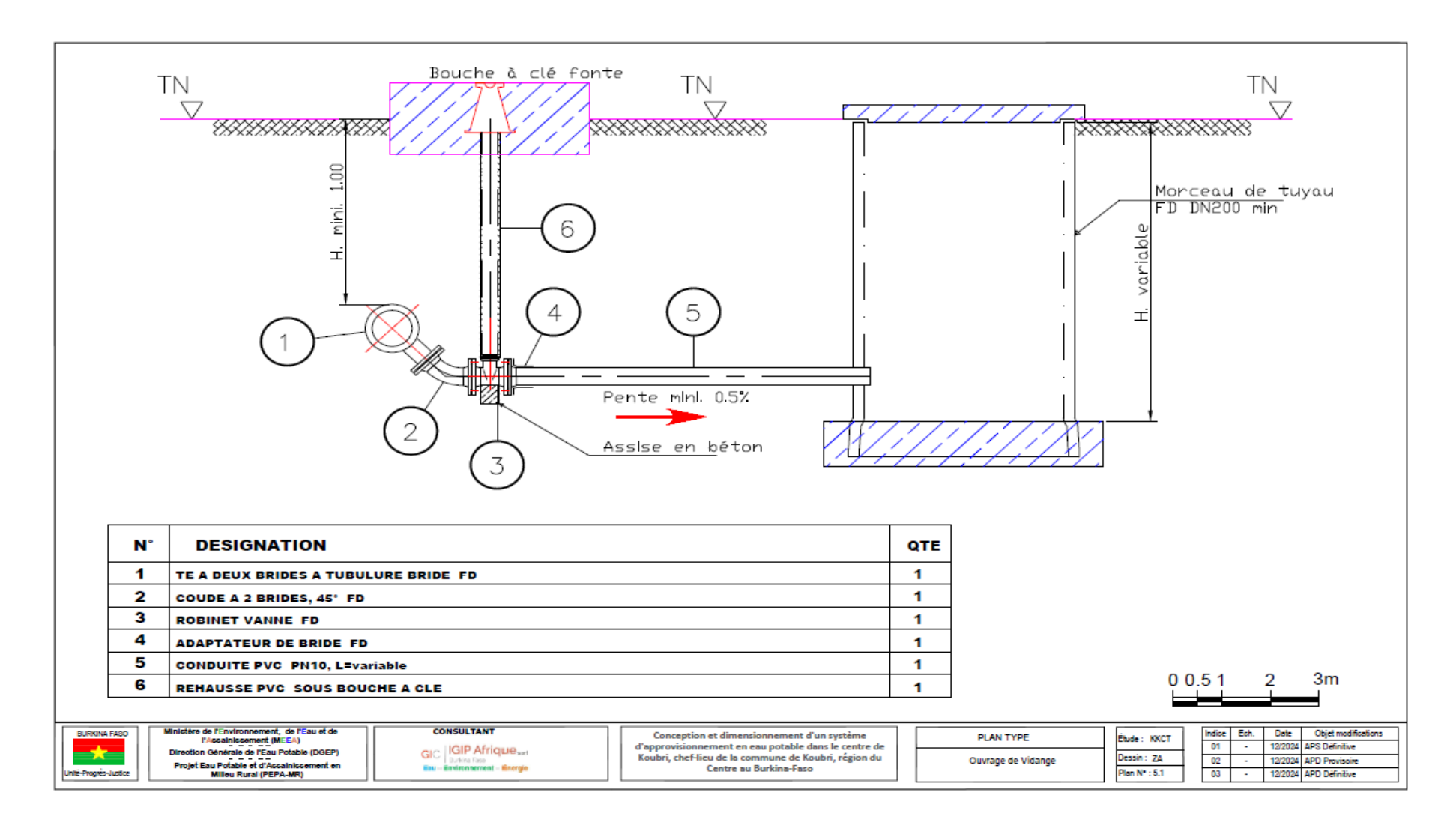
Annexe 13 : Plan Latrine

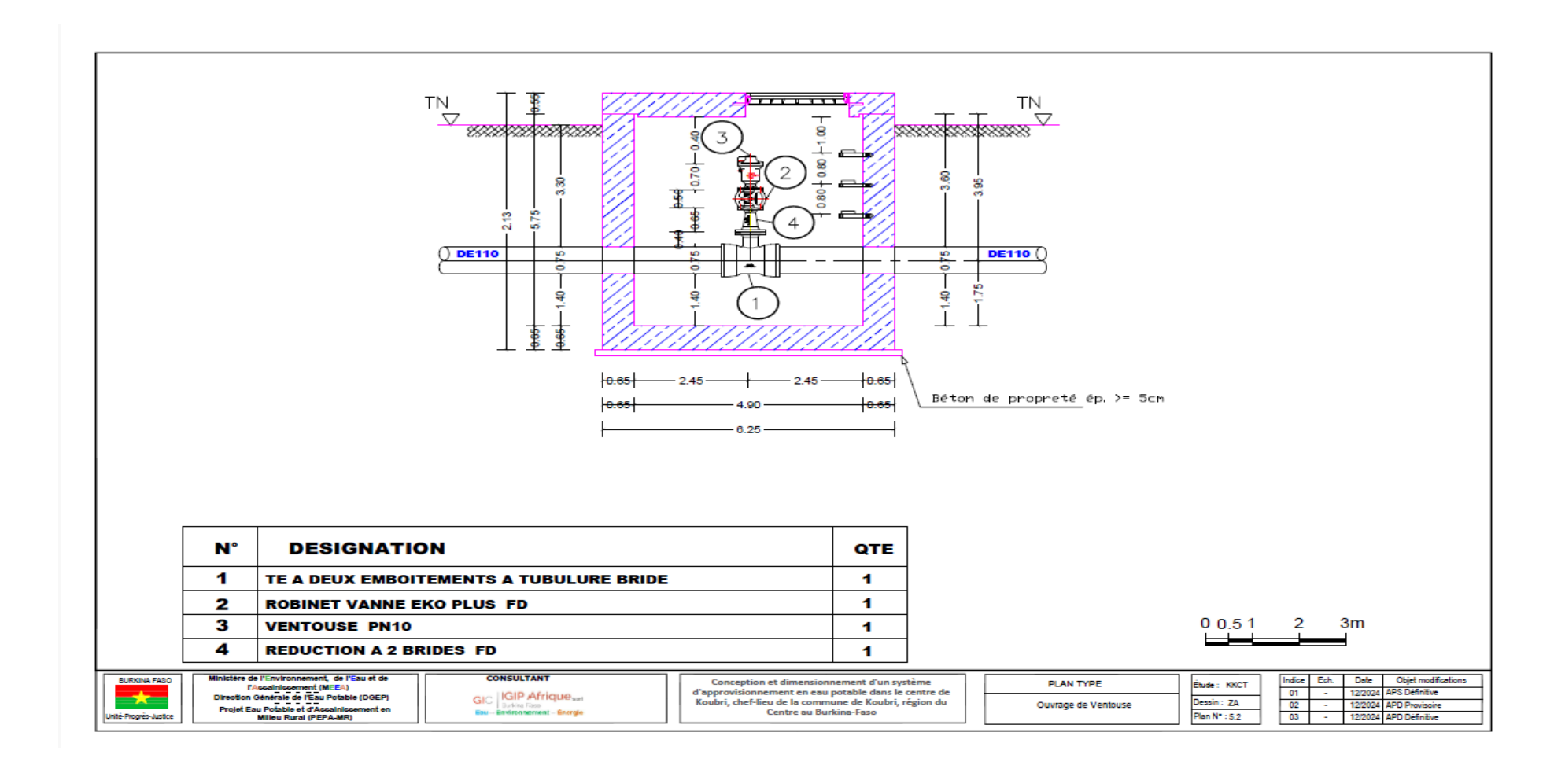


Annexe 14: Champs Solaire



Annexe 15 : Ouvrage de Ventouse et ouvrage de vidanges





Annexe 16 : Devis estimatif et quantitatif

| | DEVIS QUANTITAIF ET ESTIMATIF DU RESEAU D'AEP DE KOUBRI | | horizo n 2040 | | | horizon 2055 | |
|---------|---|---------|------------------|------------------|----------------|--------------|-----------------|
| N° | Désignation | Unité | Qté 2040 | Prix Unitaire | Prix Total | Qté 2055 | Montant 2055 |
| I. | FRAIS GENERAUX | | | - | | | |
| 1.1 | Installation et repli de chantier | forfait | 1 | 2 500 000 | 2 500 000 | 1 | 2 500 000 |
| 1.2 | Études d'exécution de l'ensemble du projet (dossier d'exécution) | forfait | 1 | 1 000 000 | 1 000 000 | 1 | 1 000 000 |
| 1.3 | Établissement de recollement comprenant l'ensemble des ouvrages à exécuter et les résultats des essais à la fin des travaux | forfait | 1 | 800 000 | 800 000 | 1 | 800 000 |
| | SOUS-TOTAL N°1 | | | | 4 300 000 | | 4 300 000 |
| II | | OUVRA | GE DE CA | PTAGE | | | |
| 2.1 | Exécution d'un forage à grand diamètre (6,5 pouces) de débit minimum de 10 m³/h et de 50 m de profondeur environ et toutes sujétions comprises (pouvant remplacer certains des 3 forages existants en cas de débit meilleur) | U | 2 | 4 500 000 | 9 000 000 | 2 | 11 000 000 |
| | | | | | | | |
| 2.2 | Développement jusqu'à obtention de l'Eau Claire et toutes sujétions comprises | U | 2 | 250 000 | 500 000 | 2 | 500 000 |
| 2.3 | Essai par palier (4 paliers) et remontée et toutes sujétions comprises | U | 2 | 200 000 | 400 000 | 2 | 400 000 |
| 2.4 | Essai longue durée (72h) et remontée et toutes sujétions comprises | U | 2 | 1 000 000 | 2 000 000 | 2 | 2 000 000 |
| 2.5 | Analyse de l'eau (chimique et bactériologique) | U | 2 | 100 000 | 200 000 | 2 | 200 000 |
| | SOUS-TOTAL N°2 | | | | 12 100 00 0 | | 14 100 000 |

| III. | SYSTÈME DE POMPAGE | | | | | | | | | | | | | |
|------|--|----|---|-----------|-----------|---|------------|--|--|--|--|--|--|--|
| 3.1 | Fourniture et pose d'une électropompe immergée triphasée de débit compris entre Q=10 m3/h y compris essais de marche et câble de sécurité en acier inoxydable et fourniture, support-toutes sujétions comprises | U | 2 | 3 000 000 | 6 000 000 | 2 | 6 000 000 | | | | | | | |
| 3.6 | Fourniture, pose et raccordement d'une armoire électrique d'automatisme équipée conformément au descriptif pour l'alimentation, la commande et l'asservissement d'une électropompe immergée | U | 2 | 1 000 000 | 2 000 000 | 2 | 2 000 000 | | | | | | | |
| 3.7 | Fourniture, pose et raccordement d'équipements hydromécaniques (ventouse, coudes, raccords union M/F, bride ronde filetée, compteur, clapet AR, manomètre, pressostat, filtre, vanne, robinet de prise) sur la tête de forage y compris butée et support-toutes sujétions comprises, y compris toutes sujétions. | U | 2 | 500 000 | 1 000 000 | 2 | 1 000 000 | | | | | | | |
| 3.8 | Fourniture et pose de champ de module photovoltaïque de 5160 Wc et 7004 Wc | U | 1 | 6 000 000 | 6 000 000 | 1 | 6 000 000 | | | | | | | |
| 3.13 | Fourniture et pose d'un onduleur/inverser hydride de 9 kva sortie triphasée 380-400V | U | 1 | 1 500 000 | 1 500 000 | 1 | 1 500 000 | | | | | | | |
| | Fourniture et pose d'un onduleur/inverser hydride de 7 kva sortie triphasée 380-400V | U | 1 | 1 000 000 | 1 000 000 | 1 | 1 000 000 | | | | | | | |
| 3.15 | Extension ligne électrique BT au local compteur SONABEL | FF | 2 | 3 000 000 | 6 000 000 | 2 | 6 000 000 | | | | | | | |
| 3.16 | Groupe électrogène de 22 KVA | U | 1 | 6000000 | 6 000 000 | 1 | 6 000 000 | | | | | | | |
| | Groupe électrogène de 25 KVA | U | 1 | 10000000 | 10 000 00 | 1 | 10 000 000 | | | | | | | |
| 3.17 | Fourniture et pose d'un inverseur de source (Réseau SONABEL/PV), y compris toutes sujétions | U | 2 | 300000 | 600 000 | 2 | 600 000 | | | | | | | |

| V. | CONFECTION E | | JT FT PO | SE DE CHÂT | 5 | | |
|------|---|--------|--------------|------------|-----------------------|-------|------------|
| | SOUS-TOTAL N°4 | | | | 0 40 127 38 | | 40 392 385 |
| l.7 | autres aménagements et pièces spéciales | FF | 1 | 10 000 000 | 10 000 00 | 1 | 10 000 000 |
| 5 | Construction et pose de bornes d'indication des passage des conduites de refoulement | nombre | 3 | 2 500 | 7 500 | 3 | 7 500 |
| | Flexible (Foraduc ou PHED) DN 63 | | | | | | <u> </u> |
| .4 | Fourniture et pose d'une colonne d'exhaure en | ml | 240 | 8 000 | 1 920 000 | 240 | 1 920 000 |
| 3 | diamètres confondus Plus-value pour traverser de routes | ml | 3 | 5 000 | 15 000 | 56 | 280 000 |
| .2 | lit de sable grillage avertisseur Plus-value fouille en terrains indurés tous | ml | 25 | 2 000 | 50 000 | 25 | 50 000 |
| | Fourniture et pose de conduite de refoulement PEHD DN 160, PN16 y compris fouille standard, | ml | 318 | 20 500 | 6 515 925 | 318 | 6 515 925 |
| | PEHD DN 90, PN16 y compris fouille standard, lit de sable grillage avertisseur | - | | | Ŭ | | |
| | Fourniture et pose de conduite de refoulement | ml | 3 357 | 6 000 | 20 139 66 | 3 357 | 20 139 660 |
| | PEHD DN 90, PN16 y compris fouille standard, lit de sable grillage avertisseur | | | | | | |
| .1 | Fourniture et pose de conduite de refoulement | ml | 247 | 6 000 | 1 479 300 | 247 | 1 479 300 |
| V. | | REF | OULMEN | T | <u> </u> | | |
| | SOUS-TOTAL N°3 | | | | 41 000 00 | | 41 000 000 |
| | câbles, canalisations, prises, réglettes et toutes sujétions | | | | | | |
| | locaux et ouvrages y compris l'ensemble des | | | | | | |
| 3.19 | Installation électrique d'éclairage de l'ensemble | Ens | 2 | 225 000 | 450 000 | 2 | 450 000 |
| .18 | Construction regard de la tête de forage avec couvercle et toutes sujétions comprises | U | 2 | 225 000 | 450 000 | 2 | 450 000 |

| 5.1 | Fourniture et pose de Château den béton armé de 200m³ , hauteur sous radier de 12 m y compris les dispositifs d'accès, l'ensemble des canalisations d'alimentation, de distribution, vidange, trop plein) etc., l'ensemble des pièces de raccordement selon | U | 1 | 180 000 000 | 180 000 0 | 0 | - |
|-------|---|---------|-----------|-------------|-----------------|-----------|------------|
| | le plan joint et le descriptif (robinet vanne, tés, coudes, raccord union et toutes sujétion) | | | | | | |
| 5.2 | Fourniture, pose et réglage d'un contrôleur de niveau type robinet flotteur au droit du château d'eau et Fourniture et pose de câble et toutes sujétions comprises | Ens. | 1 | 250 000 | 250 000 | 0 | - |
| 5.3 | Fourniture et pose d'accessoires de BY-PASS y compris construction de regard | FF | 1 | 600 000 | 600 000 | 0 | - |
| 5.4 | Fourniture, pose et réglage d'un filtre doseur (dosatron), avec équipements et accessoires, formation de technicien et toutes sujétions comprises | Ens. | 1 | 5 000 000 | 5 000 000 | 0 | - |
| | SOUS-TOTAL N°5 | | | | 185 850 0 00 | | - |
| VI | FOURNITURE ET POSE DES | CANALIS | SATION ET | EQUIPEME | NTS DE DIS | TRIBUTION | |
| 6.1 | Fourniture et pose de conduites y compris fouille standard, lit de sable grillage avertisseur et toutes sujétions | | | | | | - |
| 6.1.1 | Conduite en PVC DN 63 PN 10 | ml | 8855 | 3 000 | 26 563 90 2 | 6220 | 18 659 901 |
| 6.1.2 | Conduite en PVC DE 90 PN 10 | ml | 800 | 4 000 | 3 199 600 | 1178 | 4 710 760 |
| 6.1.3 | Conduite en PVC DN 110 PN 10 | ml | 4092 | 5 800 | 23 731 48 | 1288 | 7 472 807 |
| 6.1.4 | Conduite en PVC DE 200 PN 10 | ml | 193 | 8 200 | 1 584 814 | 193 | 1 584 814 |
| 6.1.5 | Conduite en PVC DE 140 PN 10 | ml | 1047 | 6 000 | 6 283 230 | 2415 | 14 491 830 |

| 6.1.6 | Conduite en PVC DE 250 PN 10 | ml | 480 | 9 400 | 4 510 167 | 480 | 4 510 167 |
|-------|--|-----------|---------------|-----------------|----------------|-----|------------|
| 6.1.7 | Plus-value fouille en terrains indurés tous diamètres confondus | ml | 1375 | 2 000 | 2 749 400 | 869 | 1 737 400 |
| 6.1.8 | Plus-value pour traverser de routes | ml | 138 | 4 200 | 577 500 | 87 | 364 980 |
| 6.1.9 | Traversée de terrain marécageux ou ravine à travers un Fourreau en Fonte Ductile et aménagement divers | ml | 50 | 13 000 | 650 000 | 50 | 650 000 |
| 6,2 | Fourniture et p | ose de pi | èces spéciale | s et accessoire | es en PVC | | |
| 6.2.1 | Fourniture et pose de pièces spéciales et accessoires en PVC | | | | | | - |
| 6.2.2 | Fourniture et pose de pièces spéciales et accessoires en PVC | FF | 1 | 6 000 000 | 6 000 000 | 1 | 6 000 000 |
| 6,3 | Fourniture et pose de pièces spéciales et accessoires en fonte | | | | - | | - |
| 6.3.1 | Fourniture et pose de pièces spéciales et accessoires en fonte | FF | 1 | 8 000 000 | 8 000 000 | 1 | 8 000 000 |
| 6,4 | Accessoires sur réseau: robinets vannes, ventouses et vidanges | | 0 | | - | | - |
| 6.4.1 | Robinet vanne DN63 à DN250 | FF | 1 | 3 000 000 | 3 000 000 | 1 | 3 000 000 |
| 6.4.2 | Fourniture et pose d'équipements de <u>VIDANGE</u> sur DN 63 y compris la construction de regards en maçonnerie | U | 5 | 500 000 | 2 500 000 | 5 | 2 500 000 |
| 6.4.3 | Fourniture et pose d'équipements de <u>VENTOUSE</u> sur DN140, DN 90 et DN 63 y compris la construction de regards en maçonnerie | U | 5 | 500 000 | 2 500 000 | 5 | 2 500 000 |
| 6,5 | Bornes de signalisation | | | | - | | - |
| 6.5.1 | Fabrication et pose de bornes de signalisation | U | 155 | 1 000 | 155 000 | 118 | 118 000 |
| | SOUS-TOTAL N°6 | | | | 92 005 09 6 | | 76 300 659 |

| VII | VII BORNES FONTAINES ET BRANCHEMENTS PARTICULIERS | | | | | | | | | | | |
|-------|---|-----|---|-----------|-----------|---|-----------|--|--|--|--|--|
| 7.1 | Exécution d'une borne fontaine (BF) à 3 robinets comprenant : fournitures et pose de hangar et des accessoires hydraulique pour borne fontaine composés de 3 robinets de puisage 1/4 de tour de 1"1/4, 1 compteur à douille ou similaire, 1 robinet d'arrêt avant compteur 1"1/4, tuyau 1"1/4 en acier galvanisé pour raccordement robinet et compteur, raccords, joints réductions et accessoires de montage, le massif en béton, le puits perdu, la prise en charge sur la conduite de distribution conformément aux plans et toutes sujétions comprise | U | 2 | 1 000 000 | 2 000 000 | | - | | | | | |
| 7.2 | Réhabilitation d'une borne fontaine (BF) à 3 robinets comprenant : fournitures et pose des accessoires hydraulique pour borne fontaine composés de 3 robinets de puisage 1/4 de tour de 1"1/4, 1 compteur à conformément aux plans et toutes sujétions comprise | U | 5 | 500 000 | 2 500 000 | 4 | 2 000 000 | | | | | |
| 7.4 | lampadaires solaires « all in one » de type F1-80 Wc composé d'un module solaire en mono de 140 Wc, et toutes sujétions comprises | U | 7 | 500 000 | 3 500 000 | 4 | 2 000 000 | | | | | |
| | SOUS-TOTAL N°7 | | | | 8 000 000 | | 4 000 000 | | | | | |
| VIII. | VIII. OUVRAGES ANNEXES | | | | | | | | | | | |
| 8.1 | Construction de local technique y compris porte, fenêtres, plafond, électricité, crépissage, tyrolienne conformément au descriptifs et aux plans et toutes sujétions comprises | ens | 2 | 1 000 000 | 2 000 000 | 2 | 2 000 000 | | | | | |

| 0.2 | | | | 1 000 000 | 2,000,000 | 2 | 2,000,000 |
|------|--|-----------|---------------|-------------|-----------|---|------------|
| 8.2 | construction de Local gardien y compris porte, | ens | 2 | 1 000 000 | 2 000 000 | 2 | 2 000 000 |
| | fenêtres, plafond, électricité, crépissage, tyrolienne | | | | | | |
| | conformément au descriptifs et aux plans et toutes sujétions comprises | | | | | | |
| 8.3 | Construction d'Abris pour dispositif de chloration | FF | $\frac{1}{2}$ | 1 500 000 | 3 000 000 | 2 | 3 000 000 |
| 6.3 | conformément au descriptifs et aux plans et toutes | ГГ | 2 | 1 300 000 | 3 000 000 | 2 | 3 000 000 |
| | sujétions comprises | | | | | | |
| 8.4 | Construction d'un mur de clôture en parpaing (25 | Ens | 2 | 2 500 000 | 5 000 000 | 2 | 5 000 000 |
| 0.7 | x25 m) y compris tyrolienne et éclairage équipée | Liis | 2 | 2 300 000 | 3 000 000 | 2 | 3 000 000 |
| | d'un portail autour du forage et des locaux | | | | | | |
| | techniques | | | | | | |
| 8.5 | construction de latrine VIP-douches et annexes y | FF | 2 | 1 000 000 | 2 000 000 | 2 | 2 000 000 |
| | compris électricité, crépissage, tyrolienne et toutes | | | | | _ | |
| | sujétions comprises | | | | | | |
| | SOUS TOTAL N°8 | | | | 14 000 00 | | 14 000 000 |
| | | | | | 0 | | |
| IX. | ESSAIS, DESI | INFECTION | ON ET EPI | REUVE DU SY | YSTÈME | | |
| 9.1 | Épreuves de débit de conduites, essai partiel et | FF | 2 | 5 000 000 | 10 000 00 | 2 | 10 000 000 |
| | essai général du réseau | | | | 0 | | |
| 9.2 | Rinçage et désinfection du réseau | FF | 1 | 1 500 000 | 1 500 000 | 1 | 1 500 000 |
| 9.3 | Test et mise en eau du Château | FF | 1 | 300 000 | 300 000 | 0 | - |
| | SOUS TOTAL N°9 | | | | 11 800 00 | | 11 500 000 |
| | | | | <u> </u> | 0 | | |
| X. | | | TIONS DIV | VERSES | | | |
| 10.1 | Fourniture des outils et accessoires d'entretien | FF | 2 | 1 000 000 | 2 000 000 | 2 | 2 000 000 |
| | pour groupes électropompe, champ | | | | | | |
| | photovoltaïque, équipement forage, canalisation | | | | | | |
| 10.2 | Suivi et formation d'un responsable d'exploitation | FF | 1 | 1 000 000 | 1 000 000 | 1 | 1 000 000 |
| | de la commune | | | | | | |
| | SOUS TOTAL N°10 | | | | 3 000 000 | | 3 000 000 |

| TOTAL GENERAL HORS TVA | 412 182 4 | 208 593 044 |
|------------------------|-----------|-------------|
| | 81 | |
| TVA (18 %) | 74 192 84 | 37 546 748 |
| | 7 | |
| TOTAL GENERAL TTC | 486 375 3 | 246 139 792 |
| | 28 | |

Annexe 17: Calcul des recettes

| Année | Population estimée | Pop desservie par BF | CS (l/hbt/j) | Cons totale journalière (m3) | Cons totale annuelle (m3) | Pri unitaires /m3 | | Pop desservie par BP | Cons spéc (l/hbt/j) | Cons totale journalière (m3) | Cons totale annuelle (m3) | PU/m3 | Montant recèttes previ.annuelle BP | Nbre BP | Redevance annuelle (FCFA) | Montant recettes prévi.annuelle total BP | Quantité totale vendue | Montant recettes prévi.ann uelles total BF+BP |
|-------|-----------------------|----------------------------|-----------------|------------------------------------|------------------------------------|-------------------------|-----------|----------------------------|---------------------------|------------------------------------|---------------------------|-------|---|------------|---------------------------------|---|------------------------------|--|
| 2019 | 10713 | 0 | 0 | | | | | | | | | 400 | _ | | | | | |
| 2024 | 12139 | 2780 | 15 | 41,70 | 15221 | 400 | 6 088 400 | 1190 | 20 | 23,80 | 8 687 | 500 | 4 343 500 | 120 | 6 000 | 4 349 500 | 23 908 | 10 437 90 0 |
| 2025 | 12446 | 3510 | 15 | 52,65 | 19217 | 400 | 7 686 800 | 3510 | 20 | 70,20 | 25 623 | 500 | 12 811 500 | 352 | 6 000 | 12 817 500 | 44 840 | 20 504 30 0 |
| 2026 | 12761 | 3492 | 15 | 52,38 | 19119 | 400 | 7 647 600 | 4309 | 20 | 86,18 | 31 456 | 500 | 15 728 000 | 431 | 6 000 | 15 734 000 | 50 575 | 23 381 60 0 |
| 2027 | 13084 | 3470 | 15 | 52,05 | 18998 | 400 | 7 599 200 | 5145 | 20 | 102,90 | 37 559 | 500 | 18 779 500 | 515 | 6 000 | 18 785 500 | 56 557 | 26 384 70 0 |
| 2028 | 13415 | 3445 | 15 | 51,68 | 18861 | 400 | 7 544 400 | 6021 | 20 | 120,42 | 43 953 | 500 | 21 976 500 | 603 | 6 000 | 21 982 500 | 62 814 | 29 526 90 0 |
| 2029 | 13754 | 3417 | 15 | 51,26 | 18708 | 400 | 7 483 200 | 6938 | 20 | 138,76 | 50 647 | 500 | 25 323 500 | 694 | 6 000 | 25 329 500 | 69 355 | 32 812 70 0 |
| 2030 | 14102 | 3385 | 15 | 50,78 | 18533 | 400 | 7 413 200 | 7898 | 20 | 157,96 | 57 655 | 500 | 28 827 500 | 790 | 6 000 | 28 833 500 | 76 188 | 36 246 70 0 |
| 2031 | 14459 | 3447 | 15 | 51,71 | 18872 | 400 | 7 548 800 | 8182 | 20 | 163,64 | 59 729 | 500 | 29 864 500 | 819 | 6 000 | 29 870 500 | 78 601 | 37 419 30 0 |

CONCEPTION ET DIMENSIONNEMENT D'UN SYSTEME D'APPROVISIONNEMENT EN EAU POTABLE DANS LE CENTRE DE KOUBRI, CHEF-LIEU DE LA COMMUNE DE KOUBRI, REGION DU CENTRE AU BURKINA FASO.

| Г | • | | | | - | 1 | | | | | | 1 | | | | | | 1 |
|------|--------------|-------|-----|-------------------|-------|-----|-----------|----------|----|--------|----------|-------|------------|----------|----------|--------------|----------|----------------|
| 2032 | 14825 | | | 52,64 | | 400 | 7 684 800 | 8475 | 20 | 169,50 | 61 868 | 500 | 30 934 000 | 848 | 6 000 | 30 940 000 | 81 080 | 38 624 80 0 |
| 2032 | 14623 | 3509 | 15 | 32,04 | 19212 | | | | | | | | | | | | | U |
| | | 1 | | | | 400 | 7 822 800 | 8778 | 20 | 175,56 | 64 079 | 500 | 32 039 500 | 878 | 6 000 | 32 045 500 | 83 636 | 39 868 30 |
| 2033 | 15200 | | | 53,58 | | | | | | | | | | | | | | 0 |
| | | 3572 | 15 | | 19557 | 400 | 7 965 200 | 9091 | 20 | 181,82 | 66264 | 500 | 22 192 000 | 910 | 6 000 | 33 188 000 | 96 277 | 41 153 20 |
| 2034 | 15584 | | | 54,56 | | 400 | / 903 200 | 9091 | 20 | 181,82 | 66 364 | 300 | 33 182 000 | 910 | 6 000 | 33 188 000 | 86 277 | 1 41 153 20 |
| 2034 | 13301 | 3637 | 15 | 31,30 | 19913 | | | | | | | | | | | | | |
| | | | | | | 400 | 8 107 200 | 9415 | 20 | 188,30 | 68 730 | 500 | 34 365 000 | 942 | 6 000 | 34 371 000 | 88 998 | 42 478 20 |
| 2035 | 15979 | 2502 | 1 | 55,53 | 20250 | | | | | | | | | | | | | 0 |
| | <u> </u> | 3702 | 15 | <u> </u> | 20268 | 400 | 8 254 000 | 9748 | 20 | 194,96 | 71 160 | 500 | 35 580 000 | 975 | 6 000 | 35 586 000 | 91 795 | 43 840 00 |
| 2036 | 16383 | | | 56,54 | | 400 | 8 234 000 | 9/48 | 20 | 194,90 | /1100 | 300 | 33 380 000 | 9/3 | 0 000 | 33 380 000 | 91 /93 | 0 |
| _000 | 10000 | 3769 | 15 | 50,5 . | 20635 | | | | İ | | | İ | | | İ | | į | |
| | | | | ! | | 400 | 8 400 800 | 10093 | 20 | 201,86 | 73 679 | 500 | 36 839 500 | 1010 | 6 000 | 36 845 500 | 94 681 | 45 246 30 |
| 2037 | 16797 | 2026 | | 57,54 | 21002 | | | | | | | | | | | | | 0 |
| | <u> </u> | 3836 | 15 | ; | 21002 | 400 | 8 549 600 | 10449 | 20 | 208,98 | 76 278 | 500 | 38 139 000 | 1045 | 6 000 | 38 145 000 | 97 652 | 46 694 60 |
| 2038 | 17222 | | | 58,56 | | 400 | 8 349 000 | 10449 | 20 | 200,90 | 70278 | 300 | 36 139 000 | 1043 | 0 000 | 36 143 000 | 97032 | 0 |
| _000 | 1,222 | 3904 | 15 | 50,50 | 21374 | | | | | | | | | | | | | |
| | | 1 | | | | 400 | 8 703 200 | 10816 | 20 | 216,32 | 78 957 | 500 | 39 478 500 | 1082 | 6 000 | 39 484 500 | 100 715 | 48 187 70 |
| 2039 | 17658 | 207.4 | 1.5 | 59,61 | 21770 | | | | | | | | | | | | | 0 |
| | <u> </u> | 3974 | 15 | ļ | 21758 | 400 | 8 856 400 | 11195 | 20 | 223,90 | 81 724 | 500 | 40 862 000 | 1120 | 6 000 | 40 868 000 | 103 865 | 49 724 40 |
| 2040 | 18105 | | | 60,66 | | 400 | 8 830 400 | 11193 | 20 | 223,90 | 61 /24 | 300 | 40 802 000 | 1120 | 0 000 | 40 808 000 | 103 803 | 0 |
| 2010 | 10100 | 4044 | 15 | 00,00 | 22141 | | | | | | | | | | | | | |
| | | Ī | | | | 400 | 9 012 000 | 11587 | 20 | 231,74 | 84 585 | 500 | 42 292 500 | 1159 | 6 000 | 42 298 500 | 107 115 | 51 310 50 |
| 2041 | 18563 | 4115 | 1.5 | 61,73 | 22520 | | | | | | | | | | | | | 0 |
| | | 4115 | 15 | | 22530 | 400 | 9 171 600 | 11991 | 20 | 239,82 | 87 534 | 500 | 43 767 000 | 1200 | 6 000 | 43 773 000 | 110 463 | 52 944 60 |
| 2042 | 19032 | | | 62,82 | | 400 | 91/1000 | 11991 | 20 | 239,62 | 87334 | 300 | 43 /0/ 000 | 1200 | 0 000 | 43 / / 3 000 | 110 403 | 0 |
| | | 4188 | 15 | , , | 22929 | | | | | | | | | | | | į | |
| | | | | | | 400 | 9 331 600 | 12408 | 20 | 248,16 | 90 578 | 500 | 45 289 000 | 1241 | 6 000 | 45 295 000 | 113 907 | 54 626 60 |
| 2043 | 19514 | 1261 | 1.5 | 63,92 | 22220 | | | | | | | | | | | | į | 0 |
| | 1 | 4261 | 15 | | 23329 | 400 | 9 496 000 | 12839 | 20 | 256,78 | 93 725 | 500 | 46 862 500 | 1284 | 6 000 | 46 868 500 | 117 465 | 56 364 50 |
| 2044 | 20008 | | | 65,04 | | 400 | 7 470 000 | 12037 | 20 | 250,76 | 73 123 | 300 | 40 802 300 | 1204 | 0 000 | 40 808 300 | 117 403 | 0 |
| | | 4336 | 15 | | 23740 | | | | | | | | | | | | | |
| | | | | | | 400 | 9 660 000 | 13283 | 20 | 265,66 | 96 966 | 500 | 48 483 000 | 1329 | 6 000 | 48 489 000 | 121 116 | 58 149 00 |
| 2045 | 20514 | 4411 | 1.5 | 66,17 | 24150 | | | | | | | | | | | | | 0 |
| | <u> </u> | 4411 | 15 | <u> </u> | 24150 | 400 | 9 828 800 | 13742 | 20 | 274,84 | 100 317 | 500 | 50 158 500 | 1375 | 6 000 | 50 164 500 | 124 889 | 59 993 30 |
| 2046 | 21033 | | | 67,32 | | 700 | 7 020 000 | 13/72 | 20 | 2/7,07 | 100 31 / | 300 | 30 130 300 | 13/3 | 0 000 | 30 104 300 | 127 009 | 0 |
| | <u> </u> | 4488 | 15 | , . | 24572 | | | <u> </u> | | | <u> </u> | | | <u> </u> | <u> </u> | | <u> </u> | |
| 2047 | 21565 | Ī | | 68,48 | | | | |] | | | 500 | | | | | | 59 388 90 |
| 2047 | 21505 | 4565 | 15 | 55,10 | 24993 | 300 | 7 497 900 | 14215 | 20 | 284,30 | 103 770 | 1 200 | 51 885 000 | 1422 | 6 000 | 51 891 000 | 128 763 | 0 |

XXX VI

| 2048 | 22111 | 4644 | 15 | 69,66 | 25426 | 300 | 7 627 800 | 14704 | 20 | 294,08 | 107 339 | 500 | 53 669 500 | 1471 | 6 000 | 53 675 500 | 132 765 | 61 303 30 |
|------|-------|------|----|-------|-------|-----|-----------|-------|----|--------|---------|-----|------------|------|-------|------------|---------|----------------|
| 2049 | 22670 | 4723 | 15 | 70,85 | 25858 | 300 | 7 757 400 | 15208 | 20 | 304,16 | 111 018 | 500 | 55 509 000 | 1521 | 6 000 | 55 515 000 | 136 876 | 63 272 40 |
| 2050 | 23243 | 4804 | 15 | 72,06 | 26302 | 300 | 7 890 600 | 15728 | 20 | 314,56 | 114 814 | 500 | 57 407 000 | 1573 | 6 000 | 57 413 000 | 141 116 | 65 303 60 0 |
| 2051 | 23831 | 4886 | 15 | 73,29 | 26751 | 300 | 8 025 300 | 16265 | 20 | 325,30 | 118 735 | 500 | 59 367 500 | 1627 | 6 000 | 59 373 500 | 145 486 | 67 398 80 |
| 2052 | 24434 | 4969 | 15 | 74,54 | 27205 | 300 | 8 161 500 | 16819 | 20 | 336,38 | 122 779 | 500 | 61 389 500 | 1682 | 6 000 | 61 395 500 | 149 984 | 69 557 00 0 |
| 2053 | 25053 | 5053 | 15 | 75,80 | 27665 | 300 | 8 299 500 | 17391 | 20 | 347,82 | 126 954 | 500 | 63 477 000 | 1740 | 6 000 | 63 483 000 | 154 619 | 71 782 50 0 |
| 2054 | 25686 | 5138 | 15 | 77,07 | 28131 | 300 | 8 439 300 | 17981 | 20 | 359,62 | 131 261 | 500 | 65 630 500 | 1799 | 6 000 | 65 636 500 | 159 392 | 74 075 80 0 |
| 2055 | 26336 | 5268 | 15 | 79,02 | 28842 | 300 | 8 652 600 | 18436 | 20 | 368,72 | 134 583 | 500 | 67 291 500 | 1844 | 6 000 | 67 297 500 | 163 425 | 75 950 10 0 |

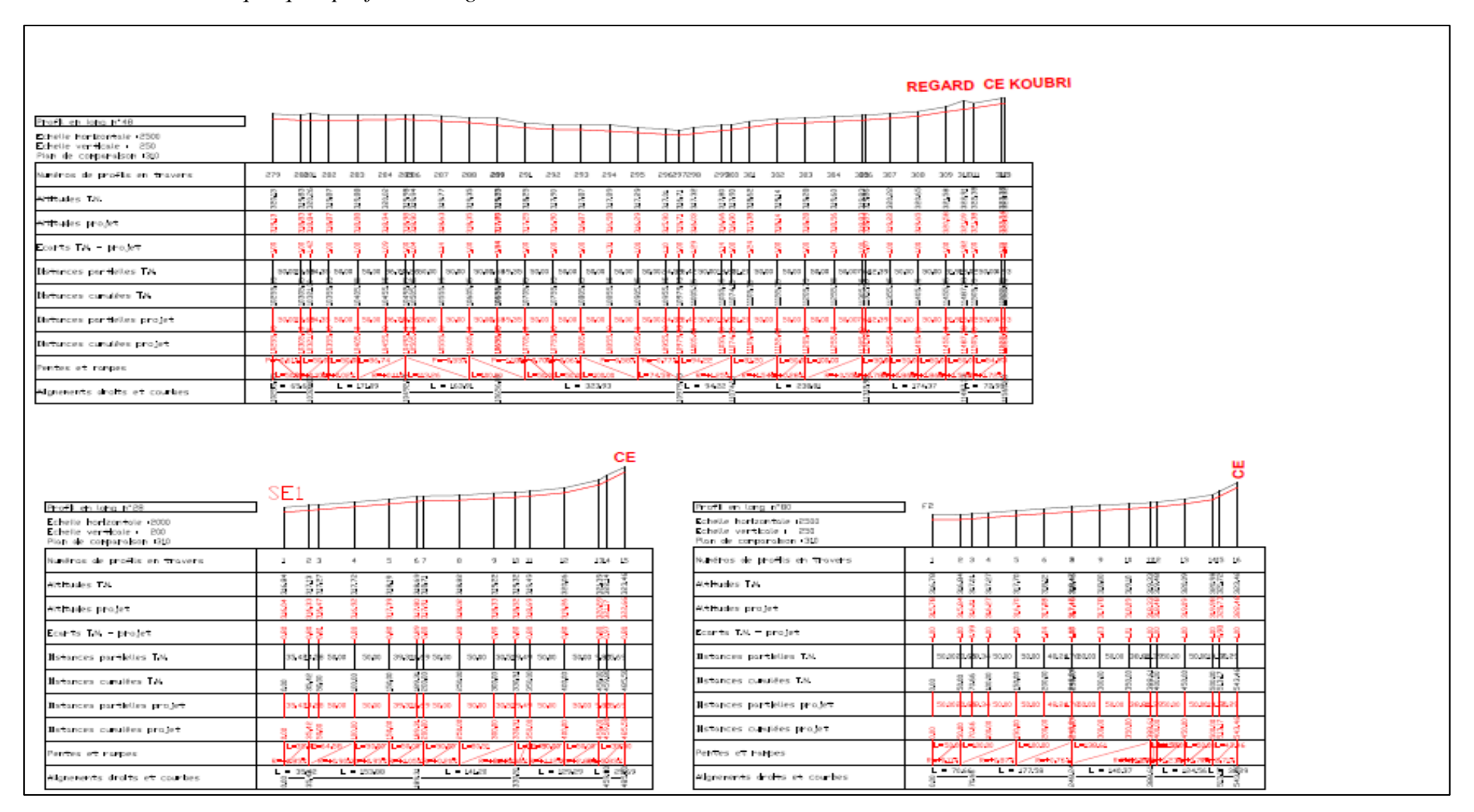
Annexe 18 : Calcul de la VAN

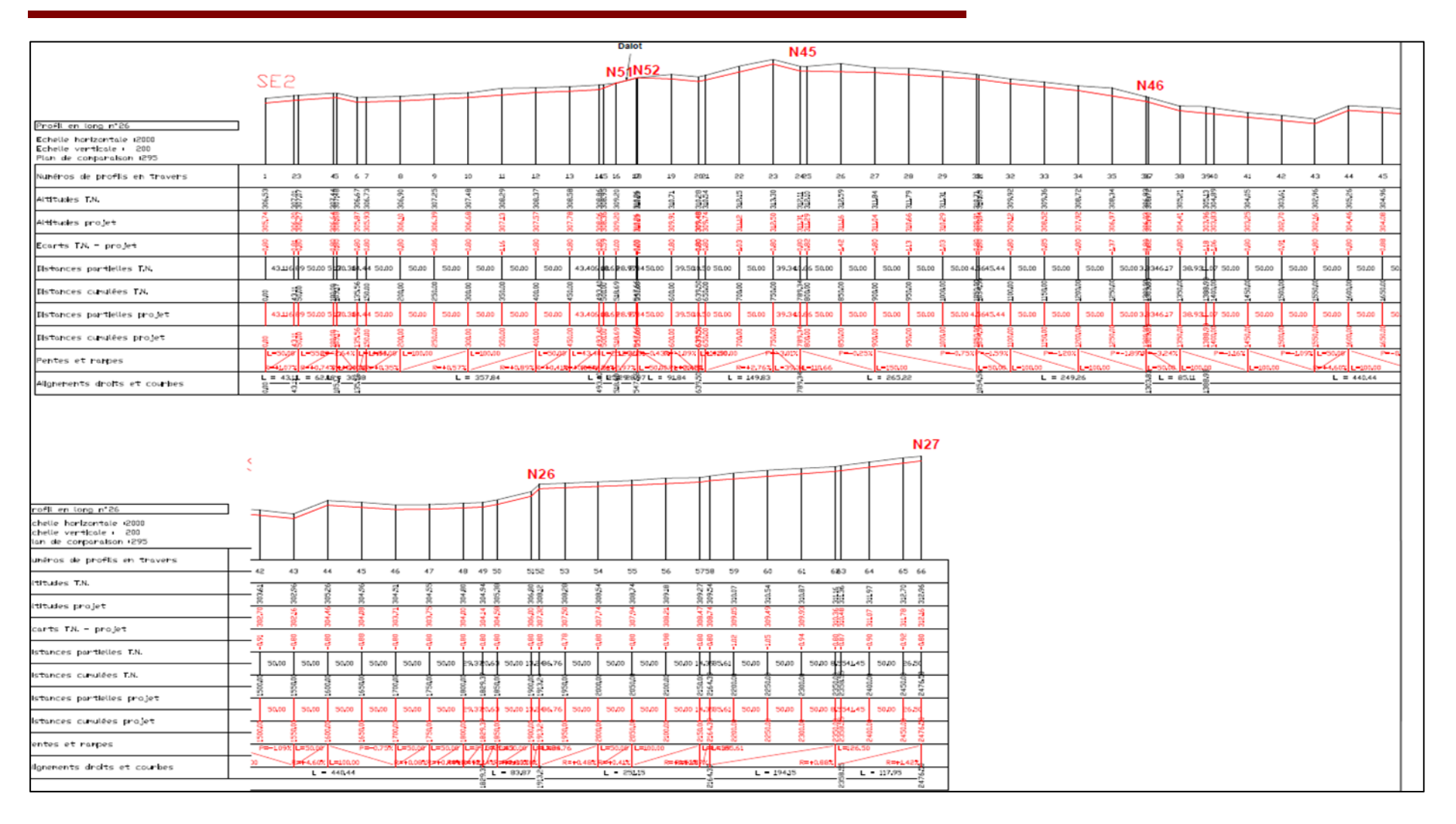
| | | 2025 | 2030 | 2035 | 2040 | 2045 | 2050 | 2055 |
|---------------------------|------------------------------------|------------|------------|------------|------------|------------|------------|------------|
| Produit d'explo | itation | 20 504 300 | 36 246 700 | 41 153 200 | 42 478 200 | 49 724 400 | 52 944 600 | 54 626 600 |
| Charges d'exploitation | Entretien des conduites | 600 000 | 600 000 | 600 000 | 600 000 | 600 000 | 600 000 | 600 000 |
| | Entretien du réservoir de stockage | 600000 | 600000 | 600000 | 600000 | 600000 | 600000 | 600000 |
| | Entretien du champs PV | 800000 | 800000 | 800000 | 800000 | 800000 | 800000 | 800000 |
| | Chloration(Kg) | 3650000 | 3650000 | 3650000 | 3650000 | 3650000 | 3650000 | 3650000 |
| | SONABEL | 10985040 | 10985040 | 10985040 | 10985040 | 10985040 | 10985040 | 10985040 |
| | Vidange | 100000 | 100000 | 100000 | 100000 | 100000 | 100000 | 100000 |
| | TOTAL | 16 735 040 | 16 735 040 | 16 735 040 | 16 735 040 | 16 735 040 | 16 735 040 | 16 735 040 |

| | Valeur Ajoutée | 3 012 307 | 3 012 307 | 3 012 307 | 3 012 307 | 3012307,2 | 3012307,2 | 3012307,2 |
|----------------------|-------------------------------|-------------|------------|------------|------------|------------|------------|------------|
| Charge fixe | Rémunération du | 2400000 | 2400000 | 2400000 | 2400000 | 2400000 | 2400000 | 2400000 |
| C | chef de centre | | | | | | | |
| | Rémunération des | | | | | | | |
| | gardiens | 1 440 000 | 1 440 000 | 1 440 000 | 1 440 000 | 1 440 000 | 1 440 000 | 1 440 000 |
| | Rémunération des | | | | | | | |
| | fontainiers | 7 920 000 | 7 920 000 | 7 920 000 | 7 920 000 | 7 920 000 | 7 920 000 | 7 920 000 |
| | Rémunération des | | | | | | | |
| | plombiers | 1 920 000 | 1 920 000 | 1 920 000 | 1 920 000 | 1 920 000 | 1 920 000 | 1 920 000 |
| | Rémunération de l' | | | | | | | |
| | électromécanicien | 600 000 | 600 000 | 600 000 | 600 000 | 600 000 | 600 000 | 600 000 |
| | TOTAL | 14 280 000 | 14 280 000 | 14 280 000 | 14 280 000 | 14 280 000 | 14 280 000 | 14 280 000 |
| EBE | | -10 510 740 | 5 231 660 | 11 463 160 | 18 709 360 | 27 133 960 | 36 918 760 | 47 819 260 |
| | Amortissement des équipements | 2 308 204 | 2 308 204 | 2 308 204 | 2 308 204 | 2 308 204 | 2 308 204 | 2 308 204 |
| | Résultats net | -12 818 944 | 2 923 456 | 9 154 956 | 16 401 156 | 24 825 756 | 34 610 556 | 45 511 056 |
| Investissement | Base | | | | | | | |
| et renouvellement | pièes de rechange | 50 000 | 80 526 | 129 690 | 208 868 | 336 387 | 541 757 | 872 507 |
| | Forage supplémentaire | | | | | | | |
| | Refoul supp | | | | | | | |
| | pompe suppl | | | | | | | |

| | Cables suppl | | | | | | | |
|--|---|------------------|------------------|------------------|------------------|------------------|------------------|--------------------|
| | GE suppl | | | | | | | |
| | PV supp | | | | | | | |
| | TOTAL | 50 000 | 80 526 | 129 690 | 208 868 | 336 387 | 541 757 | 872 507 |
| | Solde de tresorerie prévisionel (STP) | - 12 868 944 | 2 842 930 | 9 025 266 | 16 192 288 | 24 489 369 | 34 068 799 | 44 638 549 |
| | Cumul des STP | - 745 384 064 | - 763 983 465 | - 736 446 673 | - 670 240 844 | - 564 864 549 | - 414 220 419 | - 211 851 275,1 |
| | Coef d'actualisation (2%) | 0,98 | 0,89 | 0,8 | 0,73 | 0,66 | 0,6 | 0,54 |
| | Flux actualisés | - 12 611 565 | 2 530 208 | 7 220 213 | 11 820 370 | 16 162 983 | 20 441 279 | 24 104 816 |
| | Flux actualiséscumulés (VAN) | - 745 126 685 | - 762 857 431 | - 740 118 012 | - 690 151 958 | - 618 082 868 | - 524 614 728 | - 411 140 874 |
| VAN Fermier (Rentabilité du Fermier) | | 12 611 565 | - 30 342 312 | - 7 602 893 | 42 363 162 | 114 432 252 | 207 900 391 | 321 374 246 |

Annexe 19 : Tracé de quelques profils en long du réseau





Annexe 20 : Rappel des cadres législatifs régissant le projet

| Référence | Intitulé / Objet | Contenu principal |
|--------------------------------------|--|--|
| Loi N°0052/97/ADP du 30 janvier 1997 | Code de l'Environnement | Imposition d'une étude ou notice d'impact pour les activités ayant des incidences significatives sur l'environnement (article 17). |
| Loi N°006/97/ADP du 31 janvier 1997 | Code Forestier | Autorisation préalable obligatoire pour les travaux impliquant un défrichement, basée sur une étude d'impact environnemental (article 50). |
| Loi N°23/94/ADP du 13 mai 1994 | Code de santé publique | Cadre légal de la santé publique au Burkina Faso. |
| Loi N°014/96/ADP du 23 mai 1996 | Réorganisation agraire et foncière | Réglementation de l'accès et de la gestion des terres rurales. |
| Loi N°023/AN du 8 mai 2003 | Code minier | Réglementation de l'exploitation des ressources minières. |
| Loi N°002-2001/AN du 8 février 2001 | Loi d'orientation sur la gestion de l'eau | Cadre juridique pour une gestion intégrée et durable des ressources en eau. |
| Loi N°034-/AN du 14 novembre 2002 | Loi d'orientation relative au pastoralisme | Organisation de l'exploitation des ressources pastorales. |

| Loi N°062/95/ADP du 14 décembre 1995 | Code des investissements | Régit les conditions et formalités pour les investissements ; accompagné du décret N°96-235/PM/MICIA/MEF. |
|---|---|--|
| Loi N°05-2004 du 21 décembre 2004 | Code général des collectivités territoriales | Décentralisation et compétences environnementales des collectivités locales. |
| Décret N°2001-342/PRES/PM/MEE du 17 juillet 2001 | Études d'impact environnemental (EIE) | Définit le champ d'application, le contenu et la procédure des EIE/NIE, avec obligation d'avis préalable du ministre de l'Environnement. |
| Décret N°98-322/PRES/PM/MEE/MCIA/MEM/MS/MATS/METSS/MEF du 28 juillet 1998 | Établissements dangereux, insalubres et incommodes | Régit l'ouverture et le fonctionnement, exige une étude d'impact précisant les mesures d'atténuation et leurs coûts. |
| Décret N°2001-185/PRES/PM/MEE du 7 mai 2001 | Normes de rejets de polluants | Fixe les seuils admissibles de rejets dans l'air, l'eau et le sol, applicables aux émissions industrielles. |

Annexe 21 :Programme de mise en œuvre des mesures assorti du cout de réalisation

| Composante affectée | Impacts | Mesure d'atténuation ou des compensation | Indicateur de suivi de performance | Responsable Exécution | Surveillance | Suivi | Calendrier de réalisation | Coût en Fcfa |
|------------------------|---|---|--|------------------------|--|-------|---------------------------------|--------------|
| Air | Pollution de l'air | Arrosage régulier de l'emprise du chantier | Bonne qualité d'air. Pas de plaintes ni de maladie | Entreprise | L'entreprise, le comite de gestion du projet, et le bureau de contrôle | 1 | Pendant et après le projet | 3000000 |
| Ressources en eau | Pollution n des eaux | Elaboration d'un plan de gestion des déchets. Etanchéiser les aires de dépôts d'engins. | Une bonne hygiène du site, conservation de l'état initial de l'eau | Entreprise | L'entreprise et le bureau de contrôle | | Pendant et après le projet | 2000000 |
| Homme et animaux | Nuisance sonore | Entretien régulier des engins et le respect des heures de travail | ! | Entreprise | L'entreprise et le bureau de contrôle | • | Pendant les travaux | 3000000 |
| Sol | Pollution et dégradation des sols | Une bonne gestion de déchets, le respect des mesures et règle de rejet des polluants | des sols | Entreprises | L'entreprise et le bureau de contrôle | ANEVE | Pendant les travaux | 1600000 |

| Faune et flore | Destruction du flore et | Limiter au maximum la coupe des arbres et | Une bonne restauration du | Entreprise | Entreprise et bureau de contrôle | | Pendant et après le projet | 5 000 000 |
|---------------------|---|--|--|------------|-------------------------------------|--------|------------------------------------|-----------|
| | faune | réaliser et entretenir un reboisement compensatoire | couvert végétal | | bureau de controle | DKLA-C | apres te projet | |
| Humain | Incident et accident | Limitation de la vitesse des engins, la pose des panneaux de signalisation, doter et exiger le port des EPI | Port fréquent des EPI et moins d'accidents | Entreprise | Entreprise et bureau de contrôle | ANEVE | Pendant les travaux | 1000000 |
| Cohésion sociale | Conflit et plantes | La prise en compte de la RSE (transparence dans le recrutement et le respect des us et coutumes du village) dans la conduite des travaux. | 30% des employés sont recrutés au village. Une bonne entente avec les populations. | Enterprise | Entreprise et bureau de contrôle | ANEVE | Pendant et après les travaux | 5000000 |
| Humain | Problème de santé (maladie respiratoire et VIH.SIDA) et grossesse non désirée | Fournir des EPI au personnel et garantir leur utilisation, sensibiliser les populations riveraines avant le début des travaux, et mettre en place une boîte à pharmacie. | Bonne santé des travailleurs. Santé sécurité assuré | Entreprise | Entreprise et bureau de contrôle | ANEVE | Pendant les travaux | 2000000 |

CONCEPTION ET DIMENSIONNEMENT D'UN SYSTEME D'APPROVISIONNEMENT EN EAU POTABLE DANS LE CENTRE DE KOUBRI, CHEF-LIEU DE LA COMMUNE DE KOUBRI, REGION DU CENTRE AU BURKINA FASO.

| Humain | Perte des | Compensation des PAP | Pas de plainte et | Entreprise | Entreprise et | ANEVE | Début des | 5 000 000 |
|------------|-----------|----------------------|-------------------|------------|--------------------|-------|-----------|------------|
| | terres | | méthodologie de | | bureau de contrôle | | travaux | |
| | agricoles | | compensation | | | | | |
| | | | détaillé | | | | | |
| | <u> </u> | | <u> </u> | | | | | <u>i</u> |
| Coût total | | | | | | | | 24 000 000 |
| | | | | | | | | |